

DAFTAR PUSTAKA

- Arribas, A., 1995. *Characteristics of High-Sulfidation Epithermal Deposits, and Their Relation to Magmatic Fluid*. Mineralogical Association of Canada 23, pp.419-454.
- Browne, P.R.L., 1978. *Hydrothermal Alteration in Active Geothermal Fields*. Annual Reviews in Earth and Planetary Sciences, Vol.6, pp.229-250.
- Corbett, G.J, & Leach., T.M., 1996, *Southwest Pasific Rim Gold Copper System: Structure, Alteration, and Mineralization*, Manual for an Exploration Workshop, Jakarta
- Corbett, G.J., and Leach, T.M., 1998. *Southwest Pacific Rim Gold-Copper Systems: Structure, Alteration, and Mineralization*. Society of Economic Geologists Special Publication, 6, p.237.
- Craig, J.R., and Vaughan, D.J., 1994. *Ore Microscopy and Ore Petrography*. Canada: John Wiley & Sons Inc, p.350.
- Hedenquist, J.W., Izawa, E., Arribas, A., and White, N.C., 1996. *Epithermal Gold Deposits: Styles, Characteristics and Exploration*. Tokyo: The Society of Resource Geology, p.16.
- Hedenquist, J.W., Arribas, A., and Gonzalez-Urien, E., 2000. *Exploration for Epithermal Gold Deposits*. Reviews in Economic Geology, Vol.13, pp.245-277.
- Komov, I.L., Lukashev, A.N., and Koplus, A.V., 1994. *Geochemical Methods of Prospecting for Non-Metallic Minerals (New and Expanded Edition)*. Utrech: VSP, p.405.
- Marshall, D., Anglin, C.D., and Mumin, H., 2004. *Ore Mineral Atlas*. Newfoundland: Geological Association of Canada, Mineral Deposits Division, p.112.
- Morrison, G.W., Dong, G. and Jaireth, S., 1990. *Textural zoning in epithermal quartz veins*. Klondike Exploration Services, Townsville, Australia, p.10.
- Pirajno, F., 2009. *Hydrothermal Processes and Mineral Systems*. Berlin: Springer-Verlag, p.1250.
- Simmons, S.F., White, N.C., and John, D.A., 2005. *Geological Characteristics of Epithermal Precious and Base Metal Deposits. Society of Economic Geologist, 100th Anniversary Volume*, pp.485-522.
- Sompotan, A.F., 2012. *Struktur Geologi Sulawesi*. Perpustakaan Sains Kebumihan, Institut Teknologi Bandung. Bandung, Indonesia
- Tim Departemen Eksplorasi PT MSM/TTN. 2017. *Geologi Regional Minahasa*. PT MSM/TTN. Minahasa Utara.

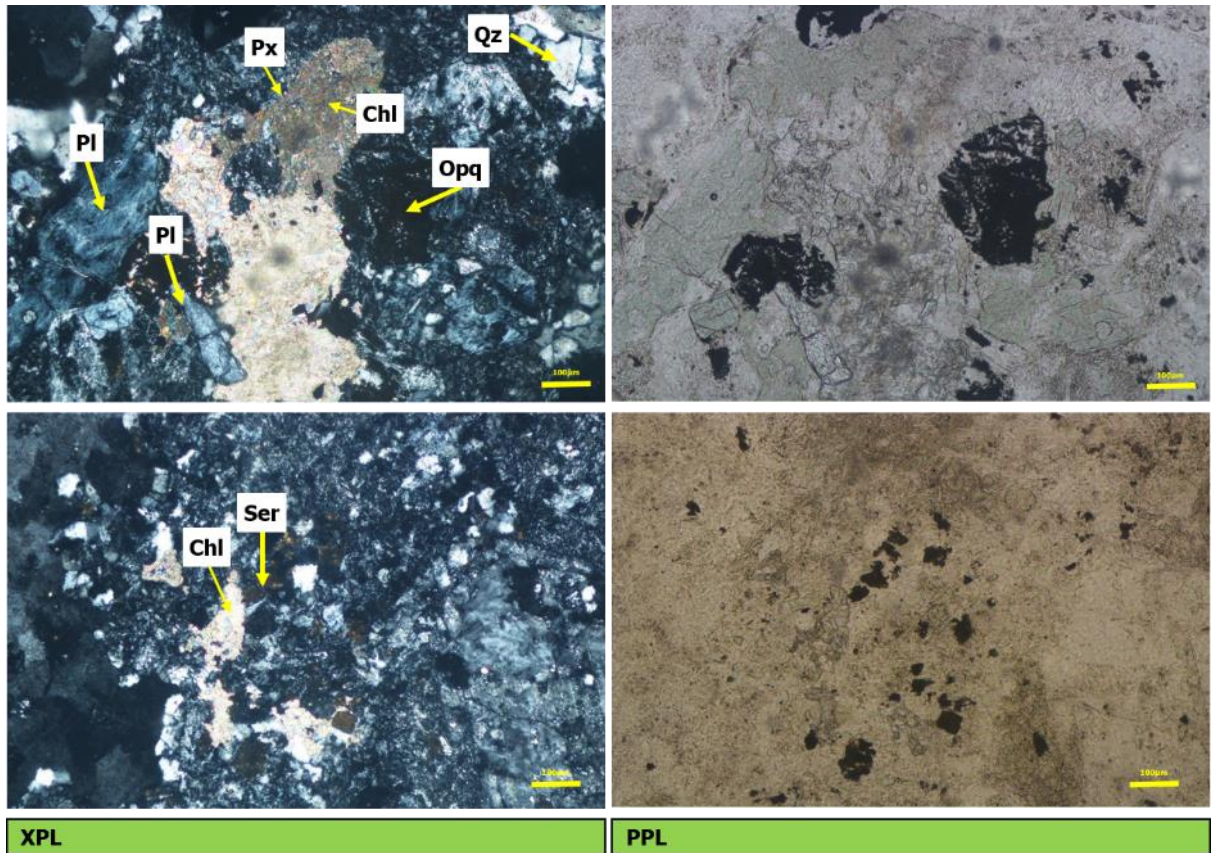
- Van Leeuwen, T.M., and Pieters, P.E., 2011. *Mineral Deposits of Sulawesi*. Proceedings Of The Sulawesi Mineral Resources 2011, MGEI-IAGI 28-29. Manado, North Sulawesi, Indonesia.
- White, N.C. and Hedenquist, J.W., 1995. Epithermal Gold Deposits: Styles, Characteristics and Exploration. *Society Economic Geologist Newsletter* 23, pp.1, and 9-13.

LAMPIRAN A
PETA PENELITIAN

1. Peta Geologi
2. Peta Zonasi Alterasi Hidrotermal
3. Peta Sebaran Mineralisasi
4. Peta Titik Pengambilan Sampel

No Stasiun : BLM001		
Lokasi : Pit X, PT TTN		
Kode Sampel (Sample ID) : BLM001		
Jenis Sampel (Sample type) : Batuan teralterasi		
Tipe Alterasi (Alteration type) : Propilitik		
Mikroskopis (Microscopic) : Kenampakan mikroskopis batuan ini berwarna hijau kecoklatan pada nikol sejajar, dan berwarna abu-abu kehitaman pada nikol silang. Batuan ini telah teralterasi 90% dengan ukuran mineral $\leq 0,05 - 0,7$ mm, mineral alterasinya terdiri atas kuarsa, klorit, serisit dan mineral opak.		
Deskripsi Mineralogi (Mineralogy Of Description)		
Komposisi Mineral Competition of Mineral	Jumlah Amount (%)	Keterangan optik mineral Description of Optical Mineralogy
Plagioklas (Pl)	10	Warna absorpsi abu-abu kecoklatan, warna putih kehitaman, pecahan tidak ada, belahan 1 arah, sudut gelapan 9° , intensitas sedang, relief sedang, pleokroisme dwikroik, ukuran mineral $0,05 - 0,4$ mm
Piroksen (Px)	15	Warna absorpsi abu-abu kecokelatan, warna interferensi coklat kemerahan, pecahan tidak rata, belahan tidak jelas, sudut gelapan 37° , pleokroisme monokroik, ukuran $0,05 - 0,7$ mm.
Klorit (Chl)	20	Warna absorpsi abu-abu kehijauan dan interferensi kuning kehijauan, belahan satu arah, sudut gelapan 32° , intensitas lemah, relief rendah, pleokroisme monokroik, ukuran mineral $0,05-0,6$ mm
Serisit (Ser)	15	Warna absorpsi abu-abu kecoklatan, warna interferensi coklat kemerahan, pecahan tidak ada, belahan tidak jelas, sudut gelapan 21° , indeks bias $n_{\text{mineral}} < n_{\text{cb}}$, relief rendah, pleokroisme monokroik, intensitas lemah, ukuran mineral $0,05$ mm
Kuarsa (Qtz)	25	Warna absorpsi putih, warna interferensi putih abu-abu, pecahan tidak ada, belahan tidak ada, pleokroisme monokroik, intensitas sedang-kuat, relief sedang-tinggi, sudut gelapan 6° , indeks bias $n_{\text{mineral}} > n_{\text{cb}}$, ukuran mineral $0,05-0,1$ mm
Mineral Opak (Opq)	10	Warna absorpsi dan warna interferensi hitam, ukuran $0,1 - 0,15$ mm.

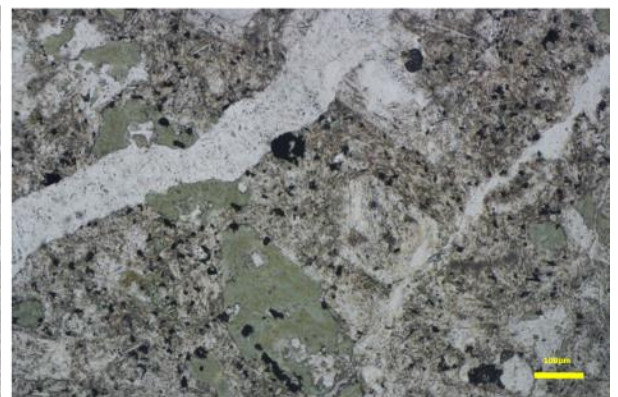
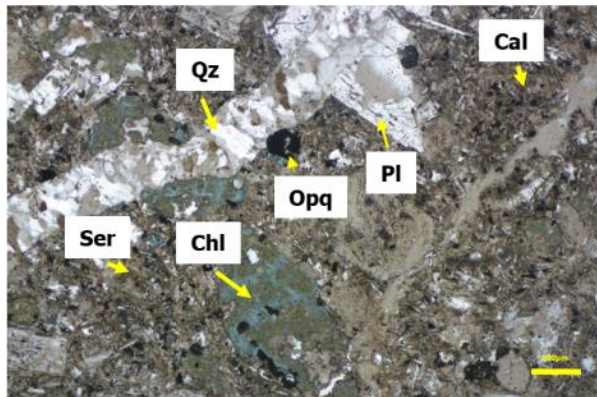
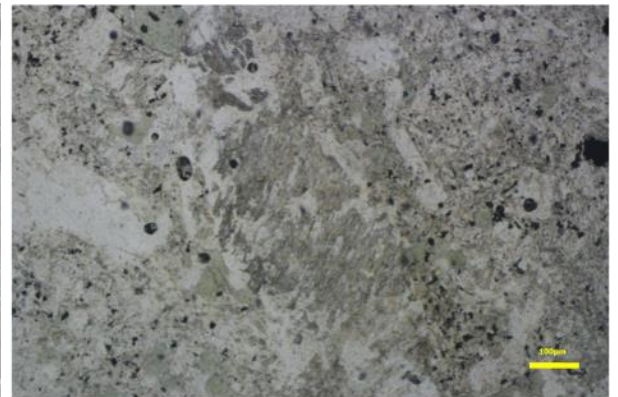
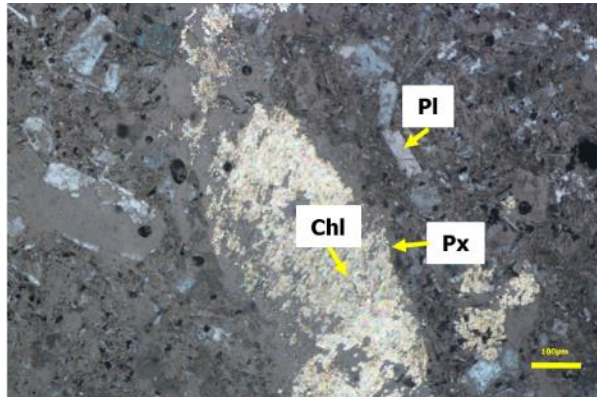
Foto :



Gambar D.1. Fotomikrograf sampel BLM001 yang memperlihatkan kehadiran mineral plagioklas, piroksen, kuarsa, klorit, serisit, dan mineral opak

No Stasiun : BLM005		
Lokasi : Pit X, PT TTN		
Kode Sampel (Sample ID)		: BLM005
Jenis Sampel (Sample type)		: Batuan teralterasi
Tipe Alterasi (Alteration type)		: Propilitik
Mikroskopis (Microscopic) : Kenampakan mikroskopis batuan ini berwarna hijau keabu-abuan pada nikol sejajar, dan berwarna hijau kecoklatan pada nikol silang. Batuan ini telah teralterasi 90% dengan ukuran mineral $\leq 0,05 - 1$ mm, mineral alterasinya terdiri atas serisit, kalsit, kuarsa, klorit, dan mineral opak.		
Deskripsi Mineralogi (Mineralogy of Description)		
Komposisi Mineral Composition of Mineral	Jumlah Amount (%)	Keterangan optik mineral Description of Optical Mineralogy
Plagioklas (Pl)	10	Warna absorpsi abu-abu, warna interferensi abu-abu kehitaman, pecahan tidak rata, belahan 2 arah, sudut gelapan 24° , intensitas sedang, relief sedang, pleokroisme monokroik, ukuran 0,1 - 0,3 mm.
Piroksen (Px)	15	Warna absorpsi abu-abu kecoklatan, warna interferensi cokelat kemerahan, pecahan tidak rata, belahan tidak jelas, sudut gelapan 40° , pleokroisme monokroik, ukuran 0,1 - 0,5 mm.
Kalsit (Cal)	25	Warna absorpsi abu-abu kecoklatan, warna interferensi kuning kecoklatan, pecahan tidak ada, belahan tidak jelas, sudut gelapan 33° , intensitas sedang, relief sedang, pleokroisme monokroik, ukuran 0,6 mm.
Klorit (Chl)	15	Warna absorpsi hijau keabu-abuan, warna interferensi kuning kehijauan, pecahan tidak ada, belahan tidak jelas, sudut gelapan 33° , intensitas lemah, relief sedang, pleokroisme monokroik, ukuran 0,1 - 0,5 mm
Kuarsa (Qtz)	20	Warna absorpsi putih, warna interferensi putih abu-abu, pecahan tidak ada, belahan tidak ada, pleokroisme monokroik, intensitas sedang-kuat, relief sedang-tinggi, sudut gelapan 6° , indeks bias $n_{\text{mineral}} > n_{\text{cb}}$, ukuran mineral 0,1 - 1 mm
Serisit (Ser)	15	Warna absorpsi abu-abu kecoklatan, warna interferensi coklat kemerahan, pecahan tidak ada, belahan tidak jelas, sudut gelapan 18° , indeks bias $n_{\text{mineral}} < n_{\text{cb}}$, relief rendah, pleokroisme monokroik, intensitas lemah, ukuran mineral 0,1-0,7 mm
Mineral Opak (Opq)	5	Warna absorpsi dan interferensi hitam, ukuran 0,05 - 0,1 mm

Foto :



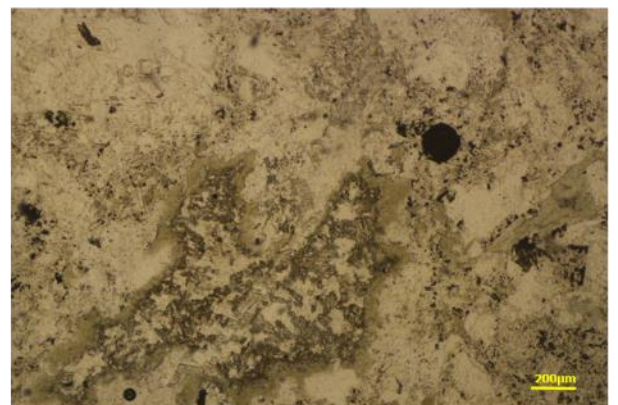
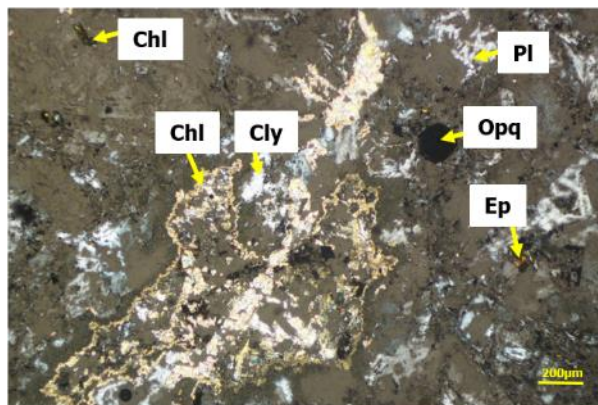
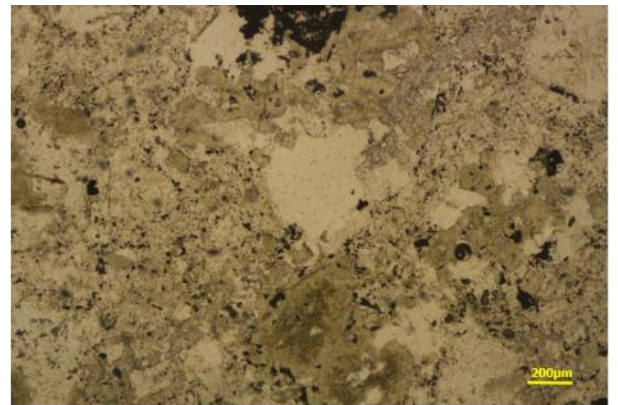
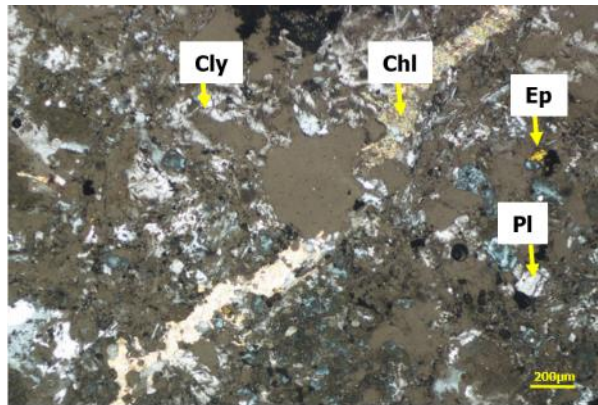
XPL

PPL

Gambar D.2. Fotomikrograf sampel ST.03 yang memperlihatkan kehadiran mineral plagioklas, piroksen, seirisit, kalsit, kuarsa, klorit, dan mineral opak

No Stasiun : BLM007		
Lokasi : Pit X, PT TTN		
Kode Sampel (Sample ID)		: BLM007
Jenis Sampel (Sample type)		: Batuan teralterasi
Tipe Alterasi (Alteration type)		: Propilitik
Mikroskopis (Microscopic) :		
Kenampakan mikroskopis batuan ini berwarna hijau kecoklatan pada nikol sejajar, dan berwarna putih abu-abu kehijauan pada nikol silang. Batuan ini telah teralterasi 90% dengan ukuran mineral <0,05 – 1,8 mm, mineral alterasinya terdiri atas serisit, mineral lempung, klorit, epidot, dan mineral opak.		
Deskripsi Mineralogi (Mineralogy of Description)		
Komposisi Mineral Compositon of Mineral	Jumlah Amount (%)	Keterangan optik mineral Description of Optical Mineralogy
Plagioklas (Pl)	10	Warna absorpsi abu-abu, warna interferensi abu-abu keputihan, pecahan tidak rata, belahan 2 arah, sudut gelapan 24°, intensitas sedang, relief sedang, pleokroisme monokroik, ukuran 0,1 – 0,2 mm.
Klorit (Chl)	15	Warna absorpsi hijau kecoklatan, warna interferensi kuning kehijauan, pecahan tidak ada, belahan tidak jelas, sudut gelapan 35°, intensitas lemah, relief seadang, pleokroisme monokroik, ukuran 0,1 – 1,8 mm
Mineral Lempung (Cly)	20	Warna absorpsi coklat, warna interferensi putih keabu-abuan, ukuran butir halus, relief sedang, intensitas sedang, tidak memiliki pleokrisme, sudut gelapan 29°, ukuran minera <1,2 mm
Epidot (Ep)	5	Warna absorpsi abu-abu kecoklatan, warna interferensi kuning sampai biru keunguan, pecahan tidak rata, belahan tidak jelas, sudut gelapan 13°, intensitas sedang, relief sedang, pleokroisme dwikroik, ukuran 0,05 – 0,1 mm.
Mineral Opak (Opq)	10	Warna absorpsi dan interferensi hitam, pleokroisme monokroik, ukuran 0,1 – 0,4 mm.

Foto :



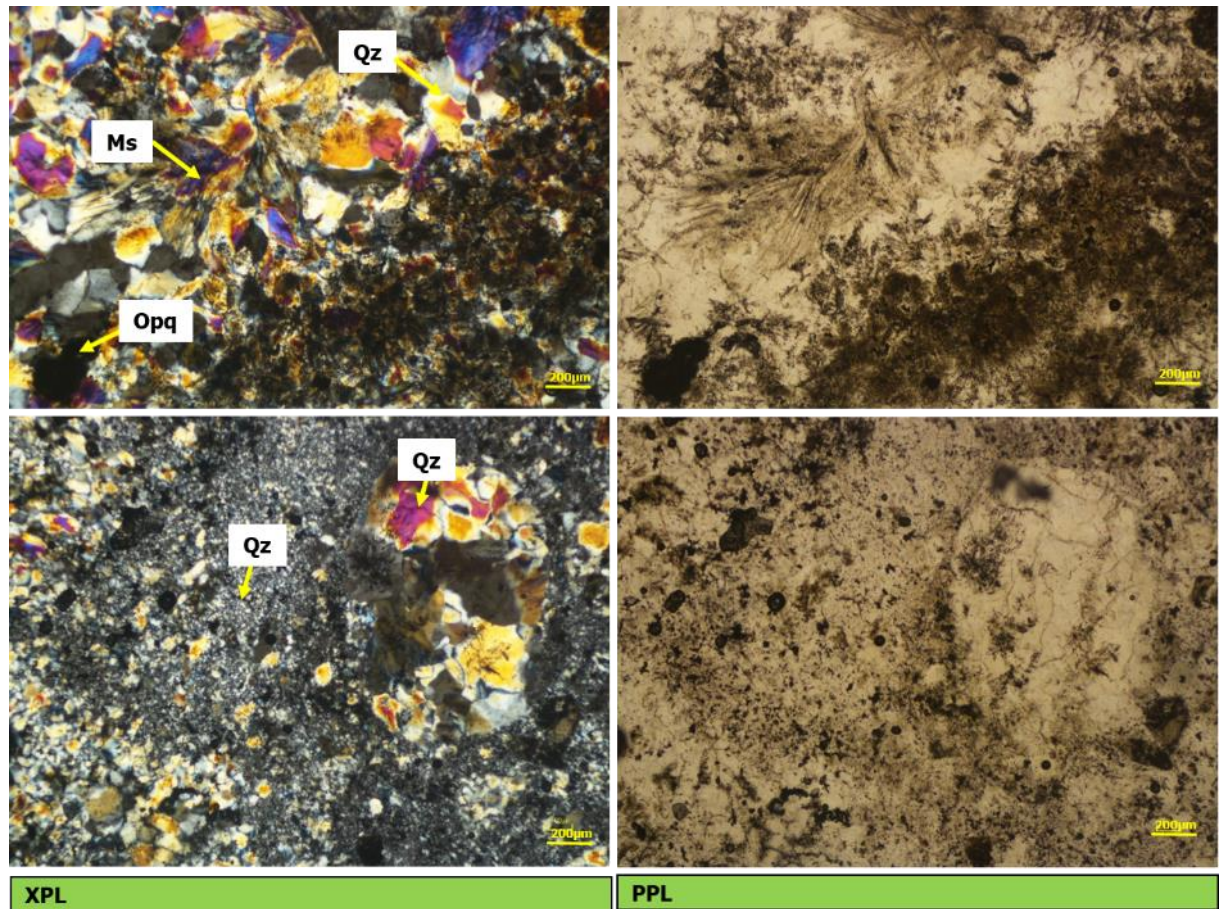
XPL

PPL

Gambar D.3. Fotomikrograf sampel BLM007 yang memperlihatkan kehadiran plagioklas, klorit, epidot, dan mineral lempung.

No Stasiun : BLM012		
Lokasi : Pit X, PT TTN		
Kode Sampel (Sample ID)		: BLM012
Jenis Sampel (Sample type)		: Batuan teralterasi
Tipe Alterasi (Alteration type)		: Argillik
Mikroskopis (Microscopic) : Kenampakan mikroskopis batuan ini berwarna coklat kemerahan pada nikol sejajar, dan berwarna abu-abu kuning kebiruan pada nikol silang. Batuan ini telah teralterasi 90% dengan ukuran mineral <0,05 – 1,8 mm, mineral alterasinya kuarsa, muskovit dan mineral opak.		
Deskripsi Mineralogi (Mineralogy Of Description)		
Komposisi Mineral Compositon of Mineral	Jumlah Amount (%)	Keterangan optik mineral Description of Optical Mineralogy
Muskovit (Ms)	30	Warna absorpsi coklat kemerahan, warna interferensi kuning biru sampai ungu, pecahan tidak rata, belahan tidak jelas, sudut gelapan 27°, intensitas lemah, relief rendah, pleokroisme monokroik, ukuran < 1,4 mm.
Kuarsa (Qtz)	35	Warna absorpsi putih, warna interferensi putih kuning biru sampai ungu, pecahan tidak ada, belahan tidak ada, pleokrisme monokroik, intensitas sedang-kuat, relief sedang-tinggi, sudut gelapan 9°, indeks bias $n_{\text{mineral}} > n_{\text{cb}}$, ukuran mineral < 1,8 mm
Mineral Opak (Opq)	5	Warna absorpsi dan interferensi hitam, pleokroisme monokroik, ukuran 0,05 -0,2 mm.

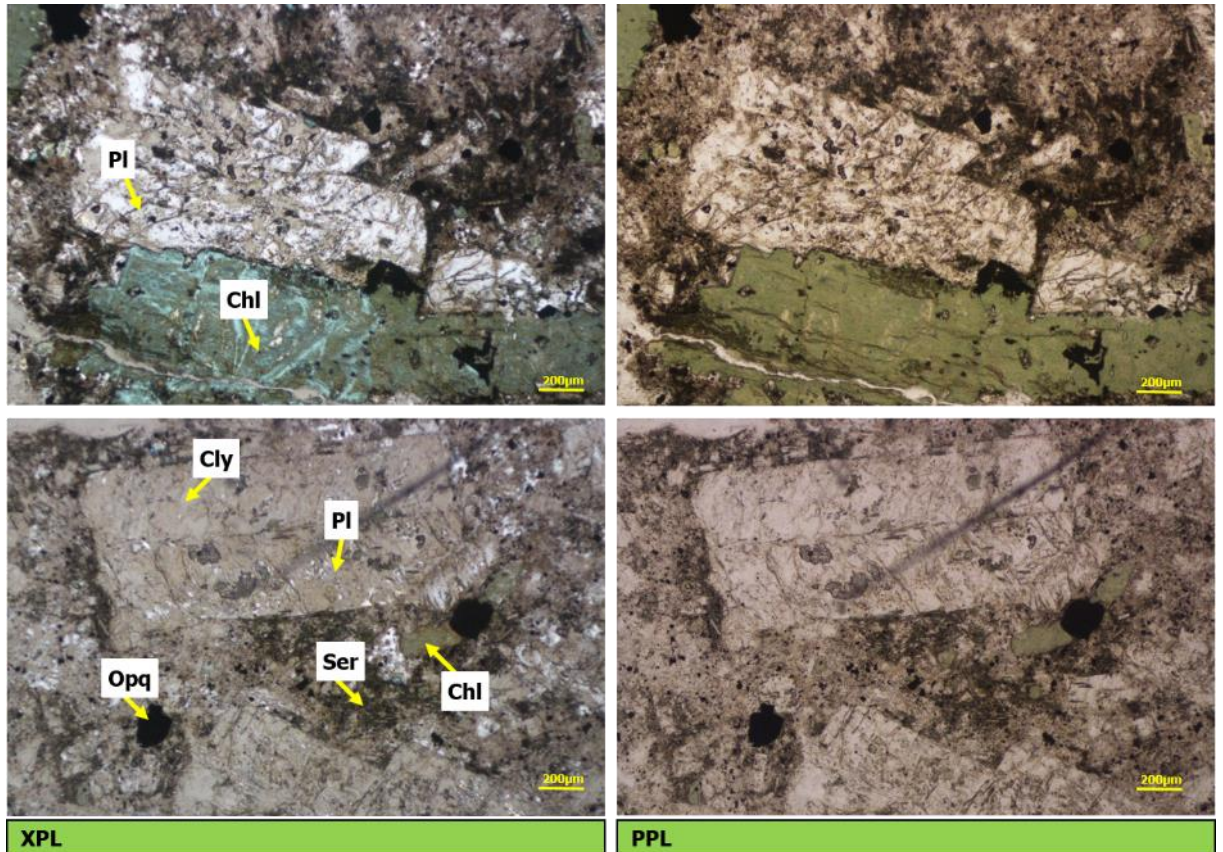
Foto :



Gambar D.4. Fotomikrograf sampel BLM012 yang memperlihatkan kehadiran mineral kuarsa, muskovit dan mineral opak.

No Stasiun : BLM014		
Lokasi : Pit X, PT TTN		
Kode Sampel (Sample ID)		: BLM014
Jenis Sampel (Sample type)		: Batuan teralterasi
Tipe Alterasi (Alteration type)		: Argillik
Mikroskopis (Microscopic) :		
Kenampakan mikroskopis batuan ini berwarna abu-abu kecoklatan pada nikol sejajar, dan berwarna hijau coklat keabu-abuan pada nikol silang. Batuan ini telah teralterasi 90% dengan ukuran mineral <0,01 – 1,4 mm, mineral alterasinya serisit, klorit, mineral lempung dan mineral opak.		
Deskripsi Mineralogi (Mineralogy Of Description)		
Komposisi Mineral Compositon of Mineral	Jumlah Amount (%)	Keterangan optik mineral Description of Optical Mineralogy
Serisit (Ser)	25	Warna absorpsi coklat, warna interferensi kuning kecoklatan, pecahan tidak ada, belahan tidak jelas, sudut gelapan 18°, pleokroisme monokroik, ukuran <1 mm.
Klorit (Chl)	15	Warna absorpsi hijau, warna interferensi hijau kebiruan, pecahan tidak ada, belahan tidak jelas, sudut gelapan 30°, intensitas lemah, relief sedang, pleokroisme monokroik, ukuran 1,4 mm
Plagioklas (Pl)	15	Warna absorpsi abu-abu, warna interferensi abu-abu kehitaman, pecahan tidak rata, belahan 2 arah, sudut gelapan 19°, intensitas sedang, relief sedang, pleokroisme monokroik, ukuran 0,1 – 1,2 mm.
Mineral Lempung (Cly)	20	Warna absorpsi coklat, warna interferensi coklat keabu-abuan, ukuran butir halus, relief sedang, intensitas sedang, tidak memiliki pleokroisme, sudut gelapan 35°, ukuran mineral <1,2 mm
Mineral Opak (Opq)	5	Warna absorpsi dan interferensi hitam, pleokroisme monokroik, ukuran 0,1-0,1 mm.

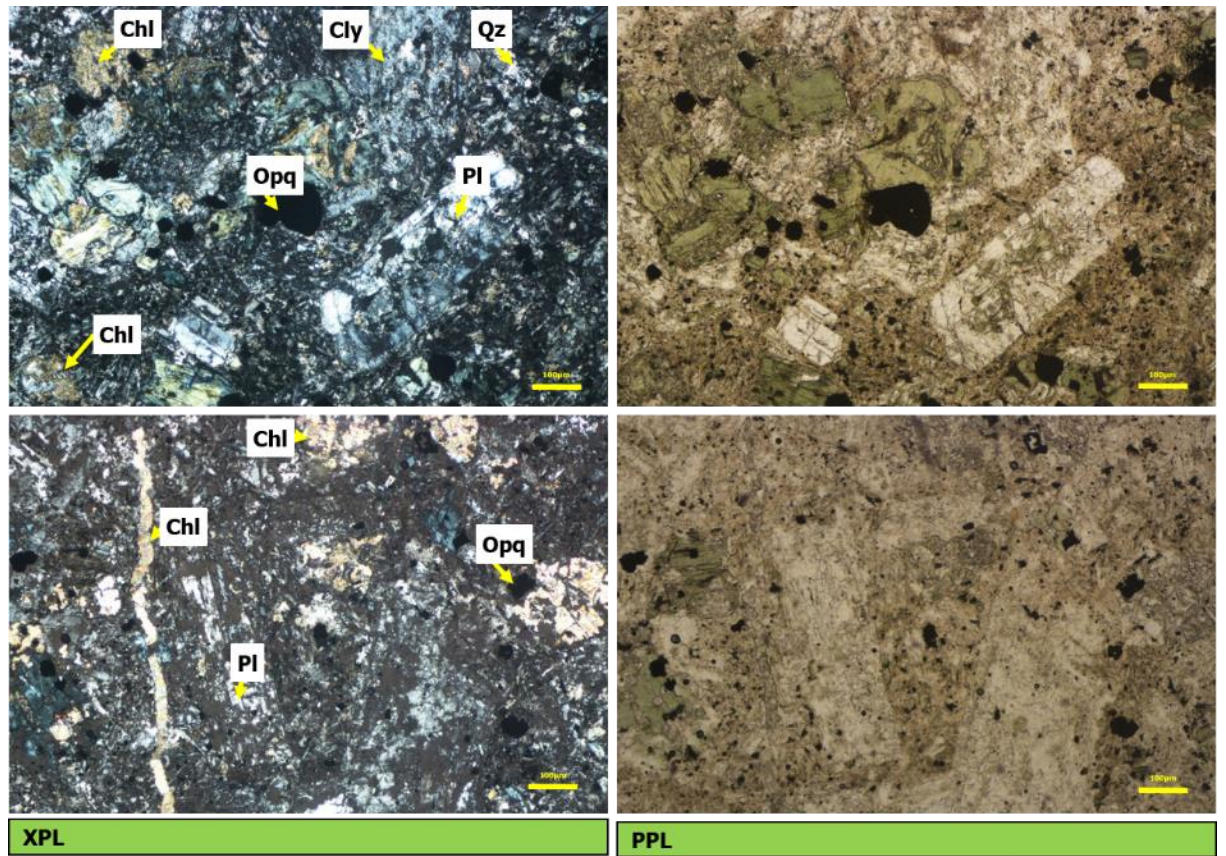
Foto :



Gambar D.5. Fotomikrograf sampel BLM014 yang memperlihatkan kehadiran mineral serisit, klorit, plagioklas, mineral lempung, dan mineral opak.

No Stasiun : BLM019		
Lokasi : Pit X, PT TTN		
Kode Sampel (Sample ID)		: BLM019
Jenis Sampel (Sample type)		: Batuan teralterasi
Tipe Alterasi (Alteration type)		: Propilitik
Mikroskopis (Microscopic) : Kenampakan mikroskopis batuan ini berwarna hijau kecokelatan pada nikol sejajar dan berwarna hijau abu-abu kehitaman pada nikol silang. Batuan ini telah teralterasi 90% dengan ukuran mineral 0,05-0,7 mm, mineral alterasinya berupa mineral lempung, serisit, klorit, epidot, kuarsa dan mineral opak.		
Deskripsi Mineralogi (Mineralogy Of Description)		
Komposisi Mineral Composition of Mineral	Jumlah Amount (%)	Keterangan optik mineral Description of Optical Mineralogy
Plagioklas (Pl)	15	Warna absorpsi abu-abu, warna interferensi abu-abu kehitaman, pecahan tidak rata, belahan 2 arah, sudut gelapan 14°, intensitas sedang, relief sedang, pleokroisme monokroik, ukuran 0,1 – 0,4 mm.
Klorit (Chl)	20	Warna absorpsi hijau kecokelatan dan warna interferensi hijau kekuningan, pecahan tidak jelas, belahan tidak jelas, berbentuk urat, sudut gelapan 20°, intensitas lemah, relief rendah, pleokroisme monokroik, ukuran mineral 0,1 mm.
Kuarsa (Qtz)	10	Warna absorpsi putih, warna interferensi putih abu-abu, pecahan tidak ada, belahan tidak ada, pleokroisme monokroik, intensitas sedang-kuat, relief sedang-tinggi, sudut gelapan 8°, indeks bias $n_{\text{mineral}} > n_{\text{cb}}$, ukuran mineral 0,7 mm
Mineral Lempung (Cly)	15	Warna putih kecokelatan, warna interferensi abu-abu kecokelatan, ukuran butir halus, relief sedang, intensitas sedang, tidak memiliki pleokroisme, sudut gelapan 32°, ukuran mineral <0,6 mm
Mineral Opak (Opq)	10	Warna absorpsi dan interferensi hitam, pleokroisme monokroik, ukuran <0,1 mm.

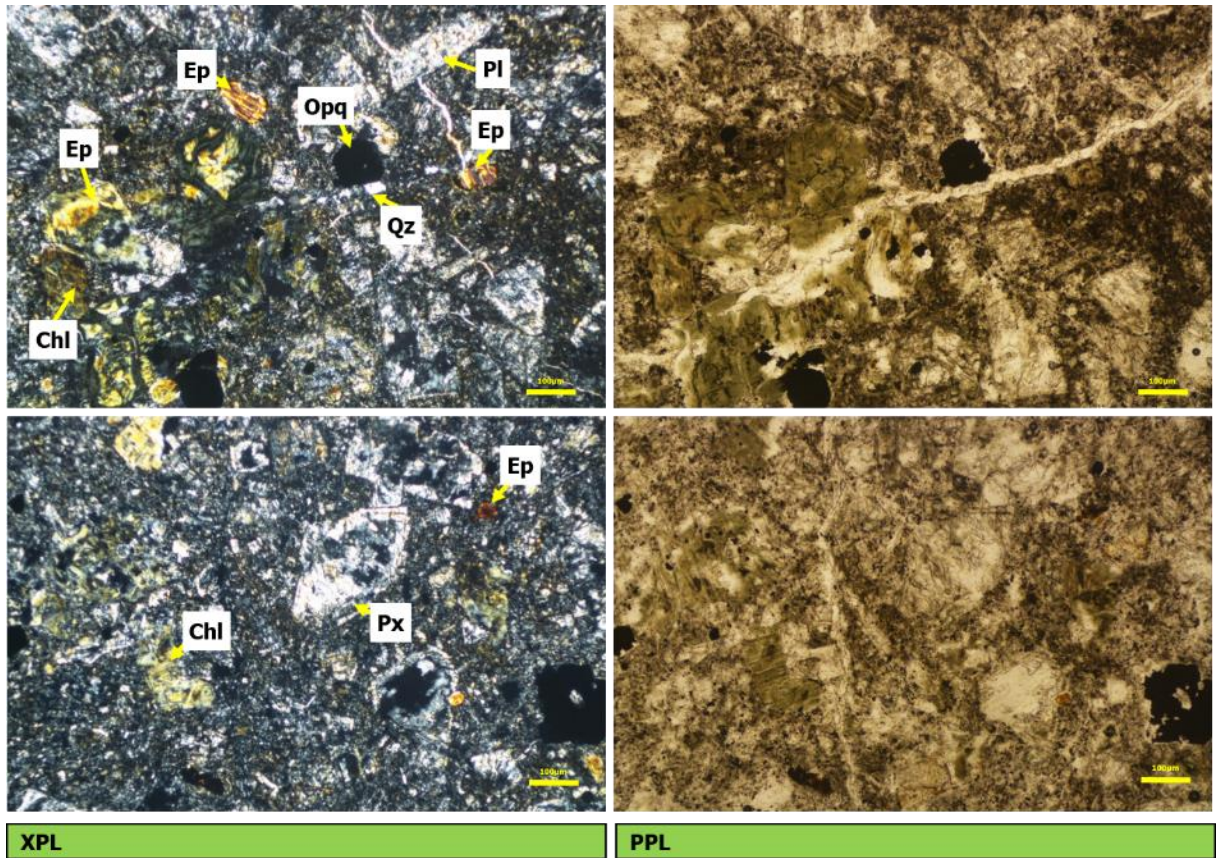
Foto



Gambar D.6. Fotomikrograf sampel BLM019 yang memperlihatkan kehadiran mineral plagioklas, mineral lempung, klorit, kuarsa, dan mineral opak.

No Stasiun : BLM028		
Lokasi : Pit X, PT TTN		
Kode Sampel (Sample ID)		: BLM028
Jenis Sampel (Sample type)		: Batuan teralterasi
Tipe Alterasi (Alteration type)		: Propilitik
Mikroskopis (Microscopic) : Kenampakan mikroskopis batuan ini berwarna hijau kecokelatan pada nikol sejajar dan berwarna hijau abu-abu kehitaman pada nikol silang. Batuan ini telah teralterasi 90%, mineral alterasinya terdiri atas kuarsa, klorit, epidot, dan mineral opak, dengan ukuran mineral 0,05 – 1 mm.		
Deskripsi Mineralogi (Mineralogy Of Description)		
Komposisi Mineral Compositon of Mineral	Jumlah Amount (%)	Keterangan optik mineral Description of Optical Mineralogy
Plagioklas (Pl)	20	Warna absorpsi coklat keabu-abuan, warna interferensi abu-abu kehitaman, pecahan rata, belahan tidak jelas, sudut gelap 20°, intensitas sedang, relief sedang, pleokroisme monokroik, ukuran <0,2 mm.
Piroksen (Px)	5	Warna absorpsi abu-abu kecokelatan, warna interferensi putih keabu-abuan, pecahan tidak jelas, belahan tidak jelas, sudut gelap 39°, pleokroisme monokroik, ukuran 0,3 mm.
Klorit (Chl)	15	Warna absorpsi hijau, warna interferensi hijau kekuningan, pecahan tidak rata, belahan tidak jelas, pleokroisme monokroik, intensitas rendah, relief lemah, sudut gelap 7°, ukuran mineral 0,1 – 0,5 mm.
Epidot (Ep)	15	Warna absorpsi hijau kecokelatan, warna interferensi kuning sampai ungu, pecahan tidak rata, belahan tidak jelas, sudut gelap 4°, intensitas sedang, relief sedang, pleokroisme dwikroik, ukuran 0,05 – 0,1 mm.
Kuarsa (Qtz)	20	Warna absorpsi putih, warna interferensi putih abu-abu, pecahan tidak ada, belahan tidak ada, berbentuk urat (<i>vein</i>), pleokroisme monokroik, intensitas sedang-kuat, relief sedang-tinggi, sudut gelap 14°, indeks bias $n_{\text{mineral}} > n_{\text{cb}}$, ukuran mineral 0,05 - 1 mm
Mineral Opak (Opq)	10	Warna absorpsi dan interferensi hitam, pleokroisme monokroik, ukuran 0,05-0,1 mm.

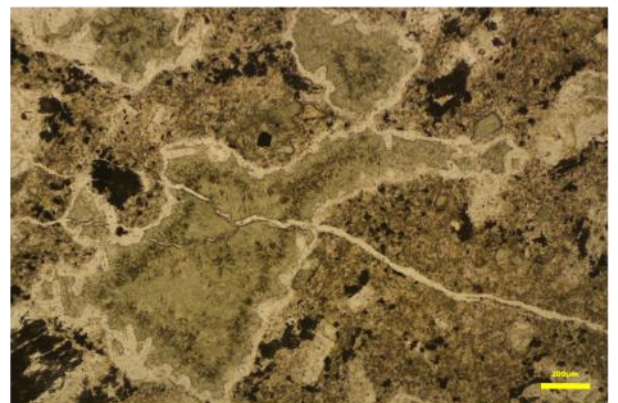
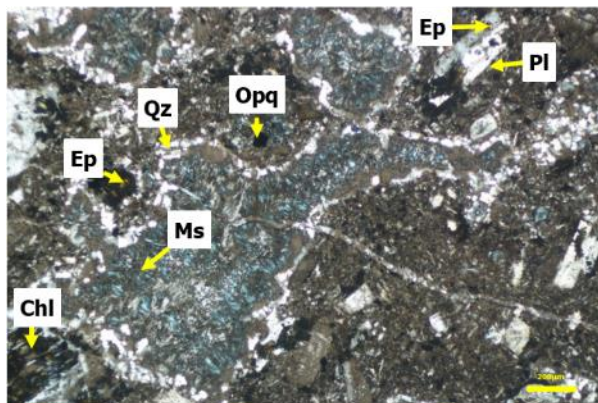
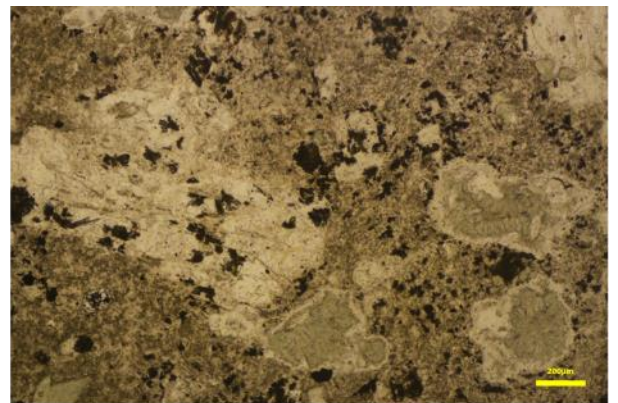
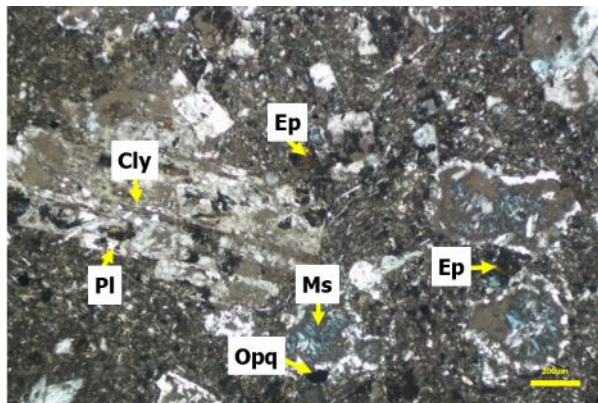
Foto :



Gambar D.7. Fotomikrograf sampel BLM028 yang memperlihatkan kehadiran mineral plagioklas, piroksen, kuarsa, klorit, epidot, dan mineral opak.

No Stasiun : BLM037		
Lokasi : Pit X, PT TTN		
Kode Sampel (Sample ID)		: BLM037
Jenis Sampel (Sample type)		: Batuan teralterasi
Tipe Alterasi (Alteration type)		: Argillik
Mikroskopis (Microscopic) : Kenampakan mikroskopis sayatan batuan ini memiliki warna absorpsi hijau kecoklatan, warna interferensi abu-abu kebiruan. Batuan ini telah mengalami alterasi sekitar 85% ukuran mineral 0,01 mm – 2,2 mm, dengan mineral alterasi yaitu kuarsa, klorit, muskovit, mineral lempung, epidot, dan mineral opak.		
Deskripsi Mineralogi (Mineralogy Of Description)		
Komposisi Mineral Composition of Mineral	Jumlah Amount (%)	Keterangan optik mineral Description of Optical Mineralogy
Plagioklas (Pl)	20	Warna absorpsi coklat keabu-abuan, warna interferensi abu-abu kehitaman, pecahan rata, belahan tidak jelas, sudut gelapan 24°, intensitas sedang, relief sedang, pleokroisme monokroik, ukuran 0,1 - 1 mm.
Kuarsa (Qtz)	25	Warna absorpsi putih, warna interferensi putih abu-abu, pecahan tidak ada, belahan tidak ada, berbentuk urat (<i>vein</i>), pleokrisme monokroik, intensitas sedang-kuat, relief sedang-tinggi, sudut gelapan 18°, indeks bias $n_{\text{mineral}} > n_{\text{cb}}$, ukuran mineral 0,1 - 2 mm
Klorit (Chl)	10	Warna absorpsi hijau, warna interferensi hijau kekuningan, pecahan tidak rata, belahan tidak jelas, pleokrisme monokroik, intensitas rendah, relief lemah, sudut gelapan 9°, ukuran mineral <0,2 mm.
Muskovit (Ms)	20	Warna absorpsi coklat kehijauan, warna interferensi hijau kebiruan, pecahan tidak jelas, belahan tidak jelas, sudut gelapan 24°, intensitas lemah, relief rendah, pleokroisme monokroik, ukuran 0,2 – 2,2 mm.
Mineral Lempung (Cly)	15	Warna absorpsi cokelat, warna interferensi putih keabu-abuan, ukuran butir halus, relief sedang, intensitas sedang, tidak memiliki pleokrisme, sudut gelapan 30°, ukuran mineral <0,8 mm
Epidot (Ep)	10	Warna absorpsi hijau kecoklatan, warna interferensi kuning sampai ungu, pecahan tidak rata, belahan tidak jelas, sudut gelapan 8°, intensitas sedang, relief sedang, pleokroisme dwikroik, ukuran 0,01 – 0,1 mm.
Mineral Opak (Opq)	5	Pada kenampakan nikol sejajar mineral ini berwarna hitam, bentuk subhedral, ukuran mineral 0,1 mm.

Foto :



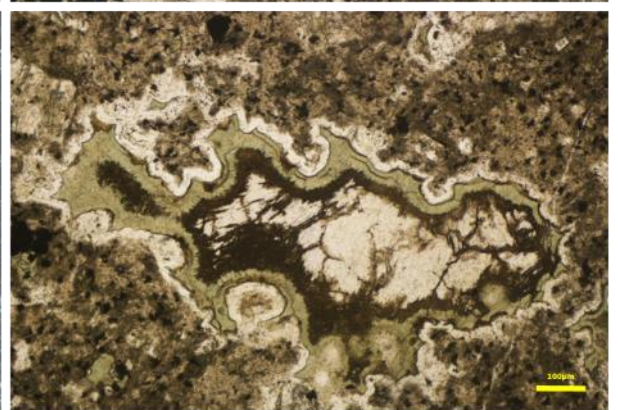
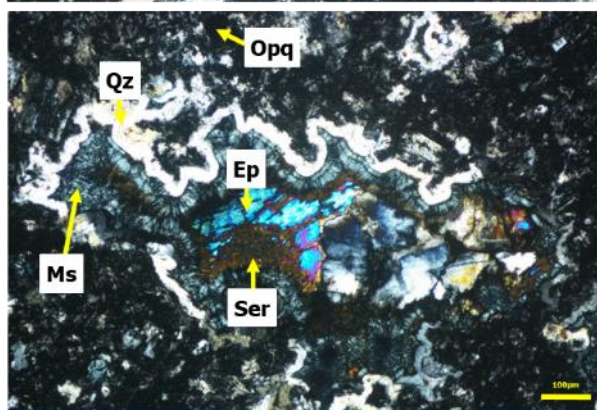
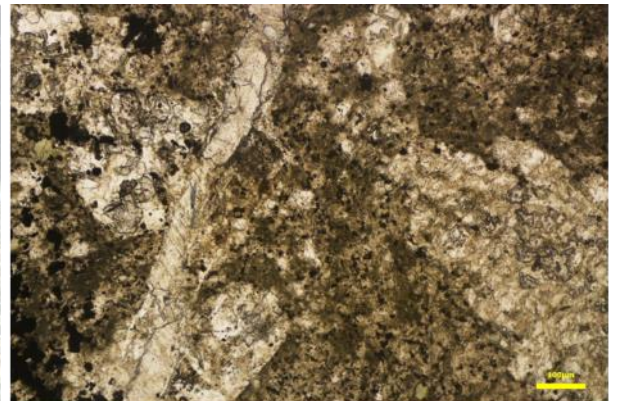
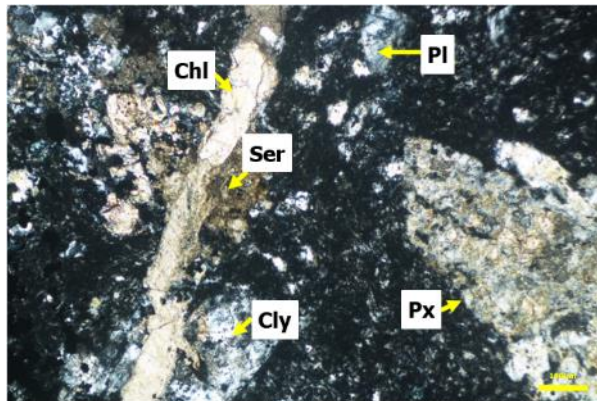
XPL

PPL

Gambar D.8. Fotomikrograf sampel BLM037 yang memperlihatkan kehadiran mineral plagioklas, kuarsa, klorit, aktinolit, epidot, dan mineral opak.

No Stasiun : BLM084		
Lokasi : Pit X, PT TTN		
Kode Sampel (Sample ID)		: BLM084
Jenis Sampel (Sample type)		: Batuan teralterasi
Tipe Alterasi (Alteration type)		: Argillik
Mikroskopis (Microscopic) : Kenampakan mikroskopis batuan ini berwarna coklat kehijauan pada nikol sejajar, dan berwarna hijau biru keabu-abuan pada nikol silang. Batuan ini telah teralterasi 90% dengan ukuran mineral <0,01 – 0,7 mm, mineral alterasi terdiri atas mineral kuarsa, serisit, klorit, epidot, dan mineral opak.		
Deskripsi Mineralogi (Mineralogy Of Description)		
Komposisi Mineral Composition of Mineral	Jumlah Amount (%)	Keterangan optik mineral Description of Optical Mineralogy
Plagioklas (Pl)	10	Warna absorpsi coklat keabu-abuan, warna interferensi putih pucat kehitaman, pecahan tidak jelas, belahan tidak jelas, sudut gelap 13°, intensitas sedang, relief sedang, pleokroisme monokroik, ukuran 0,1 mm.
Piroksen (Px)	15	Warna absorpsi abu-abu kecokelatan, warna interferensi putih keabu-abuan, pecahan tidak jelas, belahan tidak jelas, sudut gelap 39°, pleokroisme monokroik, ukuran 0,1 – 0,4 mm.
Kuarsa (Qtz)	15	Warna absorpsi putih, warna interferensi putih abu-abu, pecahan tidak ada, belahan tidak ada, berbentuk urat (<i>vein</i>), pleokrisme monokroik, intensitas sedang-kuat, relief sedang-tinggi, sudut gelap 16°, indeks bias $n_{\text{mineral}} > n_{\text{cb}}$, ukuran mineral 0,1 – 0,6 mm
Klorit (Chl)	10	Warna absorpsi hijau, warna interferensi hijau terang, pecahan tidak ada, belahan satu arah, pleokrisme monokroik, intensitas rendah, relief sedang, sudut gelap 26°, ukuran mineral 0,1 - 0,7 mm.
Epidot (Ep)	10	Warna absorpsi putih kecokelatan, warna interferensi biru kuning sampai ungu, pecahan tidak rata, belahan tidak ada, sudut gelap 5°, intensitas sedang, relief sedang, pleokroisme monokroik, ukuran 0,01 – 0,2 mm.
Mineral Lempung (Cly)	15	Warna absorpsi abu-abu kecokelatan, warna interferensi putih keabu-abuan, ukuran butir halus, relief sedang, intensitas sedang, tidak memiliki pleokrisme, sudut gelap 32°, ukuran minera 0,2-0,5 mm
Serisit (Ser)	15	Warna absorpsi coklat, warna interferensi kuning kehijauan, pecahan tidak ada, belahan tidak jelas, sudut gelap 22°, pleokroisme monokroik, ukuran 0,1 – 0,2 mm.
Muskovit (Ms)	20	Warna absorpsi coklat kehijauan, warna interferensi hijau kebiruan, pecahan tidak jelas, belahan tidak jelas, sudut gelap 23°, intensitas lemah, relief rendah, pleokroisme monokroik, ukuran 0,6 mm.
Mineral Opak (Opq)	5	Warna absorpsi dan interferensi hitam, pleokroisme monokroik, ukuran 0,05 mm.

Foto :



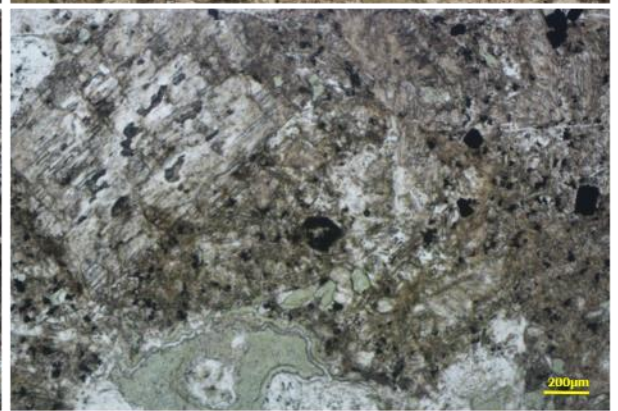
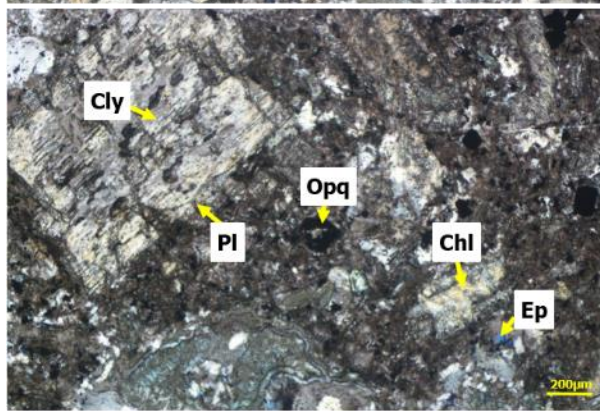
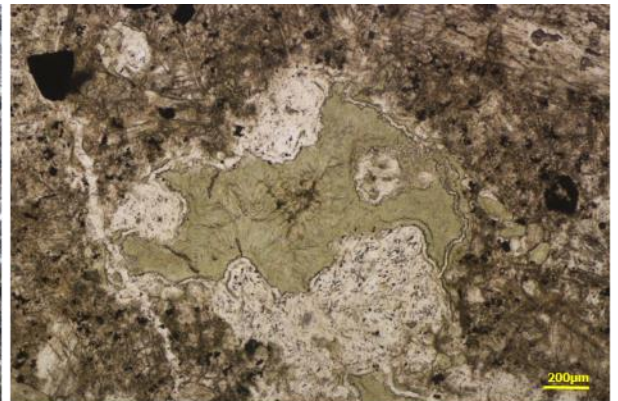
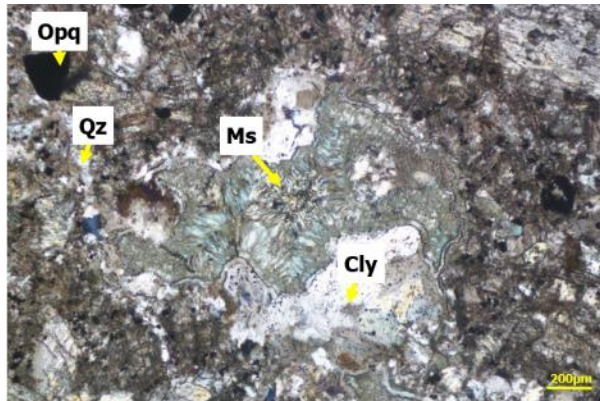
XPL

PPL

Gambar D.9. Fotomikrograf sampel BLM084 yang memperlihatkan kehadiran plagioklas, piroksen, kuarsa, klorit, epidot, mineral lempung, serisit, muskovit, dan mineral opak

No Stasiun : BLM092		
Lokasi : Pit X, PT TTN		
Kode Sampel (Sample ID)		: BLM092
Jenis Sampel (Sample type)		: Batuan teralterasi
Tipe Alterasi (Alteration type)		: Argillik
Mikroskopis (Microscopic) :		
Kenampakan mikroskopis batuan ini berwarna coklat kehijauan pada nikol sejajar dan berwarna putih abu-abu kehijauan pada nikol silang. Batuan ini telah teralterasi 90% dengan ukuran mineral <0,2 – 0,8 mm, mineral alterasi terdiri atas mineral kuarsa, muskovit, klorit, epidot, dan mineral lempung.		
Deskripsi Mineralogi (Mineralogy Of Description)		
Komposisi Mineral Composition of Mineral	Jumlah Amount (%)	Keterangan optik mineral Description of Optical Mineralogy
Plagioklas (Pl)	15	Warna absorpsi coklat keabu-abuan, warna interferensi abu-abu kehitaman, pecahan tidak rata, belahan dua arah, sudut gelap 13°, intensitas sedang, relief sedang, pleokroisme monokroik, ukuran 0,2 – 0,6 mm.
Mineral Lempung (Cly)	20	Warna absorpsi putih kecoklatan, warna interferensi putih keabu-abuan, ukuran butir halus, relief sedang, intensitas sedang, tidak memiliki pleokroisme, sudut gelap 26°, ukuran mineral <0,6 mm
Kuarsa (Qtz)	20	Warna absorpsi putih, warna interferensi putih keabu-abuan, berbentuk urat (<i>vein</i>) pecahan tidak ada, belahan tidak ada, pleokroisme monokroik, intensitas sedang-kuat, relief sedang-tinggi, sudut gelap 4°, indeks bias $n_{\text{mineral}} > n_{\text{cb}}$, ukuran mineral 0,2 – 0,8 mm.
Muskovit (Ms)	20	Warna absorpsi coklat kehijauan, warna interferensi hijau kebiruan, pecahan tidak jelas, belahan tidak jelas, sudut gelap 25°, intensitas lemah, relief rendah, pleokroisme monokroik, ukuran 0,8 mm.
Klorit (Chl)	10	Warna absorpsi hijau kecoklatan, warna interferensi hijau kebiruan, pecahan tidak rata, belahan tidak jelas, pleokroisme monokroik, intensitas rendah, relief lemah, sudut gelap 17°, ukuran mineral <0,8 mm.
Epidot (Ep)	10	Warna absorpsi putih kecoklatan, warna interferensi biru keunguan, pecahan tidak jelas, belahan tidak jelas, sudut gelap 7°, intensitas sedang, relief sedang, pleokroisme monokroik, ukuran 0,01 – 0,2 mm.
Mineral Opak (Opq)	5	Warna absorpsi dan interferensi hitam, pleokroisme monokroik, ukuran 0,05 mm.

Foto :



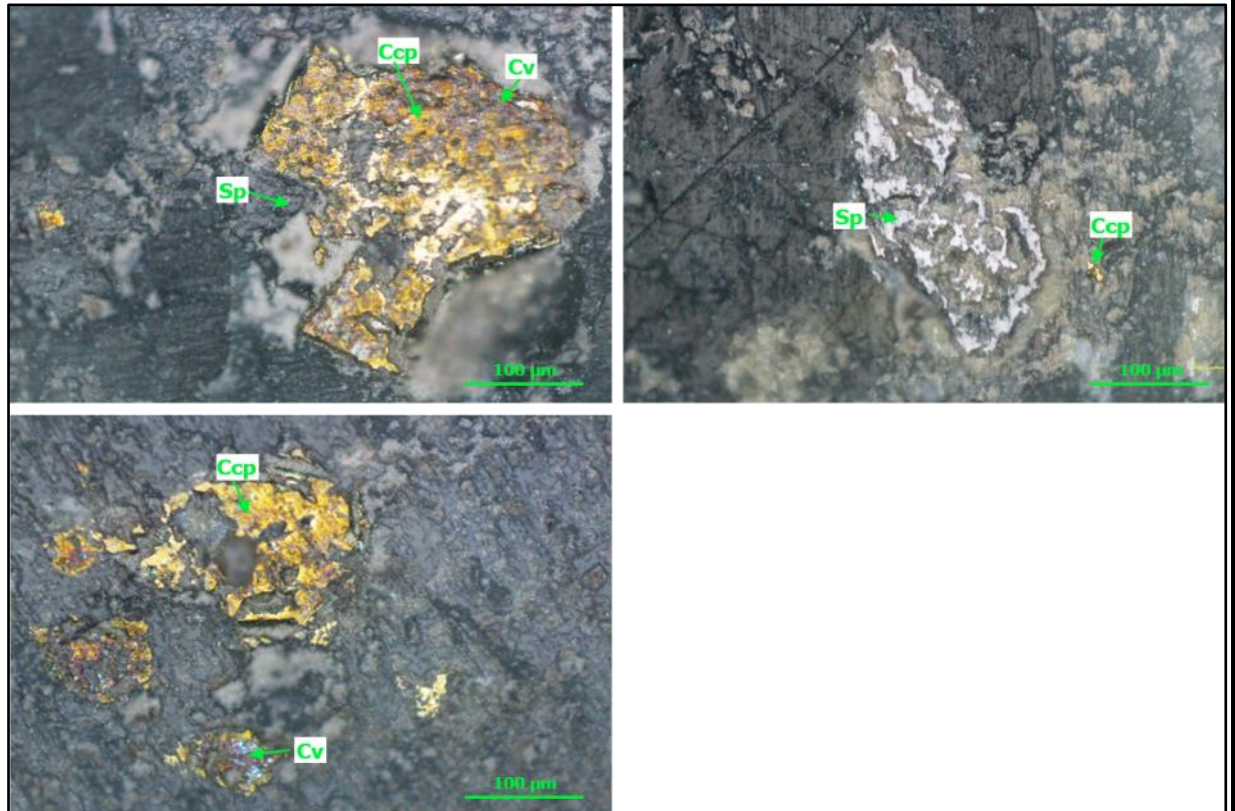
XPL

PPL

Gambar D.10. Fotomikrograf sampel BLM092 yang memperlihatkan kehadiran plagioklas, muskovit, mineral lempung, klorit, epidot, dan mineral opak.

No Sampel : BLM001		
Lokasi : Pit X, PT TTN		
Tipe Mineralisasi : Epitermal Sulfidasi Rendah		
Mineral Bijih : Kalkopirit, Kovelit, Sfalerit		
Referensi : Marshall <i>et al.</i> (2004)		
Deskripsi Mineralogi Bijih (<i>Ore Mineralogy Description</i>)		
Komposisi Mineral <i>Competition of Mineral</i>	Simbol	Keterangan optik mineral <i>Description of Optical Mineralogy</i>
Kalkopirit	Ccp	Warna kuning cerah, bentuk subhedral-anhedral, anisotropik, tidak ada pleokroisme, ukuran mineral 0,1 - 0,3 mm.
Kovelit	Cv	Warna biru keunguan, bentuk subhedral-anhedral, tidak ada pleokroisme, ukuran mineral 0,01 – 0,1 mm.
Sfalerit	Sp	Warna abu-abu, bentuk subhedral-anhedral, isotropik, tidak ada pleokroisme, ukuran 0,01-0,3 mm.

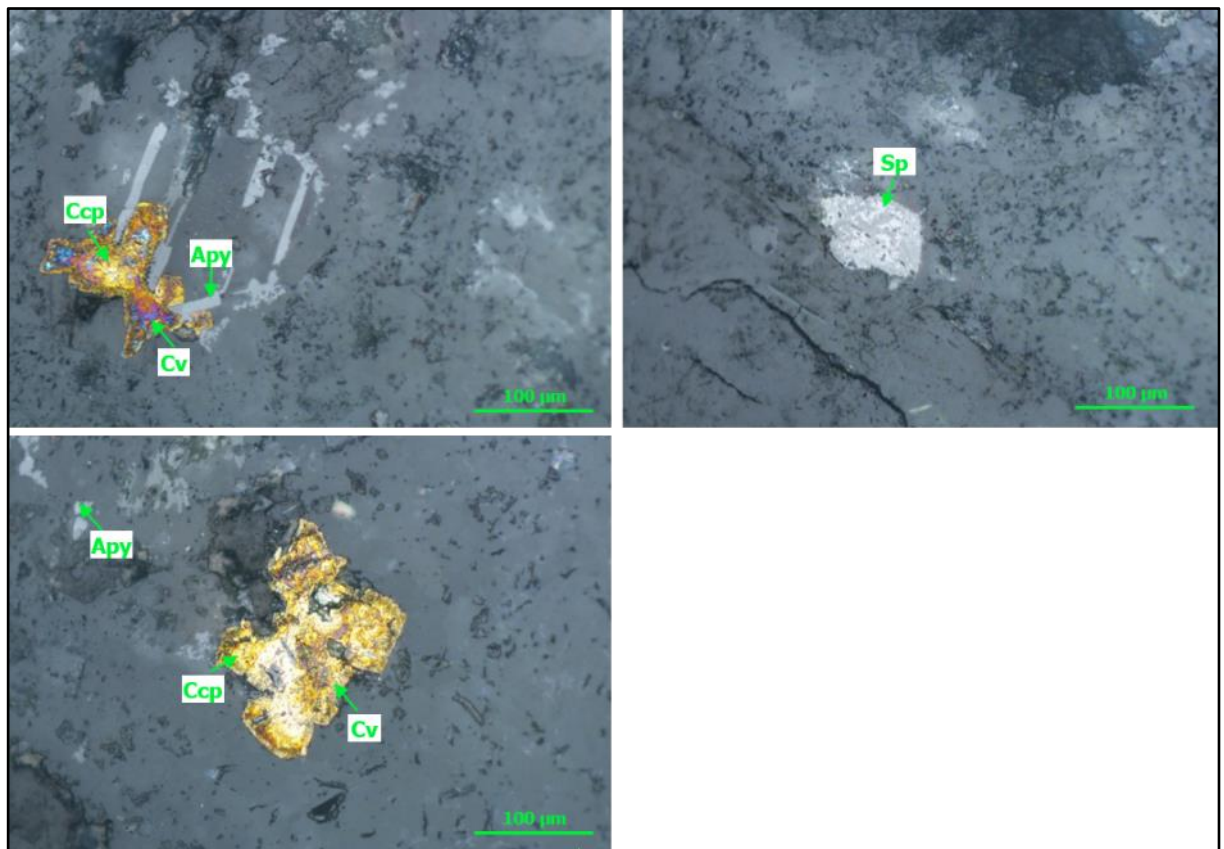
Foto :



Gambar E.1. Fotomikrograf yang memperlihatkan kehadiran mineral bijih kalkopirit, kovelit dan sfalerit pada sampel BLM001 melalui pengamatan mineragrafi.

No Sampel : BLM005		
Lokasi : Pit X PT TTN		
Tipe Mineralisasi : Epitermal Sulfidasi Rendah		
Mineral Bijih : Kalkopirit, Kovelit, Sfalerit, Arsenopirit		
Referensi : Marshall <i>et al.</i> (2004)		
Deskripsi Mineralogi Bijih (Ore Mineralogy Description)		
Komposisi Mineral <i>Competition of Mineral</i>	Simbol	Keterangan optik mineral <i>Description of Optical Mineralogy</i>
Kalkopirit	Ccp	Warna kuning terang, bentuk subhedral-anhedral, isotropik, tidak ada pleokroisme, ukuran mineral 0,1 - 0,3 mm.
Kovelit	Cv	Warna biru keunguan, bentuk subhedral-anhedral, anisotropik, tidak ada pleokroisme, ukuran mineral 0,02-0,03-0,05 mm.
Sfalerit	Sp	Warna putih keabu-abuan, bentuk subhedral-anhedral, isotropik, tidak ada pleokroisme, ukuran 0,03-0,1 mm.
Arsenopirit	Apy	Warna abu-abu terang, bentuk euhedral-subhedral, anisotropik kuat, tidak ada pleukorisme, ukuran 0,03-0,2 mm

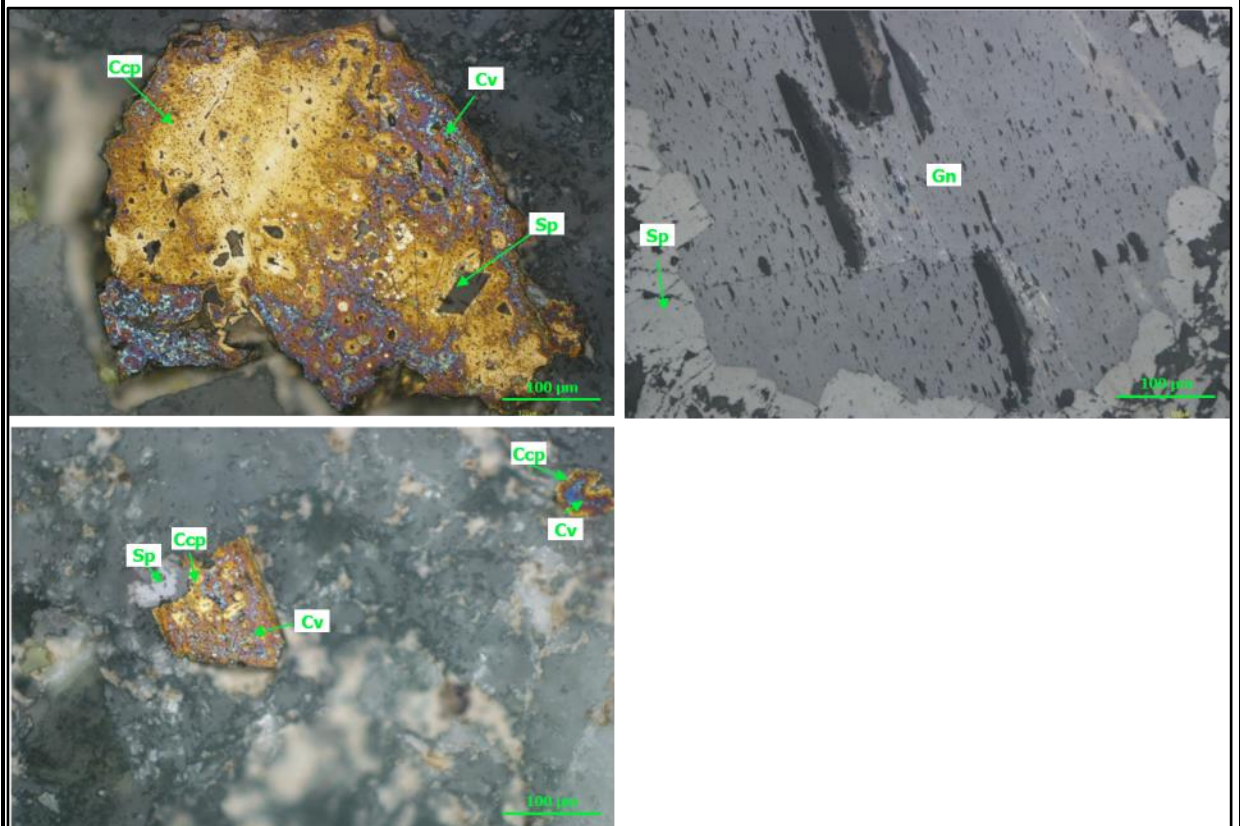
Foto :



Gambar E.2. Fotomikrograf yang memperlihatkan kehadiran mineral bijih pirit, kalkopirit, kovelit, sfalerit, dan arsenopirit pada sampel BLM005 melalui pengamatan mineragrafi.

No Sampel : BLM007		
Lokasi : Pit X, PT TTN		
Tipe Mineralisasi : Epitermal Sulfidasi Rendah		
Mineral Bijih : Kalkopirit, Kovelit, Sfalerit, Pirit		
Referensi : Marshall <i>et al.</i> (2004)		
Deskripsi Mineralogi Bijih (<i>Ore Mineralogy Description</i>)		
Komposisi Mineral <i>Compositon of Mineral</i>	Simbol	Keterangan optik mineral <i>Description of Optical Mineralogy</i>
Kalkopirit	Ccp	Warna kuning, bentuk subhedral-anhedral, isotropik, tidak ada pleokroisme, ukuran mineral 0,1 - 0,3 mm.
Sfalerit	Sp	Warna abu-abu cerah, bentuk subhedral-anhedral, isotropik, tidak ada pleokroisme, ukuran 0,07-0,4 mm.
Galena	Gn	Warna abu-abu, bentuk euhedral-subhedral, terdapat <i>triangular pit</i> , anisotropik, tidak memiliki pleokroisme, ukuran mineral 0,7 mm.
Kovelit	Cv	Warna biru sampai ungu, bentuk subhedral-anhedral, anisotropik, tidak ada pleokroisme, ukuran mineral 0,1-0,3 mm.

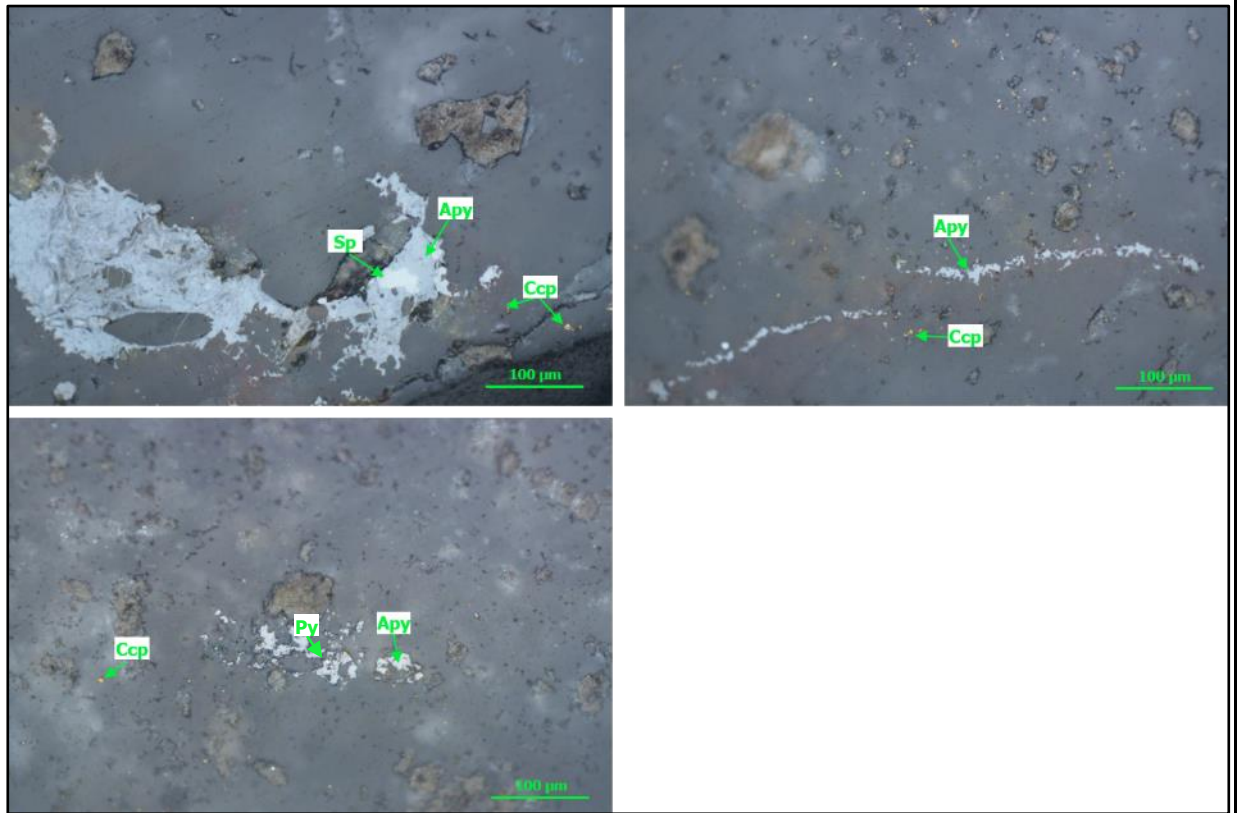
Foto :



Gambar E.3. Fotomikrograf yang memperlihatkan kehadiran mineral bijih kalkopirit, galena, sfalerit, dan kovelit pada sampel BLM007 melalui pengamatan mineragrafi.

No Sampel : BLM012		
Lokasi : Pit X, PT TTN		
Tipe Mineralisasi : Epitermal Sulfidasi Rendah		
Mineral Bijih : Kalkopirit, Arsenopirit, Sfalerit, Pirit		
Referensi : Marshall et al. (2004)		
Deskripsi Mineralogi Bijih (Ore Mineralogy Description)		
Komposisi Mineral Competition of Mineral	Simbol	Keterangan optik mineral Description of Optical Mineralogy
Kalkopirit	Ccp	Warna kuning cerah, bentuk subhedral-anhedral, aisotropik, tidak ada pleokroisme, <i>disseminated</i> , ukuran mineral 0,01 mm.
Arsenopirit	Apy	Warna abu-abu kebiruan, bentuk subhedral, anisotropik kuat, tidak ada pleukorisme, berbentuk urat, ukuran 0,1-0,9 mm
Sfalerit	Sp	Warna abu-abu keputihan, bentuk subhedral-anhedral, isotropik, tidak ada pleokroisme, ukuran 0,03-0,05 mm.
Pirit	Py	Warna kuning pucat, bentuk euhedral-subhedral, isotropik, tidak memiliki pleokroisme, ukuran mineral 0,01 mm.

Foto



Gambar E.4. Fotomikrograf yang memperlihatkan kehadiran mineral bijih kalkopirit, arsenopirit, sfalerit dan pirit pada sampel BLM012 melalui pengamatan mineragrafi.

No Sampel : BLM014
Lokasi : Pit X, PT TTN

Tipe Mineralisasi : Epitermal Sulfidasi Rendah

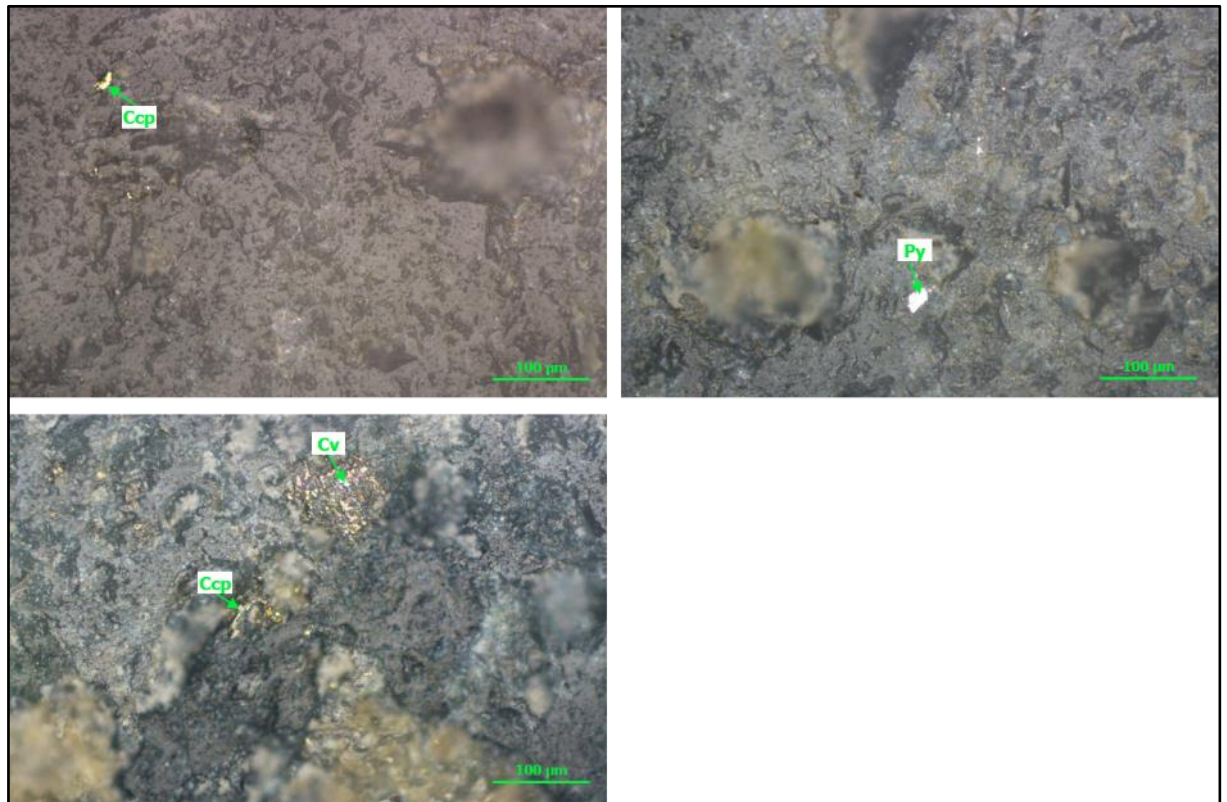
Mineral Bijih : Kalkopirit, Pirit, Covelit

Referensi : Marshall *et al.* (2004)

Deskripsi Mineralogi Bijih (Ore Mineralogy Description)

Komposisi Mineral <i>Compositon of Mineral</i>	Simbol	Keterangan optik mineral <i>Description of Optical Mineralogy</i>
Kalkopirit	Ccp	Warna kuning cerah, bentuk subhedral-anhedral, anisotropik, tidak ada pleokroisme, <i>disseminated</i> , ukuran mineral 0,01-0,1 mm.
Pirit	Py	Warna kuning pucat, bentuk euhedral-subhedral, isotropik, tidak memiliki pleokroisme, ukuran mineral 0,05 mm.
Kovelit	Cv	Warna biru keunguan, bentuk subhedral-anhedral, anisotropik, tidak ada pleokroisme, ukuran mineral 0,1 mm.

Foto :



Gambar E.5. Fotomikrograf yang memperlihatkan kehadiran mineral bijih kalkopirit, kovelit, arsenopirit, pirit, dan sfalerit pada sampel BLM014 melalui pengamatan mineragrafi.

No Sampel : BLM019
Lokasi : Pit X, PT TTN

Tipe Mineralisasi : Epitermal Sulfidasi Rendah

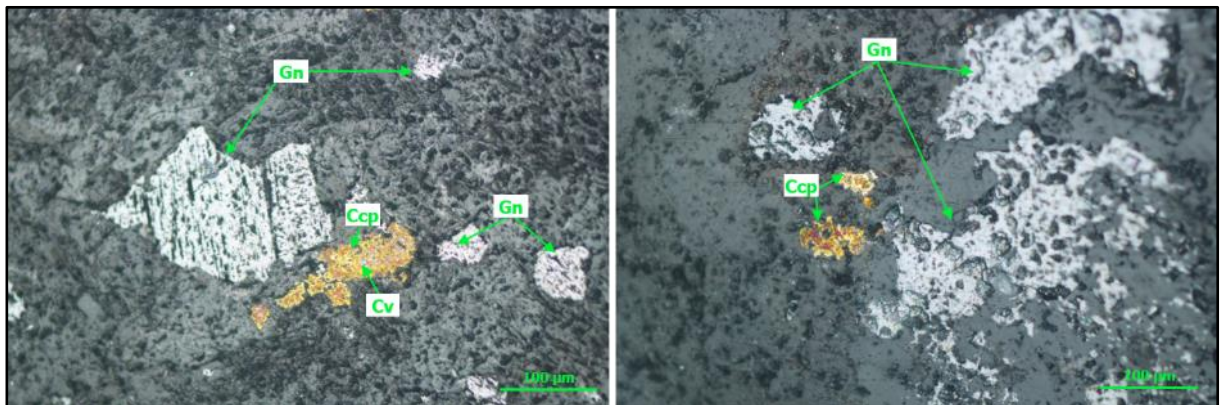
Mineral Bijih : Galena, Kovelit, Kalkopirit.

Referensi : Marshall *et al.* (2004)

Deskripsi Mineralogi Bijih (*Ore Mineralogy Description*)

Komposisi Mineral <i>Compositon of Mineral</i>	Simbol	Keterangan optik mineral <i>Description of Optical Mineralogy</i>
Galena	Gn	Warna putih keabu-abuan, bentuk euhedral-subhedral, terdapat striasi, anisotropik, tidak memiliki pleokroisme, ukuran mineral 0,05-0,3 mm.
Kalkopirit	Ccp	Warna kuning cerah, bentuk subhedral-anhedral, isotropik, tidak ada pleokroisme, ukuran mineral 0,03-0,2 mm.
Kovelit	Cv	Warna biru keunguan, bentuk subhedral-anhedral, anisotropik, tidak ada pleokroisme, ukuran mineral 0,01-0,03 mm.

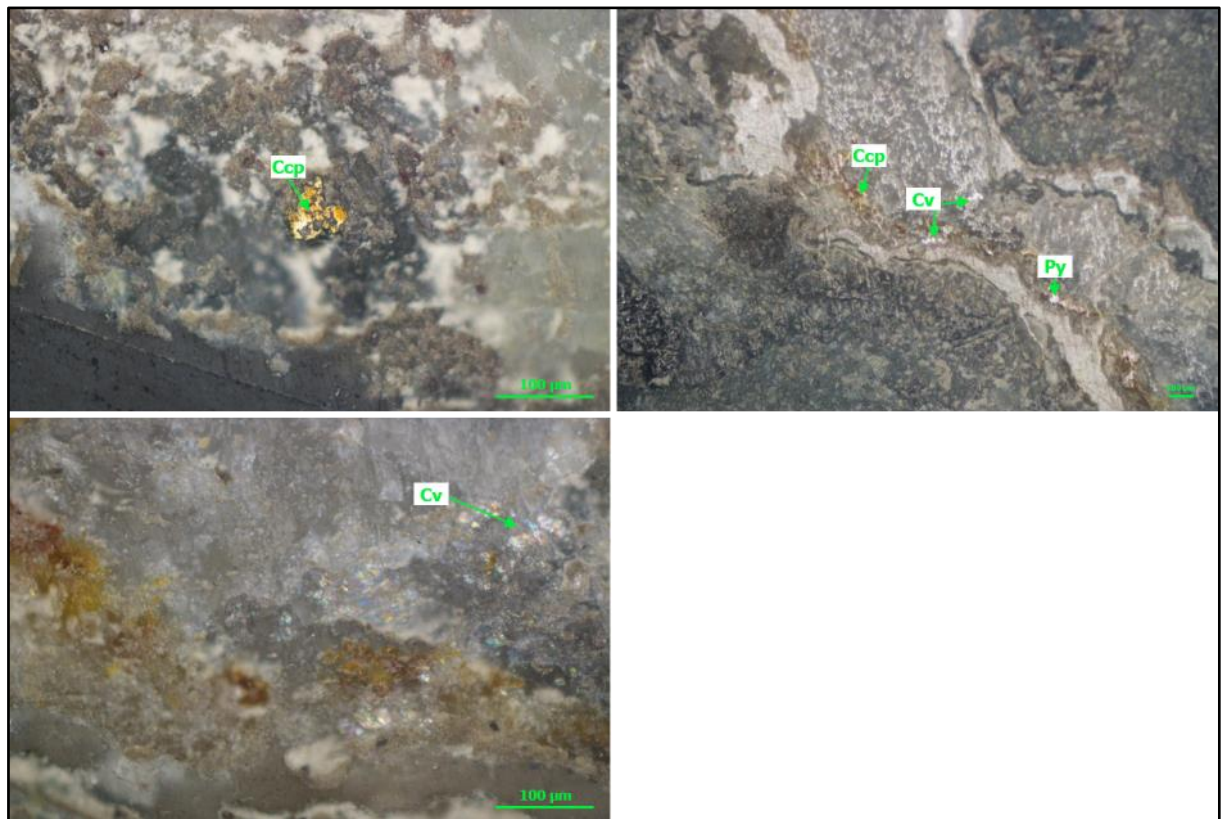
Foto :



Gambar E.6. Fotomikrograf yang memperlihatkan kehadiran mineral bijih galena, kalkopirit, kovelit dan pirit pada sampel BLM019 melalui pengamatan mineragrafi.

No Sampel : BLM028		
Lokasi : Pit X, PT TTN		
Tipe Mineralisasi : Epitermal Sulfidasi Rendah		
Mineral Bijih : Kalkopirit, Kovelit, dan Pirit		
Referensi : Marshall <i>et al.</i> (2004)		
Deskripsi Mineralogi Bijih (<i>Ore Mineralogy Description</i>)		
Komposisi Mineral <i>Compositon of Mineral</i>	Simbol	Keterangan optik mineral <i>Description of Optical Mineralogy</i>
Kalkopirit	Ccp	Warna kuning cerah, bentuk subhedral-anhedral, isotropik, tidak ada pleokroisme, ukuran mineral 0,1-0,6 mm.
Kovelit	Cv	Warna biru keunguan, bentuk subhedral-anhedral, anisotropik, tidak ada pleokroisme, ukuran mineral 0,01-0,1 mm.
Pirit	Py	Warna kuning pucat, bentuk euhedral-subhedral, isotropik, tidak memiliki pleokroisme, ukuran mineral 0,01 mm.

Foto :



Gambar E.7. Fotomikrograf yang memperlihatkan kehadiran mineral bijih kalkopirit, kovelit dan pirit pada sampel BLM028 melalui pengamatan mineragrafi.

No Sampel : BLM037
Lokasi : Pit X, PT TTN

Tipe Mineralisasi : Epitermal Sulfidasi Rendah

Mineral Bijih : Galena, Kovelit, Kalkopirit, Pirit

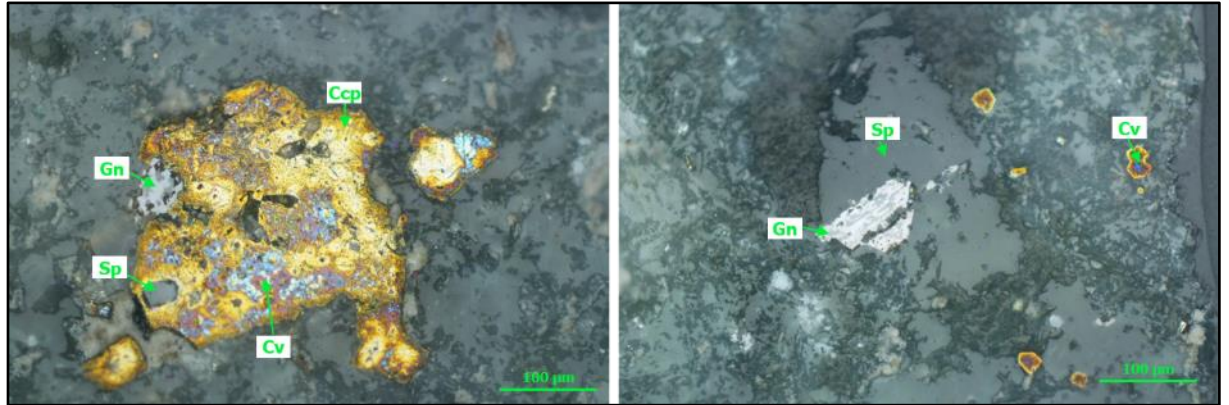
Referensi : Marshall *et al.* (2004)

Deskripsi Mineralogi Bijih (Ore Mineralogy Description)

Komposisi Mineral <i>Compositon of Mineral</i>	Simbol	Keterangan optik mineral <i>Description of Optical Mineralogy</i>
Kalkopirit	Ccp	Warna kuning cerah, bentuk subhedral-anhedral, isotropik, tidak ada pleokroisme, ukuran mineral 0,03-0,3 mm.
Galena	Gn	Warna putih keabu-abuan, bentuk euhedral-subhedral,, anisotropik, tidak memiliki pleokroisme, ukuran mineral 0,04-0,1 mm.

Kovelit	Cv	Warna biru sampai ungu, bentuk subhedral-anhedral, anisotropik, tidak ada pleokroisme, ukuran mineral 0,01-0,2 mm.
Sfalerit	Sp	Warna abu-abu gelap, bentuk subhedral-anhedral, isotropik, tidak ada pleokroisme, ukuran 0,05-0,4 mm.

Foto :



Gambar E.8. Fotomikrograf yang memperlihatkan kehadiran mineral bijih kalkopirit, galena, kovelit, dan sfalerit pada sampel BLM037 melalui pengamatan mineragrafi.

No Sampel : BLM084
Lokasi : Pit X, PT TTN

Tipe Mineralisasi : Epitermal Sulfidasi Rendah

Mineral Bijih : Kalkopirit, Arsenopirit, Galena, dan Kovelit

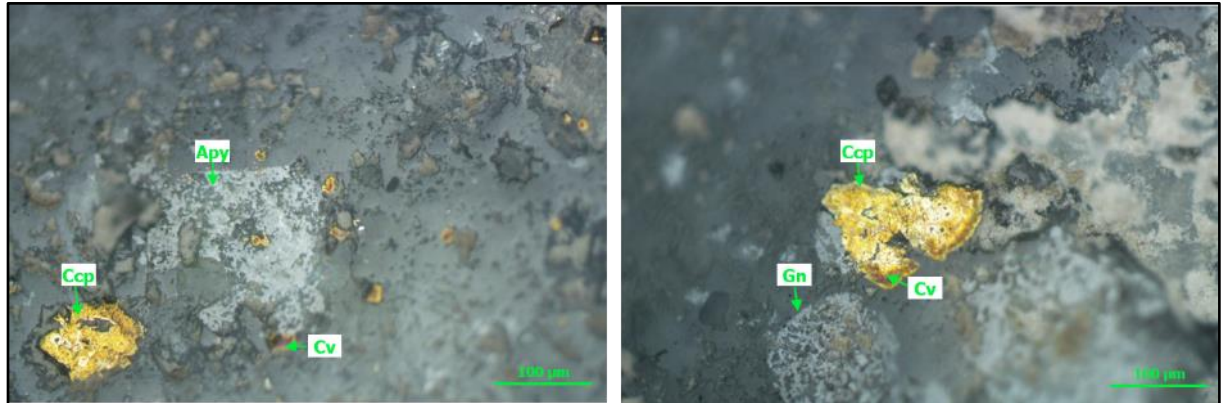
Referensi : Marshall *et al.* (2004)

Deskripsi Mineralogi Bijih (Ore Mineralogy Description)

Komposisi Mineral <i>Competition of Mineral</i>	Simbol	Keterangan optik mineral <i>Description of Optical Mineralogy</i>
Kalkopirit	Ccp	Warna kuning cerah, bentuk subhedral-anhedral, isotropik, tidak ada pleokroisme, ukuran mineral 0,1-0,3 mm.
Arsenopirit	Apy	Warna abu-abu terang, bentuk euhedral-subhedral, anisotropik kuat, tidak ada pleukorisme, ukuran 0,01-0,3 mm

Galena	Gn	Warna abu-abu terang, bentuk euhedral-subhedral, terdapat <i>triangular pit</i> , anisotropik, tidak memiliki pleokroisme, ukuran mineral 0,05-0,3 mm.
Kovelit	Cv	Warna biru keunguan, bentuk subhedral-anhedral, anisotropik, tidak ada pleokroisme, ukuran mineral 0,04-0,2 mm.

Foto :



Gambar E.9. Fotomikrograf yang memperlihatkan kehadiran mineral bijih kalkopirit, galena, arsenopirit, dan kovelit pada sampel BLM084 melalui pengamatan mineragrafi.

No Sampel : BLM0092
Lokasi : Pit X, PT TTN

Tipe Mineralisasi : Epitermal Sulfidasi Rendah

Mineral Bijih : Kalkopirit, Galena, dan Kovelit

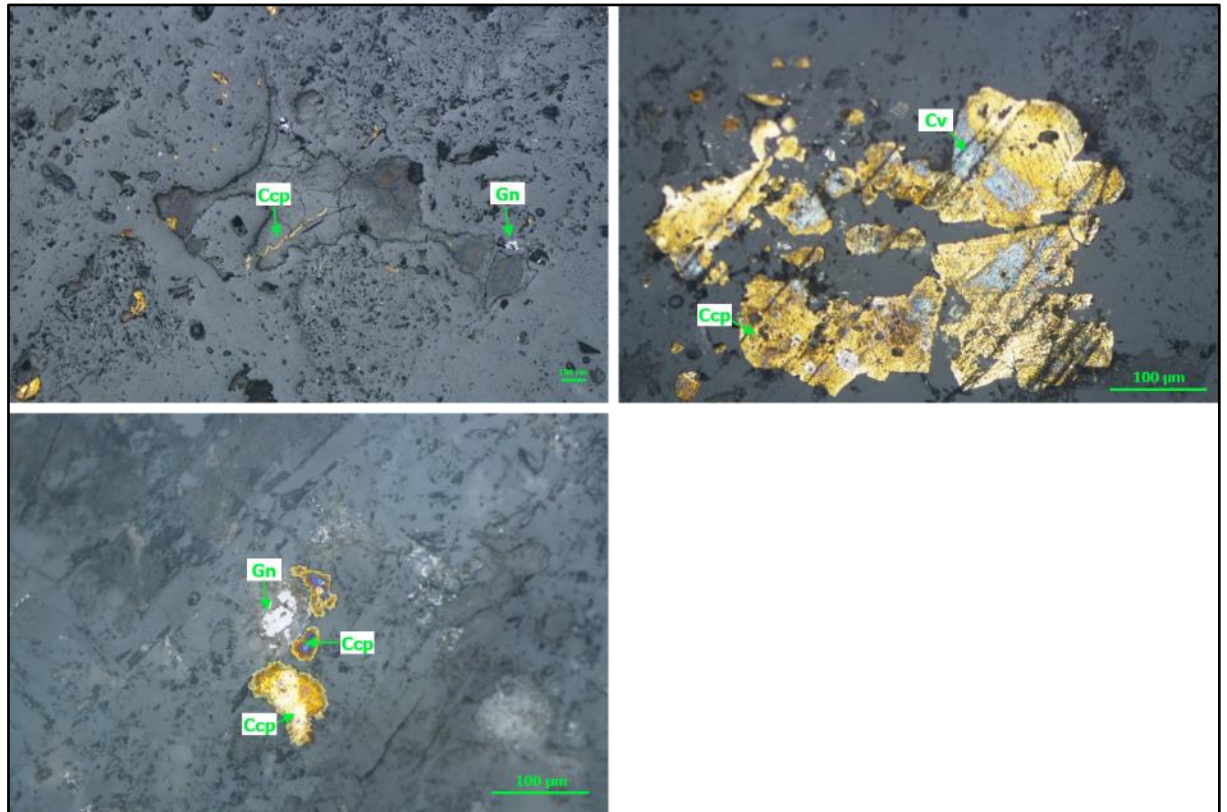
Referensi : Marshall *et al.* (2004)

Deskripsi Mineralogi Bijih (*Ore Mineralogy Description*)

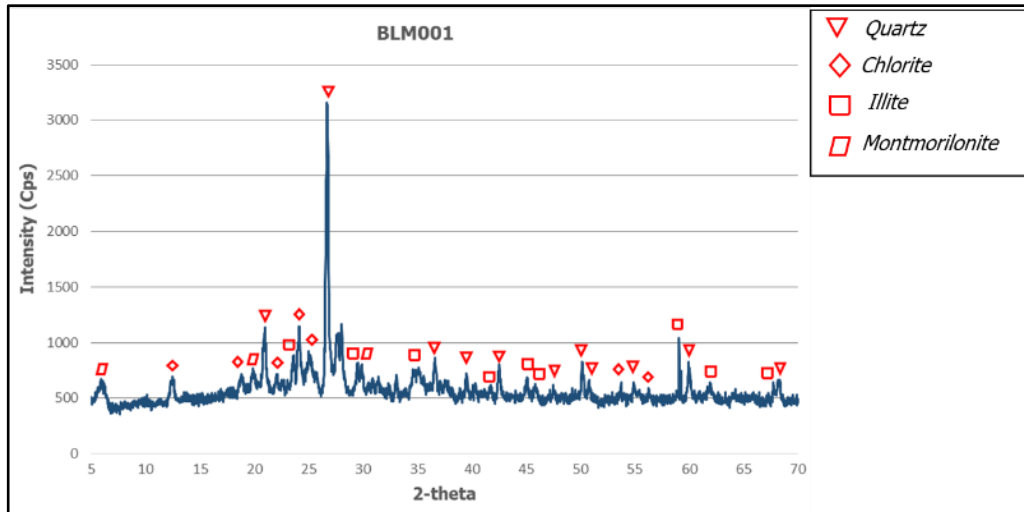
Komposisi Mineral <i>Competition of Mineral</i>	Simbol	Keterangan optik mineral <i>Description of Optical Mineralogy</i>
Kalkopirit	Ccp	Warna kuning cerah, bentuk subhedral-anhedral, isotropik, tekstur urat (<i>open space filling</i>), tidak ada pleokroisme, ukuran mineral 0,05-0,4 mm.
Galena	Gn	Warna putih keabu-abuan bentuk euhedral-subhedral, anisotropik, tidak memiliki pleokroisme, ukuran mineral 0,05-0,09 mm.

Kovelit	Cv	Warna biru sampai ungu, bentuk subhedral-anhedral, anisotropik, tidak ada pleokroisme, ukuran mineral 0,04-0,1 mm.
----------------	-----------	--

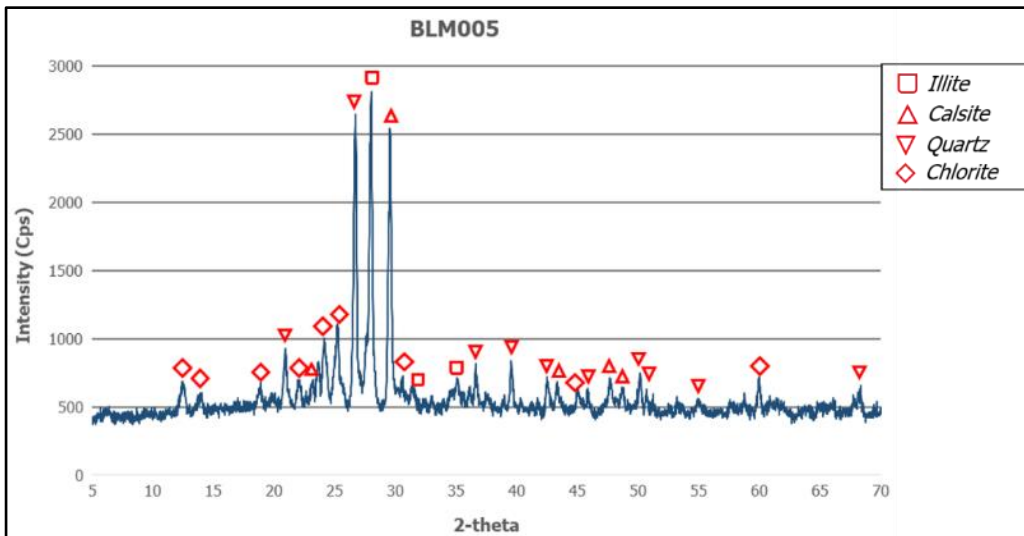
Foto :



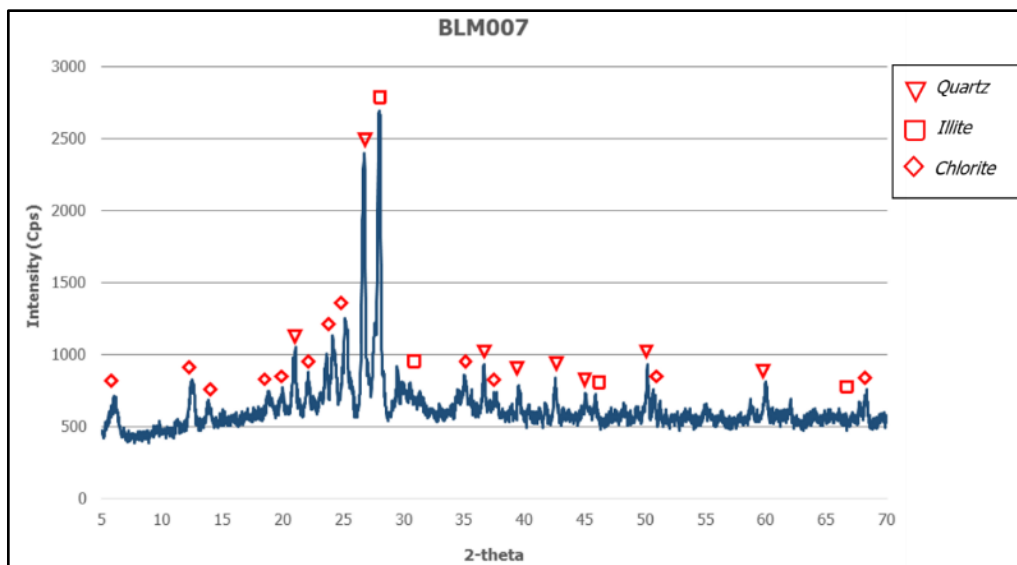
Gambar E.10. Fotomikrograf yang memperlihatkan kehadiran mineral bijih kalkopirit, galena dan kovelit pada sampel BLM092 melalui pengamatan mineragrafi.



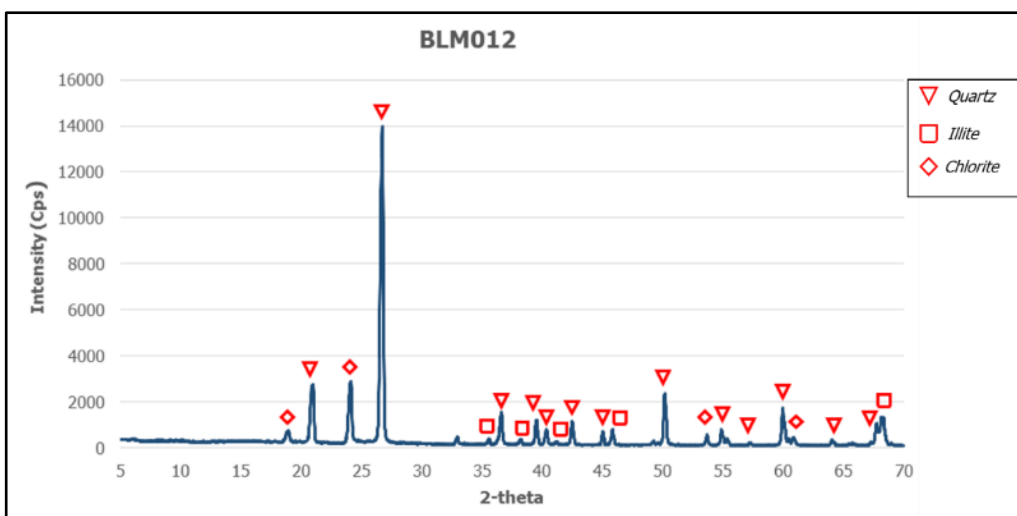
Mineral	Persentase (%)
Kuarsa	62,5
Klorit	21,3
Illit	14,8
Montmorillonit	1,5



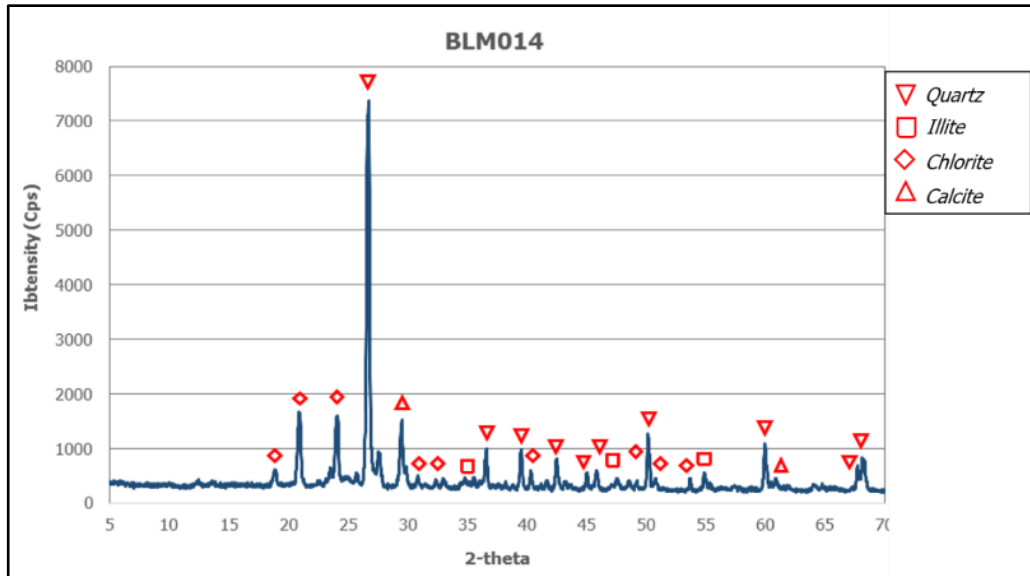
Mineral	Persentase (%)
Illit	35,4
Kalsit	30,9
Kuarsa	26,9
Klorit	6,7



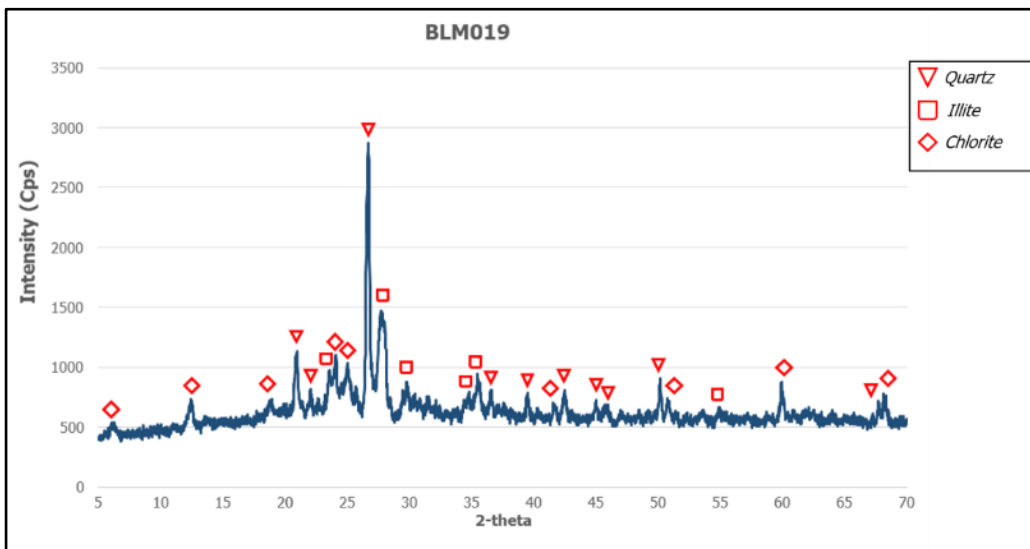
Mineral	Persentase (%)
Kuarsa	43,3
Klorit	30,2
Illit	26,5



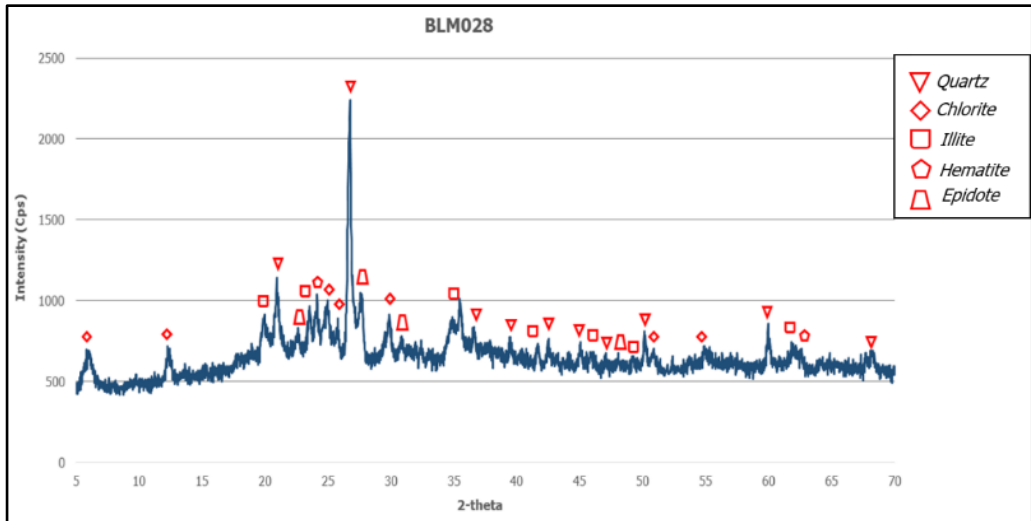
Mineral	Persentase (%)
Kuarsa	85,1
Illit	9,2
Klorit	5,6



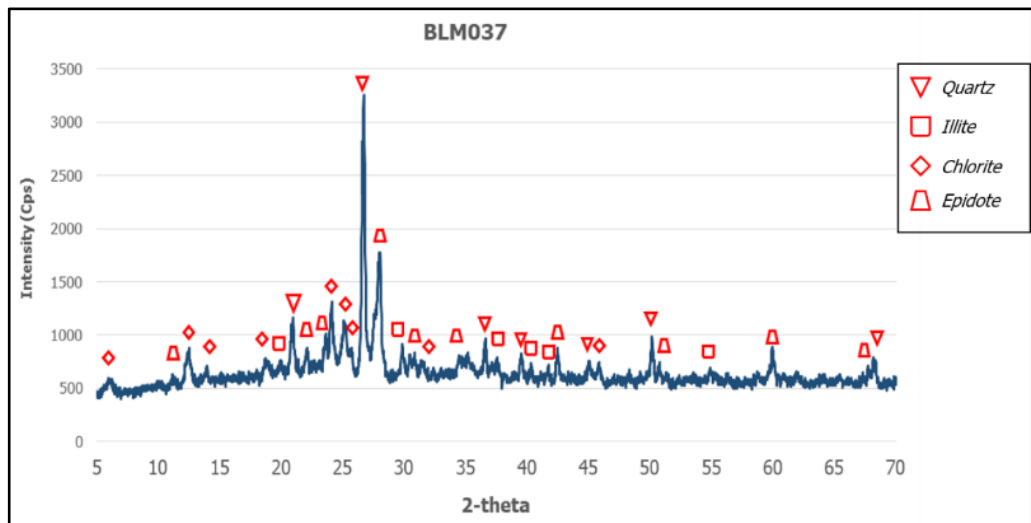
Mineral	Persentase (%)
Kuarsa	68,9
Illit	13,3
Klorit	9,9
Kalsit	7,9



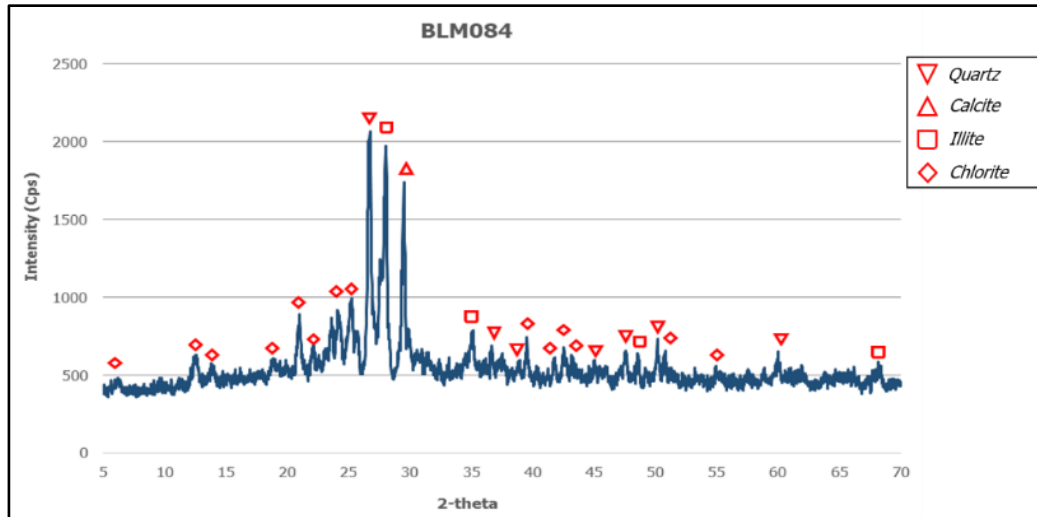
Mineral	Persentase (%)
Kuarsa	50,8
Illit	33,4
Klorit	15,8



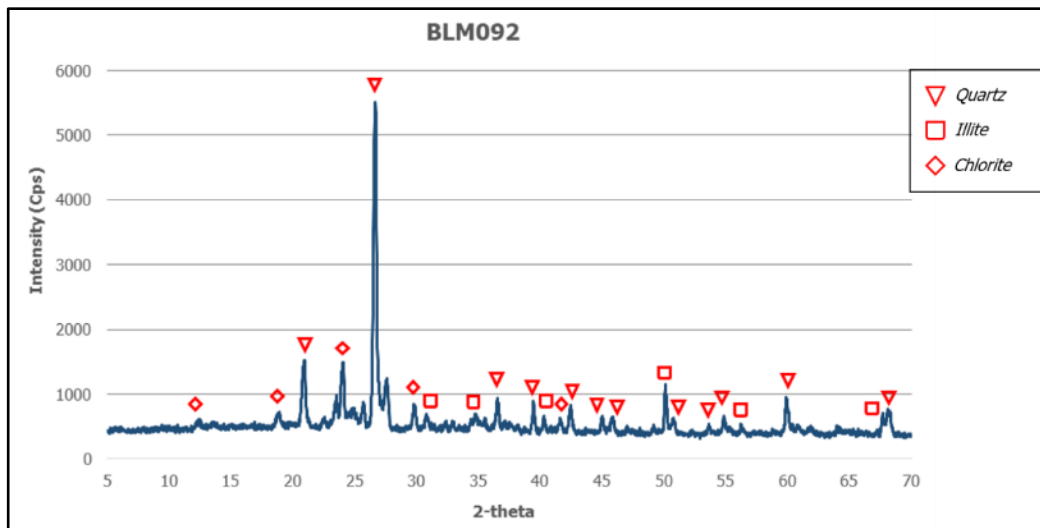
Mineral	Persentase (%)
Kuarsa	50,6
Klorit	27,4
Illit	16,8
Hematit	2,6
Epidot	2,5



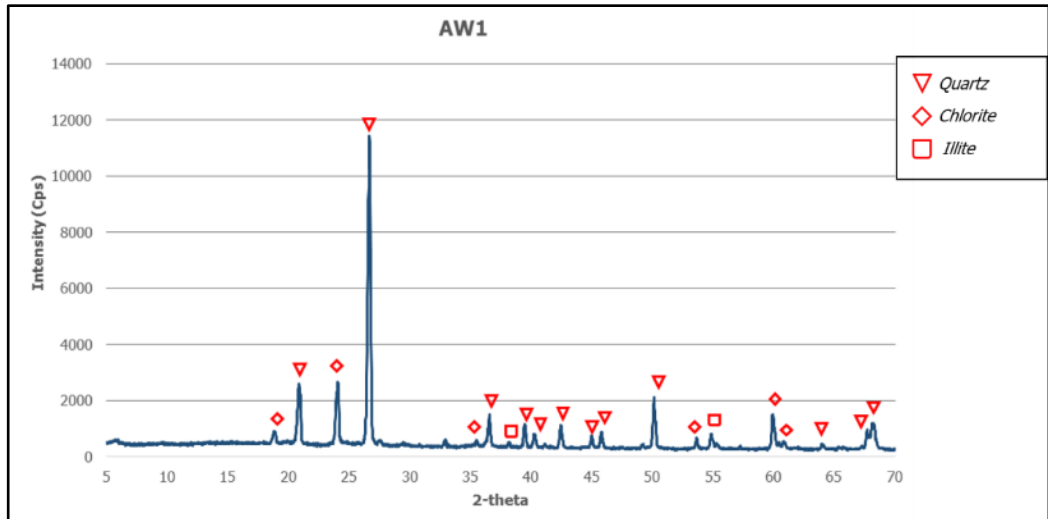
Mineral	Persentase (%)
Kuarsa	48,0
Illit	27,4
Klorit	17,9
Epidot	6,8



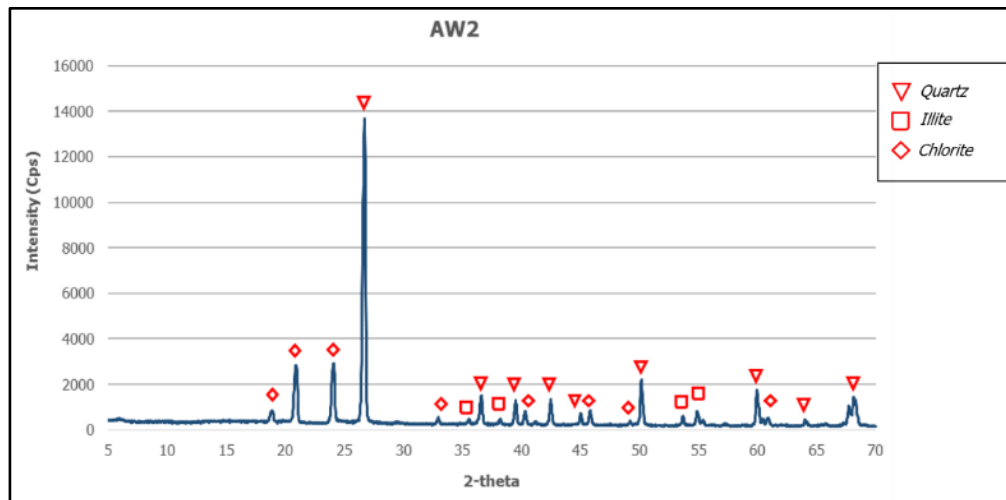
Mineral	Persentase (%)
Illit	31,4
Kuarsa	29,7
Kalsit	22,6
Klorit	16,2



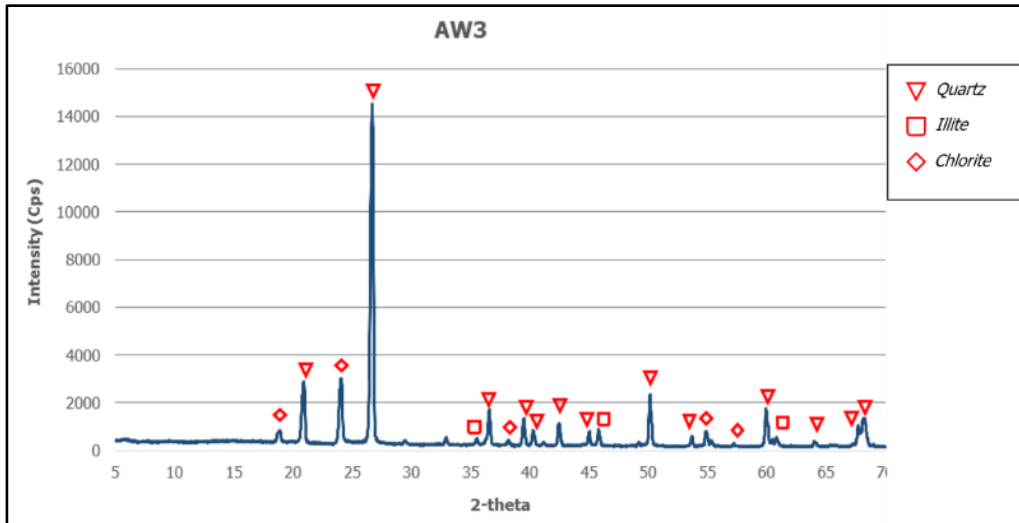
Mineral	Persentase (%)
Kuarsa	70,0
Illit	20,5
Klorit	9,4



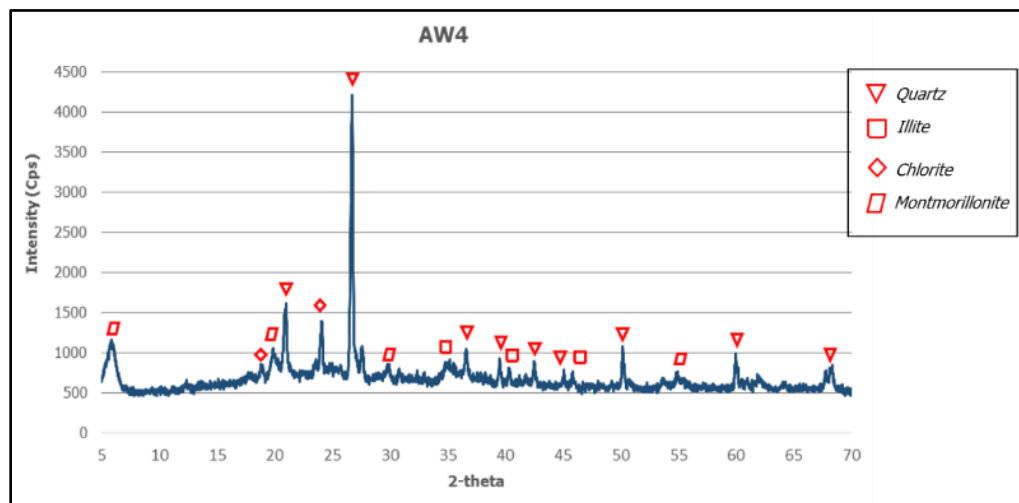
Mineral	Persentase (%)
Kuarsa	90,7
Klorit	4,8
Illit	4,5



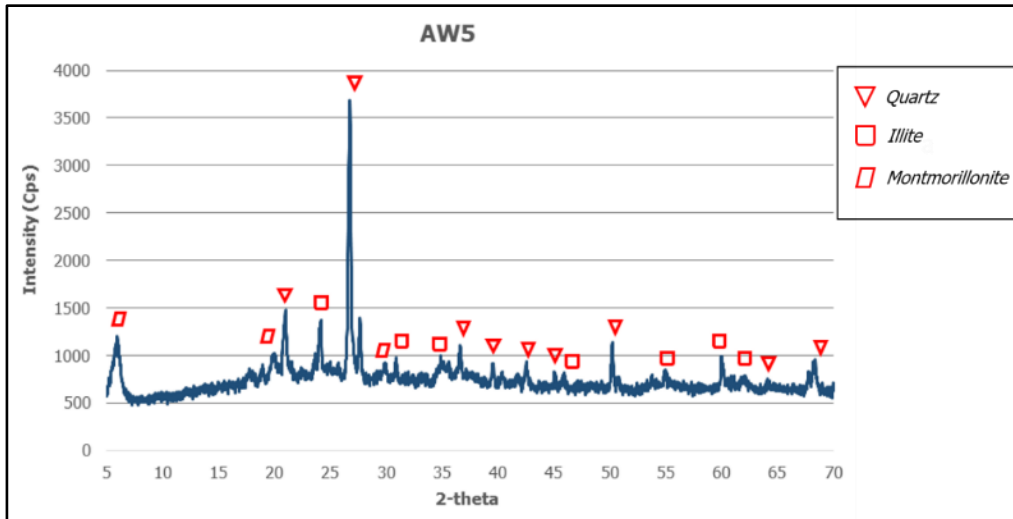
Mineral	Persentase (%)
Kuarsa	70
Illit	21,3
Klorit	8,7



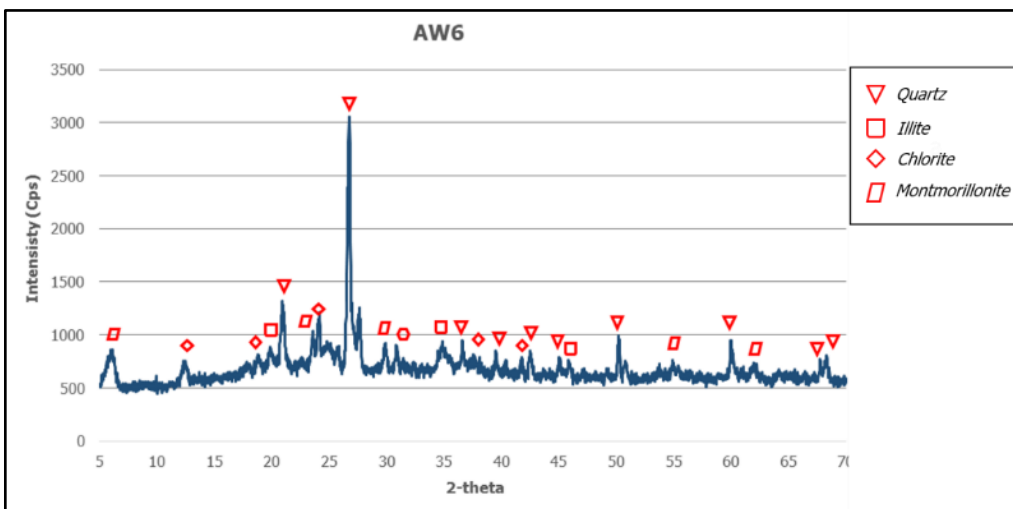
Mineral	Persentase (%)
Kuarsa	87,7
Illit	7,0
Klorit	5,3



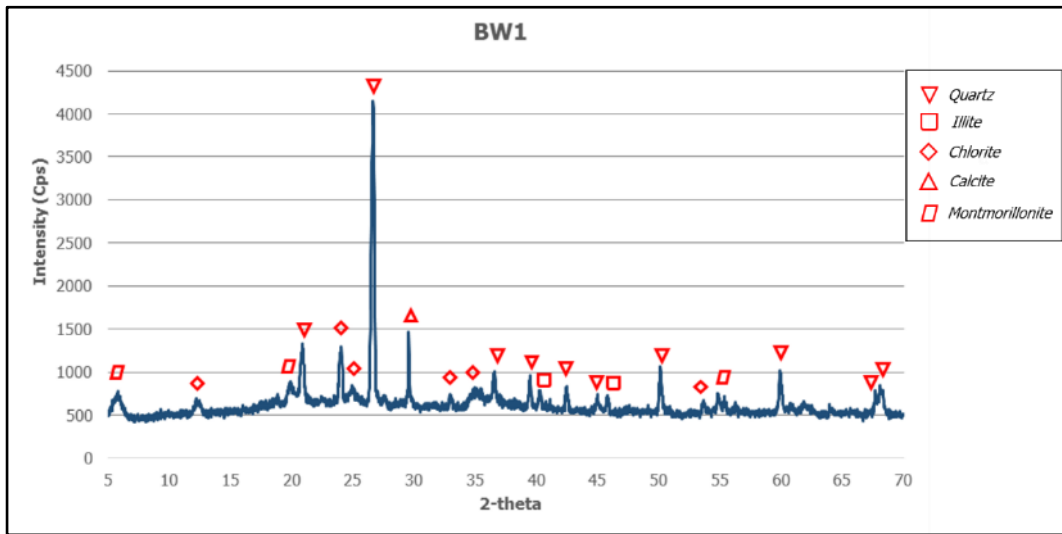
Mineral	Persentase (%)
Kuarsa	57,9
Illit	25,0
Klorit	11,8
Montmorillonit	5,3



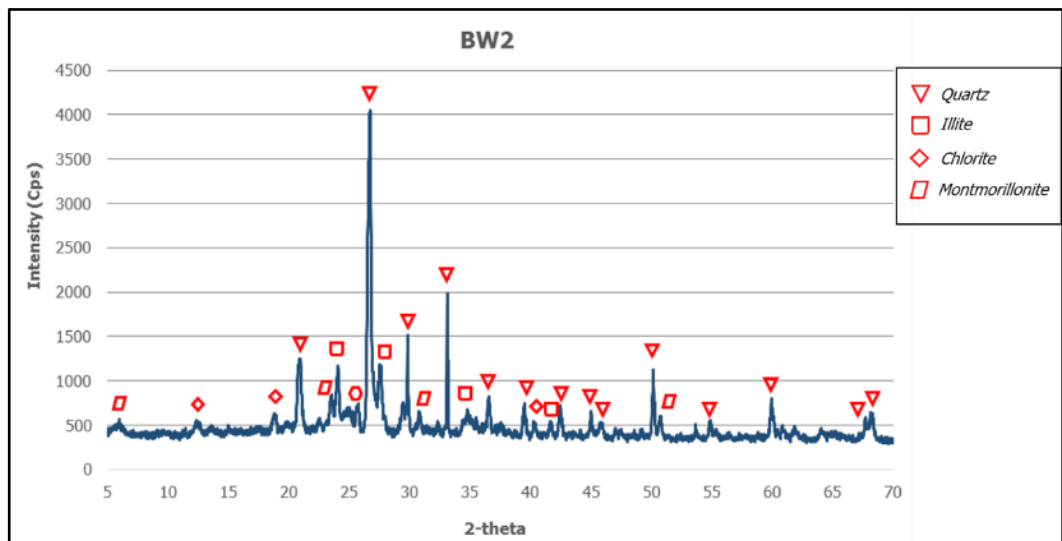
Mineral	Persentase (%)
Kuarsa	67,0
Illit	25,3
Montmorillonit	7,7



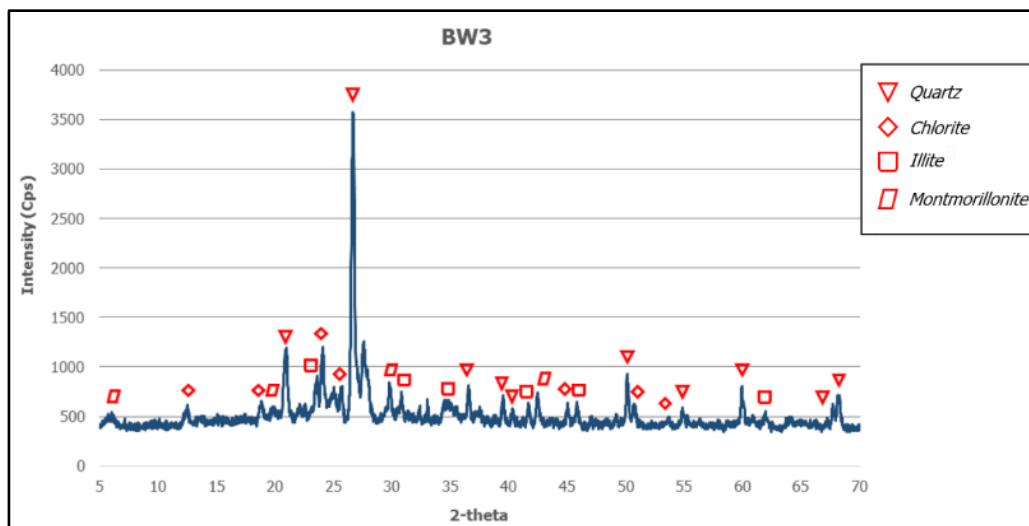
Mineral	Persentase (%)
Kuarsa	52,5
Illit	30,9
Klorit	13,3
Montmorillonit	3,3



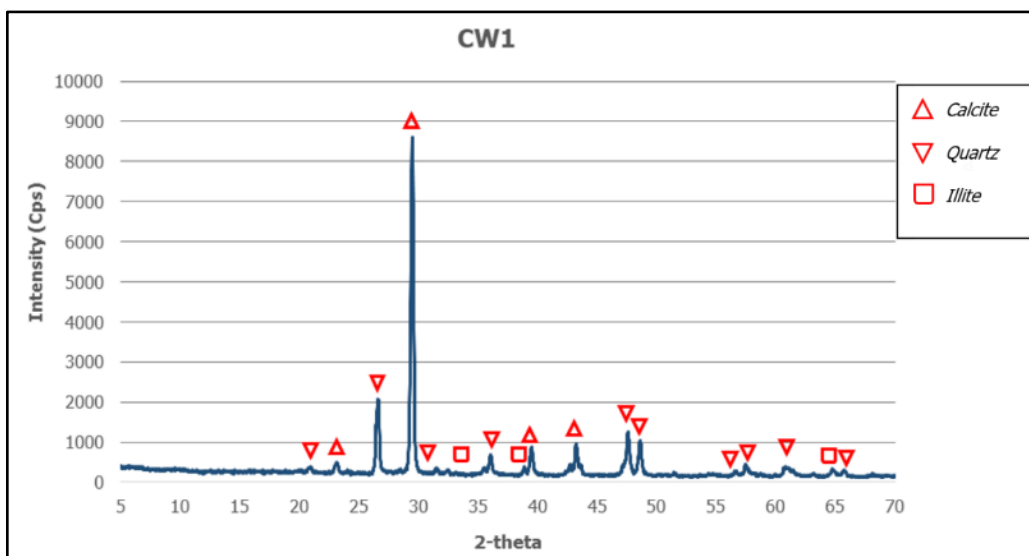
Mineral	Persentase (%)
Kuarsa	68,7
Illit	13,8
Klorit	9,9
Kalsit	5,2
Montmorillonit	2,4



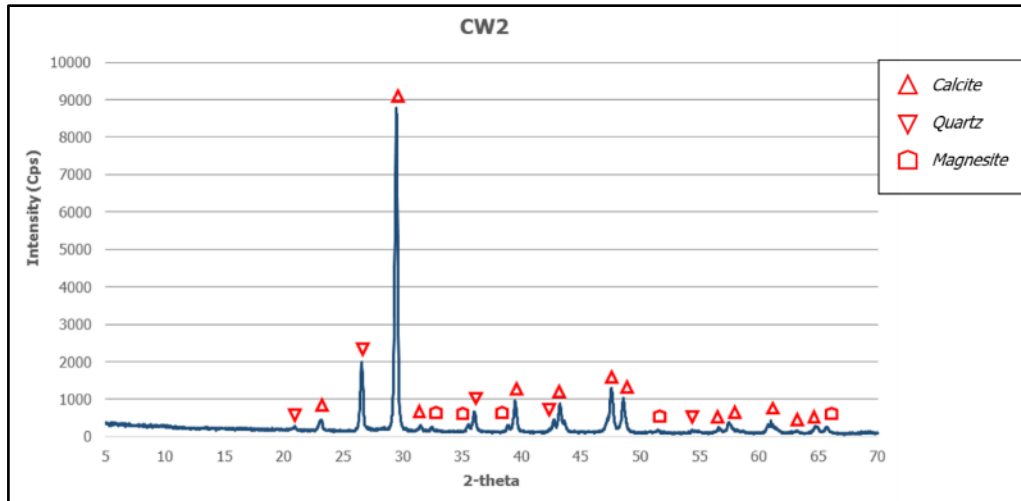
Mineral	Persentase (%)
Kuarsa	67,3
Illit	25,9
Klorit	6,1
Montmorillonit	0,7



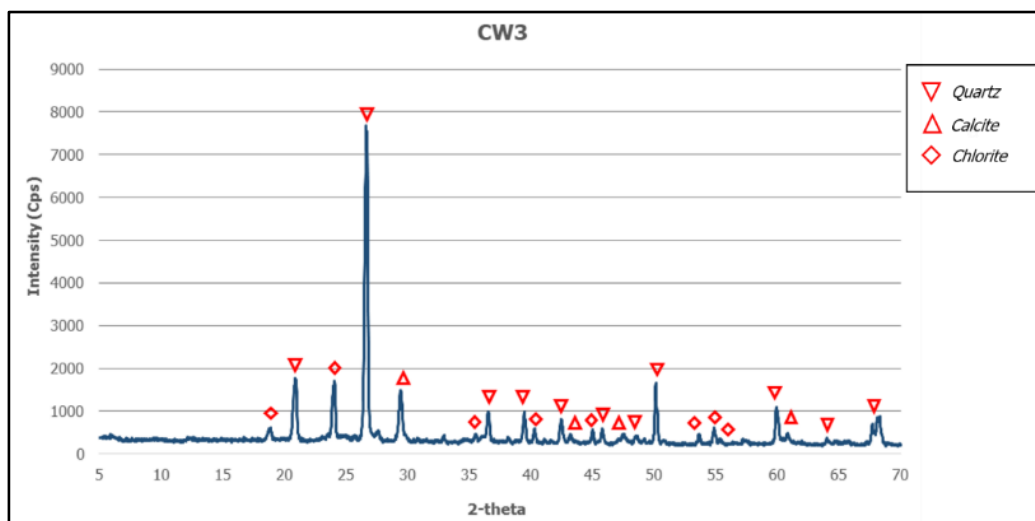
Mineral	Persentase (%)
Kuarsa	75,3
Klorit	12,3
Illit	11,4
Montmorillonit	1,0



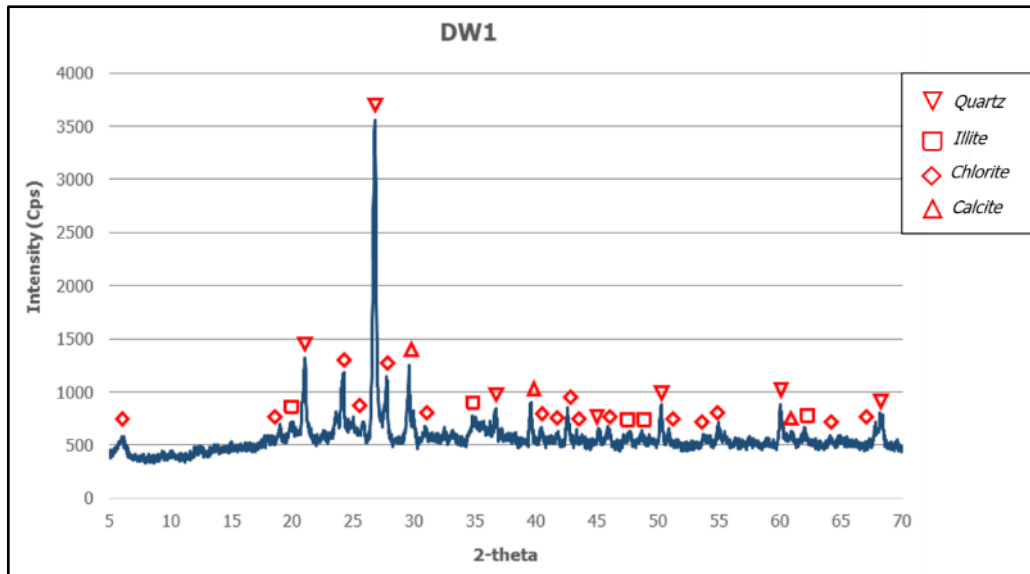
Mineral	Persentase (%)
Illit	86,0
Kuarsa	7,6
Kalsit	6,4



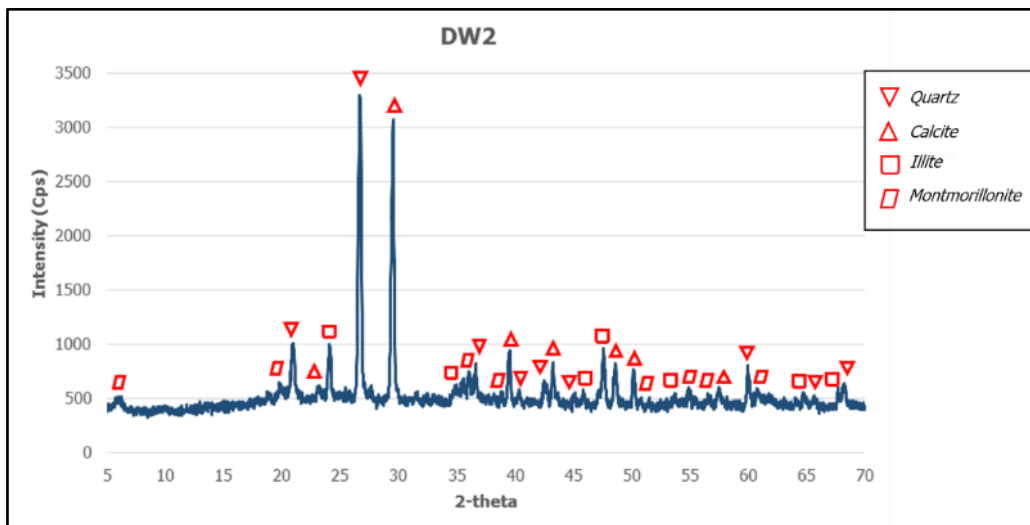
Mineral	Persentase (%)
Kalsit	80,3
Kuarsa	17,1
Magnesit	2,7



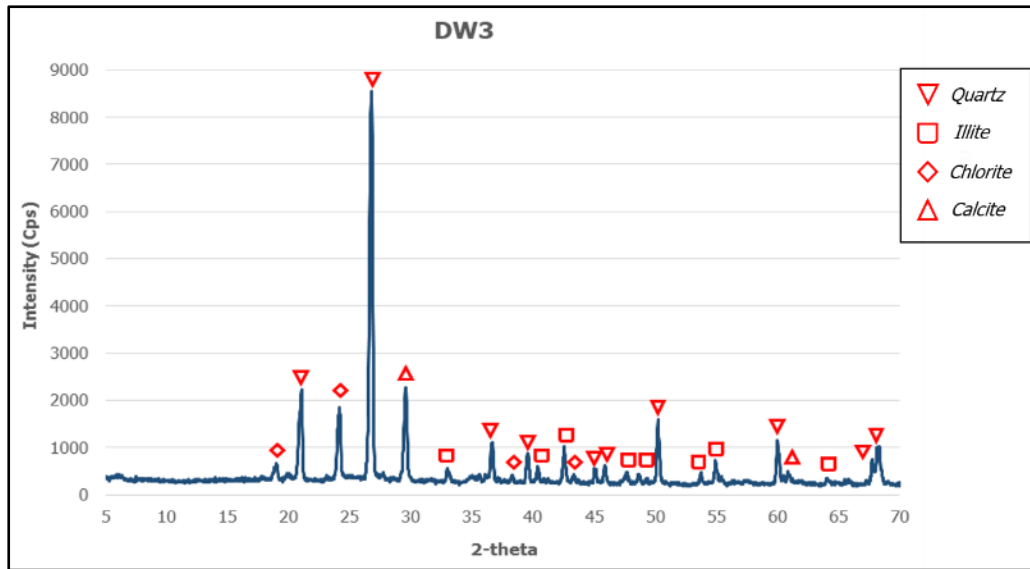
Mineral	Persentase (%)
Kuarsa	82,3
Kalsit	13,8
Klorit	3,9



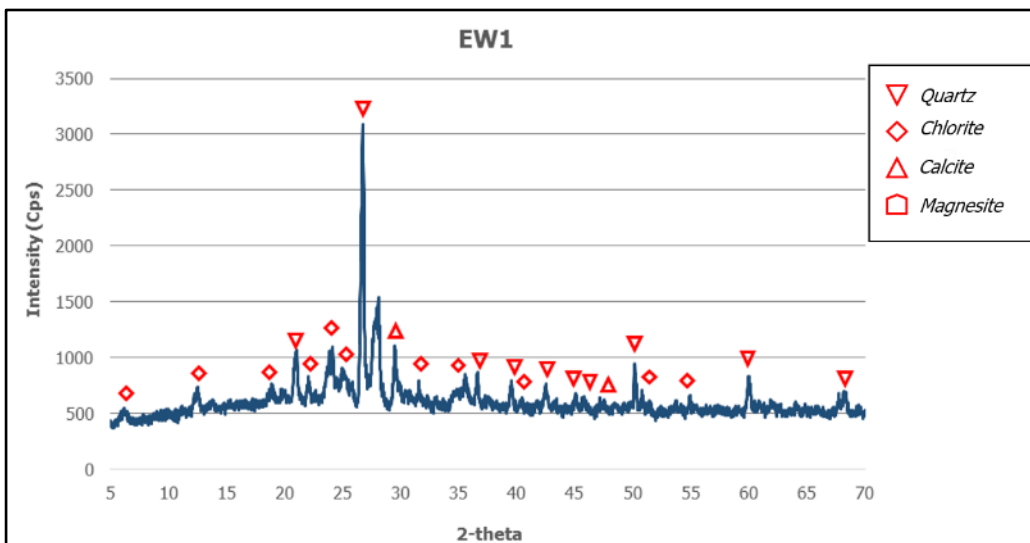
Mineral	Persentase (%)
Kuarsa	56,7
Illit	25
Klorit	12,4
Kalsit	5,9



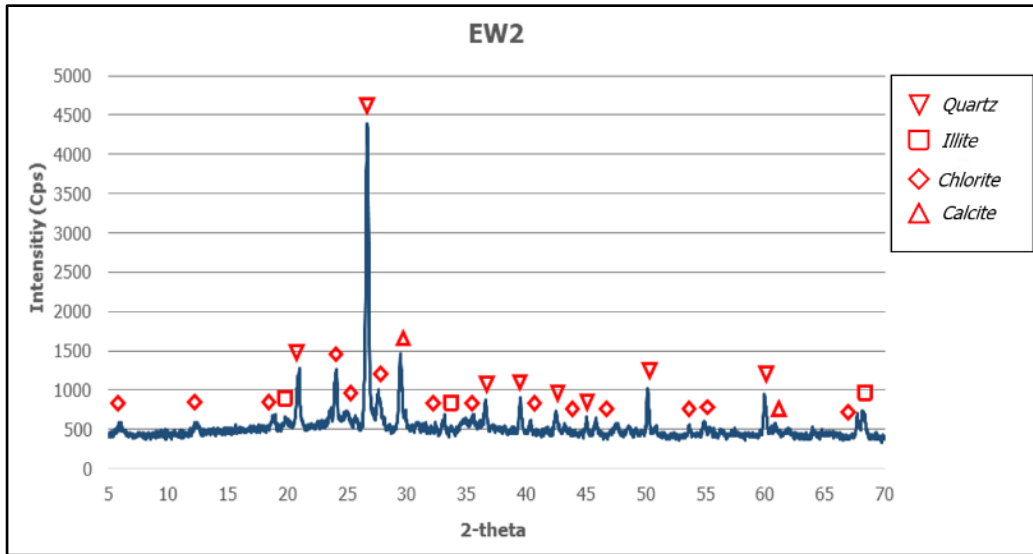
Mineral	Persentase (%)
Kuarsa	56,1
Kalsit	37,2
Illit	5,2
Montmorillonit	1,5



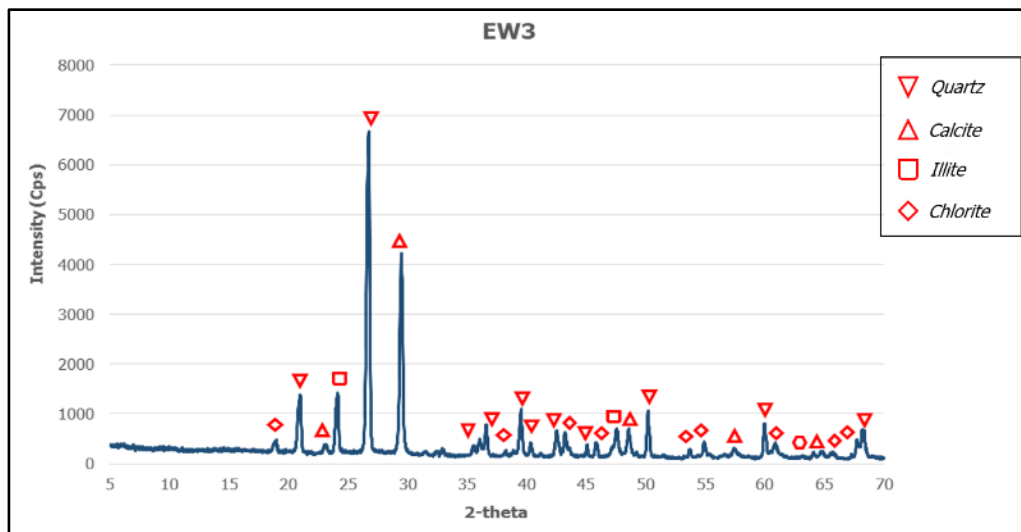
Mineral	Persentase (%)
Kuarsa	49,4
Illit	29,2
Klorit	12,7
Kalsit	8,7



Mineral	Persentase (%)
Kuarsa	58,7
Klorit	27,5
Kalsit	11,8
Magnesit	2,0



Mineral	Persentase (%)
Kuarsa	56,1
Illit	24,2
Klorit	10,5
Kalsit	9,2



Mineral	Persentase (%)
Kuarsa	53,1
Kalsit	34,9
Illit	9,4
Klorit	2,6

Tabel 1. Data analisis ASD sampel *mapping*

Field_ID	X	Y	Z	Assemblage Alteration	Min1 Interp	Min2 Interp	Min3 Interp	Oxide Interp
BLM001	734716	172571	60	Smc-III	Smc	III		
BLM002	734716	172562		Car-Smc	Car	Smc		
BLM003	734710	172545.9	19	Smc-III	Smc	III		
BLM004	734711	172539.9	19.2	Chl-Smc	Chl	Smc		
BLM005	734711	172532.3	18.8	Chl-Smc	Chl	Smc		
BLM006	734711.2	172530.2	18.8	Chl-Smc	Chl	Smc		
BLM007	734710.9	172528.2	18.6	Chl-Smc	Chl	Smc		
BLM008	734711	172525.6	18.7	Kpx-Smc	Kpx	Smc		
BLM009	734711	172520.8	18.6	Chl-Smc	Chl	Smc		
BLM010	734710.6	172518.4	18.4	Car-Smc	Car	Smc		
BLM011	734710.4	172517.5	18.4	Smc-Chl	Smc	Chl	III	
BLM012	734710.1	172515.4	18.4	Smc-III	Smc	III		
BLM013	734710.2	172512.8	18.5	Chl-III	Chl	III	Smc	
BLM014	734710.1	172508.2	18.5	III-Kpx	III	Kpx		
BLM015	734708.8	172503.3	18.4	Smc-III	Smc	III		
BLM016	734707.2	172494.3	18.9	Kpx-Smc	Kpx	Smc		
BLM017	734704.5	172484.7	19.1	Car	Car	pfre		
BLM018	734703.5	172477	18.6	Car	Car	Pre		
BLM019	734701.2	172470.9	18.1	Car-Smc	Car	Smc		
BLM020	734700.1	172466.1	18.4	Car-Smc	Car	Smc		
BLM021	734699.4	172463.5	18.2	Chl-III	Chl	III	Car	
BLM022	734698.1	172458.4	18.3	Chl-Smc	Chl	Smc		
BLM023	734702	172460		Chl-Smc	Chl	Smc		
BLM024	734697	172444		Chl-Smc	Chl	Smc		
BLM025	734625	172675		Car	Car			
BLM026	734634	172675		III-Smc	III	Smc		
BLM027	734627.2	172665.6	18.9	III-Smc	III	Smc		
BLM028	734630.1	172665.9	18.8	III-Kpx	III	Kpx		
BLM029	734632.5	172666	18.8	Kwx	Kwx			
BLM030	734638.4	172666.9	18.8	Chl	Chl			
BLM031	734646.6	172667.3	19.8	III-Smc	III	Smc		
BLM032	734649	172666.5	19.2	Chl-Smc	Chl	Smc		
BLM033	734653.2	172665.2	19	Smc-III	Smc	III		
BLM034	734655.2	172663.9	18.6	Car-Smc	Car	Smc		
BLM035	734657.1	172663.1	18.5	Smc-Chl	Smc	Chl		
BLM036	734661.4	172660.1	18.4	Smc-Non	Smc	Non		
BLM037	734662.3	172658.8	18.2	III-Smc	III	Smc		
BLM038	734664.4	172655.8	18.1	Car-Smc	Car	Smc		Goe
BLM039	734668.8	172650.6	19	Smc-III	Smc	III		
BLM040	734671.3	172648.4	19.2	Chl-Smc	Chl	Smc		
BLM041	734672.7	172646.1	18.8	Chl-Car	Chl	Car	Smc	
BLM042	734674.2	172644.2	18.6	III-Smc	III	Smc	Goe	
BLM043	734675	172642.1	18.4	Chl-Smc	Chl	Smc		
BLM044	734676.7	172639.8	18.5	Car	Car			Goe
BLM045	734678	172637.2	18.9	Car-Smc	Car	Smc		
BLM046	734679.3	172635.5	18.7	III-Smc	III	Smc		
BLM047	734681.1	172632	18.7	Smc-III	Smc	III		Goe
BLM048	734684.3	172627.2	19.8	Smc-III	Smc	III		
BLM049	734691.1	172613.5	18.7	Chl-Smc	Chl	Smc	III	
BLM050	734692.5	172610.4	18.5	Smc-Chl	Smc	Chl	III	
BLM051	734695.1	172605.1	18.7	Smc-Car	Smc	Car		
BLM052	734697.8	172600.2	18.8	Smc-Chl	Smc	Chl		
BLM053	734700.4	172594.8	18.9	Chl-Smc	Chl	Smc		
BLM054	734704.1	172587.9	19.3	Smc	Smc			

Field_ID	X	Y	Z	Assemblage Alteration	Min1 Interp	Min2 Interp	Min3 Interp	Oxide Interp
BLM055	734705.9	172585.4	19.3	Smc-Car	Smc	Car		
BLM056	734709.9	172570.4	19.1	Chl-Smc	Chl	Smc		
BLM057	734710.4	172568.6	19.2	Smc-Car	Smc	Car		
BLM058	734710.5	172561.5	18.7	Chl-Smc	Chl	Smc		
BLM059	734711.1	172556.6	19.2	Smc-III	Smc	III		
BLM060	734711	172553.1	19.1	Smc-Car	Smc	Car		
BLM061	734694.3	172443.4	18.1	Smc-III	Smc	III		
BLM062	734693.3	172437.4	18	Smc-Kpx	Smc	Kpx		
BLM063	734690.1	172423.8	18.5	Smc	Smc			
BLM064	734688.7	172416.4	19.4	Smc-Kpx	Smc	Kpx		
BLM065	734687.3	172409.9	20	Smc-Kpx	Smc	Kpx		
BLM066	734685.5	172399.6	20.9	Kwx-Smc	Kwx	Smc		
BLM067	734683.4	172391.6	21.6	Kpx-Smc	Kpx	Smc		
BLM068	734682.8	172388	22.1	Smc	Smc			
BLM069	734681.6	172384.3	22.4	Smc-Kpx	Smc	Kpx		
BLM070	734679.4	172377.5	22.3	Smc-Kpx	Smc	Kpx		
BLM071	734680.6	172385.9	18	Smc-ill-Car	Smc	ill	Car	
BLM072	734677.2	172375.1	18.1	Smc-III	Smc	III		
BLM073	734669	172372		Smc-Car	Smc	Car		
BLM074	734667	172363		Smc-Chl-Car	Smc	Chl	Car	
BLM075	734667	172362		Smc-Chl	Smc	Chl		
BLM076	734671.3	172358.2	17.6	Smc-Chl	Smc	Chl		
BLM077	734671.3	172354.9	18.8	Smc-Kpx-Car	Smc	Kpx	Car	
BLM078	734669.7	172346.6	20.9	Smc-Kpx	Smc	Kpx		
BLM079	734663.4	172287	26	Smc-Car	Smc	Car		
BLM080	734662.3	172280.6	25.9	Smc-Chl	Smc	Chl		
BLM081	734660.7	172274.6	25.9	Smc-III	Smc	III		
BLM082	734660.3	172272.4	26	Kwx-Chl-Smc	Kwx	Chl	Smc	
BLM083	734658.4	172263.7	26	Smc-Chl	Smc	Chl		
BLM084	734657.7	172258.7	26.4	Smc-Chl	Smc	Chl		
BLM085	734656.5	172251.7	26.9	Smc-Car	Smc	Car		
BLM086	734655.6	172248.3	26.8	Smc-III	Smc	III		
BLM087	734652.9	172240.5	26.6	Smc-III	Smc	III		
BLM088	734651.4	172235.4	27.2	Car-Smc	Car	Smc		
BLM089	734649.5	172224.9	30.5	Car-III	Car	III		
BLM090	734648.5	172219.7	30.3	Chl-Kpx-Smc	Chl	Kpx	Smc	
BLM091	734648.3	172216.7	30.4	Smc-Kpx	Smc	Kpx		
BLM092	734647.3	172209.2	30.6	Smc-III	Smc	III		
BLM093	734647.1	172202	31.1	Car-Smc	Car	Smc		
BLM094	734646.7	172198.3	31.9	Car-Smc	Car	Smc		
BLM095	734646.4	172194.2	33.8	Car-Smc	Car	Smc		
BLM096	734645.7	172186.8	33.9	Kpx-Smc	Kpx	Smc		
BLM097	734644.8	172182.2	34.1	Car-Smc-Kpx	Car	Smc	Kpx	
BLM098	734644	172177.9	34.5	Car-III	Car	III		
BLM099	734643.5	172168.5	37.1	III-Smc	III	Smc		
BLM100	734639.3	172153.8	39	Car-III	Car	III		
BLM101	734645	172111		III-Chl	III	Chl		
BLM102	734639	172107		Smc-III	Smc	III		
BLM103	734627	172627		Smc-Chl	Smc	Chl		
BLM104	734621	172095		Smc-Non	Smc	Non		
BLM105	734616	172513		Smc-Chl	Smc	Chl		
BLM106	734615	172502		Smc	Smc	Chl		
BLM107	734618	172496		Smc-III	Smc	III		
BLM108	734636	172499		Smc-Non	Smc	Non		
BLM109	734614	172494		Smc-III	Smc	III		
BLM110	734606	172479		Kpx-Smc	Kpx	Smc		

Field_ID	X	Y	Z	Assemblage Alteration	Min1 Interp	Min2 Interp	Min3 Interp	Oxide Interp
BLM111	734616	172486		Smc	Smc			
BLM112	734627	172480		Chl-III	Chl	III		
BLM113	734623	172472		III-Smc	III	Smc		
BLM114	734633	172478		Smc	Smc			
BLM115	734633	172469		Chl-Smc	Chl	Smc		
BLM116	734591.2	172646.4	11.7	Smc-Chl	Smc	Chl		
BLM117	734589	172644.4	11.6	Chl-Smc	Chl	Smc		
BLM118	734586.8	172640.3	11.5	Chl-Smc	Chl	Smc		
BLM119	734585.8	172638.1	11.3	Chl-Smc	Chl	Smc		
BLM120	734582.3	172628.9	11.2	Chl-Smc	Chl	Smc		
BLM121	734585	172621.1	10.9	III	III			
BLM122	734586.2	172611	10.4	Chl-Smc	Chl	Smc		
BLM123	734586.9	172604.2	10.4	Chl-III	Chl	III		
BLM124	734588.4	172593.9	10.7	Chl-Smc	Chl	Smc		
BLM125	734590.2	172589.1	10.8	Chl-III	Chl	III		
BLM126	734591.5	172585.4	10.8	Kpx-Smc	Kpx	Smc		
BLM127	734594.5	172578.9	10.7	Smc-Chl	Smc	Chl		
BLM128	734595.9	172575.3	10.6	Smc-III	Smc	III		
BLM129	734598.2	172570.5	10.6	Smc	Smc			
BLM130	734598.1	172570.4	10.5	Smc-Chl	Smc	Chl		
BLM131	734603.9	172554.7	10.5	Kpx-Smc	Kpx	Smc		
BLM132	734608	172547		Chl-III	Chl	III		
BLM133	734604	172539		Chl-Smc	Chl	Smc		
BLM134	734621	172539		Smc-III	Smc	III		
BLM135	734638	172454		Smc	Smc			
BLM136	734641	172445		Smc-III-Chl	Smc	III	Chl	
BLM137	734644	172434		Smc-Non	Smc	Non		
BLM138	734653	172427		Car-Smc-Chl	Car	Smc	Chl	
BLM139	734651	172423		Smc-Kpx	Smc	Kpx		
BLM140	734640.5	172408.5	15.7	Smc-Chl	Smc	Chl		
BLM141	734640.6	172402	16.5	Smc-III	Smc	III		
BLM142	734640.6	172395.5	17	Smc-Kpx	Smc	Kpx		
BLM143	734640.6	172388.1	18.1	Smc-Chl	Smc	Chl		
BLM144	734639.9	172381.5	18.5	Car-III	Car	III		
BLM145	734640.5	172374.3	18.6	Chl	Chl			
BLM146	734640.7	172366.1	19.1	Chl-III	Chl	III		
BLM147	734640.6	172360	19.4	Chl-Car	Chl	Car		
BLM148	734639.8	172350.5	19.7	Unalter	Unalter			
BLM149	734639	172342.3	21	Chl	Chl			
BLM150	734638.9	172332.4	21.8	Car-Non	Car	Non		
BLM151	734637.4	172322.4	22.7	Chl	Chl			
BLM152	734636.9	172307.6	23.6	Unalter	Unalter			
BLM153	734636.1	172301.8	24.3	Car-III	Car	III		
BLM154	734632.3	172288.7	26.1	Smc-III	Smc	III		
BLM155	734630.1	172278.6	27.4	III-Smc	III	Smc		
BLM156	734629.6	172265.8	28.8	Car-III	Car	III		
BLM157	734628.3	172257.3	29.9	Chl-III	Chl	III		
BLM158	734627.5	172242.9	30.8	Chl-Smc	Chl	Smc		
BLM159	734626	172237.7	31.3	Chl-Smc	Chl	Smc		
BLM160	734624.2	172223.3	33.3	Chl-Smc	Chl	Smc		
BLM161	734623.4	172215.6	34.4	Chl-Smc	Chl	Smc		
BLM162	734623.4	172210.8	34.4	Chl-Smc	Chl	Smc		
BLM163	734622.9	172204.9	34.6	Chl-Smc	Chl	Smc		
BLM164	734621.3	172197.5	35.2	Chl-Smc	Chl	Smc		
BLM165	734620.5	172191.6	35.9	Chl-III	Chl	III		
BLM166	734619.2	172183.7	36.2	Chl-Smc	Chl	Smc		

Field_ID	X	Y	Z	Assemblage Alteration	Min1 Interp	Min2 Interp	Min3 Interp	Oxide Interp
BLM167	734618.1	172172.4	37.3	Chl-Smc	Chl	Smc		
BLM168	734617.2	172163.8	38	Chl-III	Chl	III		
BLM169	734610	172153.5	40	Chl-Smc	Chl	Smc		
BLM170	734610.3	172145.6	40.9	Chl-Smc	Chl	Smc		
BLM171	734610	172140.1	40.8	Chl-Smc	Chl	Smc		
BLM172	734608.1	172132.7	40.6	Chl-III	Chl	III		
BLM173	734607.5	172126.4	40.5	Chl-III	Chl	III		
BLM174	734605.8	172119.3	40.9	Chl-Smc	Chl	Smc		
BLM175	734604.1	172112.2	42	Chl-III	Chl	III		
BLM176	734601.4	172097.2	42.7	Chl-III	Chl	III		
BLM177	734603.5	172090.1	43.2	III-Smc	III	Smc		

Tabel 2. Data analysis ASD sampel RC *drilling*

HOLE_ID	Depth_From	Depth_To	Assemblage Alteration	Min1_Interp	Min2_Interp	Min3_Interp	Ox_Inte
BRC_10_026	0	1	Smc-Kpx	Smc	Kpx		Goe
BRC_10_026	1	2	Smc-III	Smc	III		Goe
BRC_10_026	2	3	Smc-III	Smc	III		Goe
BRC_10_026	3	4	III-Smc	III	Smc		Goe
BRC_10_026	4	5	Smc-III	Smc	III		Goe
BRC_10_026	5	6	Smc-III	Smc	III		Goe
BRC_10_026	6	7	Smc-III	Smc	III		Jar
BRC_10_026	7	8	Smc-III	Smc	III		Jar
BRC_10_026	8	9	Smc-Car	Smc	Car		Jar
BRC_10_026	9	10	Smc-III	Smc	III		Jar
BRC_10_026	10	11	Smc-III	Smc	III		Goe
BRC_10_026	11	12	Smc-Car	Smc	Car		Goe
BRC_10_026	12	13	Car-Smc	Car	Smc		Goe
BRC_10_026	13	14	Car-Smc	Car	Smc		Goe
BRC_10_026	14	15	Car-Smc	Car	Smc		Goe
BRC_10_026	15	16	Chl-Smc	Chl	Smc		Jar
BRC_10_026	16	17	Smc-III	Smc	III		Jar
BRC_10_026	17	18	Car-Smc	Car	Smc		
BRC_10_027	0	1	Smc-III	Smc	III		Jar
BRC_10_027	1	2	Smc-III	Smc	III		Jar
BRC_10_027	2	3	Smc-Kpx	Smc	Kpx		Goe
BRC_10_027	3	4	Smc-Kpx	Smc	Kpx		Goe
BRC_10_027	4	5	Smc-Kpx	Smc	Kpx		Goe
BRC_10_027	5	6	Smc-III-Kpx	Smc	III	Kpx	Jar
BRC_10_027	6	7	Smc-Non	Smc	Non		Goe
BRC_10_027	7	8	Smc-Kpx	Smc	Kpx		Jar
BRC_10_028	0	1	Smc-III	Smc	III		Jar
BRC_10_028	1	2	Smc-Kpx	Smc	Kpx		Jar
BRC_10_028	2	3	Smc-III	Smc	III		Jar
BRC_10_028	3	4	Smc-III-Kpx	Smc	III	Kpx	Goe
BRC_10_028	4	5	Smc-Kpx	Smc	Kpx		Jar
BRC_10_028	5	6	Smc-Kpx-Chl	Smc	Kpx	Chl	Goe
BRC_10_028	6	7	Smc-Kpx-Chl	Smc	Kpx	Chl	Jar
BRC_10_028	7	8	Smc-Chl	Smc	Chl		Jar
BRC_10_028	8	9	Smc-III-Kpx	Smc	III	Kpx	Jar
BRC_10_028	9	10	Smc-Chl	Smc	Chl		Jar
BRC_10_028	10	11	Smc-Chl	Smc	Chl		Jar
BRC_10_028	11	12	Smc-Kpx	Smc	Kpx		
BRC_10_028	12	13	Kwx-Smc	Kwx	Smc		Jar
BRC_10_028	13	14	Chl-Smc	Chl	Smc		Jar

HOLE_ID	Depth_From	Depth_To	Assemblage Alteration	Min1_Interp	Min2_Interp	Min3_Interp	Ox_Inte
BRC_10_029	0	1	Kpx-Smc	Kpx	Smc		Jar
BRC_10_029	1	2	Kpx-Smc	Kpx	Smc		Jar
BRC_10_029	2	3	Kpx-Smc	Kpx	Smc		
BRC_10_029	3	4	Kpx-Smc	Kpx	Smc		Jar
BRC_10_029	4	5	Kpx-Smc	Kpx	Smc		Jar
BRC_10_029	5	6	Smc-Kpx	Smc	Kpx		Goe
BRC_10_029	6	7	Smc-Kpx	Smc	Kpx		Goe
BRC_10_029	7	8	Smc-Kpx	Smc	Kpx		Jar
BRC_10_029	8	9	Kpx-Smc	Kpx	Smc		Jar
BRC_10_029	9	10	Kpx-Smc	Kpx	Smc		Jar
BRC_10_029	10	11	Smc-Ill	Smc	Ill		Jar
BRC_10_029	11	12	Smc-Kpx	Smc	Kpx		Jar
BRC_10_029	12	13	Kpx-Smc	Kpx	Smc		Jar
BRC_10_029	13	14	Smc-Ill	Smc	Ill		Jar
BRC_10_029	14	15	Smc-Kpx-Chl	Smc	Kpx	Chl	Jar
BRC_10_029	15	16	Smc-Chl	Smc	Chl		Jar
BRC_10_029	16	17	Smc-Kpx	Smc	Kpx		Jar
BRC_10_029	17	18	Smc-Kpx-Chl	Smc	Kpx	Chl	Jar
BRC_10_030	0	1	Smc-Ill	Smc	Ill		Jar
BRC_10_030	1	2	Smc-Chl	Smc	Chl		Jar
BRC_10_030	2	3	Car-Kpx	Car	Kpx		
BRC_10_030	3	4	Kpx-Smc	Kpx	Smc		Goe
BRC_10_030	4	5	Smc-Kpx	Smc	Kpx		Goe
BRC_10_030	5	6	Kpx-Smc	Kpx	Smc		Jar
BRC_10_030	6	7	Smc-Chl	Smc	Chl		Jar
BRC_10_030	7	8	Smc-Chl	Smc	Chl		Jar
BRC_10_030	8	9	Smc-Kpx	Smc	Kpx		Jar
BRC_10_030	9	10	Smc-Kpx	Smc	Kpx		Jar
BRC_10_030	10	11	Kpx-Smc	Kpx	Smc		Goe
BRC_10_030	11	12	Smc-Kpx	Smc	Kpx		Jar
BRC_10_030	12	13	Smc-Kpx	Smc	Kpx		Jar
BRC_10_030	13	14	Kpx-Smc	Kpx	Smc		Jar
BRC_10_030	14	15	Kpx-Smc	Kpx	Smc		Goe
BRC_10_030	15	16	Smc-Kpx	Smc	Kpx		Jar
BRC_10_036	0	1	Smc-Kpx	Smc	Kpx		Jar
BRC_10_036	1	2	Car-Smc	Car	Smc		
BRC_10_036	2	3	Car	Car			
BRC_10_036	3	4	Smc-Ill	Smc	Ill		Jar
BRC_10_036	4	5	Smc-Ill	Smc	Ill		Goe
BRC_10_036	5	6	Smc-Ill	Smc	Ill		
BRC_10_036	6	7	Smc-Kpx	Smc	Kpx		
BRC_10_036	7	8	Smc-Kpx	Smc	Kpx		Jar
BRC_10_036	8	9	Kpx-Ill-Smc	Kpx	Ill	Smc	
BRC_10_036	9	10	Car-Kpx-Chl	Car	Kpx	Chl	Jar
BRC_10_036	10	11	Chl-Smc	Chl	Smc		Jar
BRC_10_036	11	12	Chl-Smc-Car	Chl	Smc	Car	Jar
BRC_10_036	12	13	Smc-Ill	Smc	Ill		
BRC_10_036	13	14	Car-Kpx	Car	Kpx		Jar
BRC_10_036	14	15	Car-Smc	Car	Smc		Jar
BRC_10_036	15	16	Smc-Kpx	Smc	Kpx		Jar
BRC_10_036	16	17	Smc-Ill	Smc	Ill		Jar
BRC_10_036	17	18	Smc-Ill	Smc	Ill		Jar
BRC_10_037	0	1	Car-Kpx	Car	Kpx		Goe
BRC_10_037	1	2	Car-Kpx	Car	Kpx		Goe
BRC_10_037	2	3	Smc-Chl	Smc	Chl		Jar
BRC_10_037	3	4	Smc-Chl	Smc	Chl		Jar

HOLE_ID	Depth_From	Depth_To	Assemblage Alteration	Min1_Interp	Min2_Interp	Min3_Interp	Ox_Inte
BRC_10_037	4	5	Smc-III	Smc	III		Jar
BRC_10_037	5	6	Smc-Chl	Smc	Chl		Jar
BRC_10_037	6	7	Car-Smc	Car	Smc		
BRC_10_037	7	8	Car-Smc	Car	Smc		Goe
BRC_10_037	8	9	Car-Smc	Car	Smc		
BRC_10_037	9	10	Car-Smc	Car	Smc		
BRC_10_037	10	11	Kpx-Car	Kpx	Car		
BRC_10_037	11	12	Kpx-Car	Kpx	Car		Jar
BRC_10_037	12	13	Smc-Kpx	Smc	Kpx		
BRC_10_037	13	14	Car-Kpx	Car	Kpx		
BRC_10_037	14	15	Smc-Car-Kpx	Smc	Car	Kpx	
BRC_10_037	15	16	Smc-Car-Kpx	Smc	Car	Kpx	
BRC_10_037	16	17	Kpx-Smc	Kpx	Smc		
BRC_10_037	17	18	Chl-Smc-Car	Chl	Smc	Car	
BRC_10_060	0	1	Smc-III	Smc	III		Goe
BRC_10_060	1	2	Car-Smc	Car	Smc		Goe
BRC_10_060	2	3	Car-Smc	Car	Smc		Goe
BRC_10_060	3	4	Smc-Car	Smc	Car		Jar
BRC_10_060	4	5	Smc-Car	Smc	Car		
BRC_10_060	5	6	Smc-Car	Smc	Car		
BRC_10_060	6	7	Smc-Car	Smc	Car		
BRC_10_060	7	8	Smc-III	Smc	III		Jar
BRC_10_060	8	9	Smc-III	Smc	III		Jar
BRC_10_060	9	10	Chl-Smc	Chl	Smc		Jar
BRC_10_060	10	11	Smc-Chl	Smc	Chl		Jar
BRC_10_060	11	12	Smc-III	Smc	III		
BRC_10_060	12	13	Smc-Chl	Smc	Chl		Jar
BRC_10_060	13	14	Smc-Chl	Smc	Chl		
BRC_10_060	14	15	Smc-Chl	Smc	Chl		Jar
BRC_10_060	15	16	Smc-Chl	Smc	Chl		Jar
BRC_10_060	16	17	Smc-Chl	Smc	Chl		Jar
BRC_10_060	17	18	Smc-III	Smc	III		
BRC_10_061	0	1	Smc-III	Smc	III		Jar
BRC_10_061	1	2	Smc-Chl	Smc	Chl		Jar
BRC_10_061	2	3	Smc-Chl	Smc	Chl		Jar
BRC_10_061	3	4	Smc-Chl	Smc	Chl		Jar
BRC_10_061	4	5	Chl-Smc	Chl	Smc		Jar
BRC_10_061	5	6	Chl-Smc	Chl	Smc		Jar
BRC_10_061	6	7	Smc-Chl	Smc	Chl		Jar
BRC_10_061	7	8	Chl-Smc	Chl	Smc		Jar
BRC_10_061	8	9	Smc-Chl	Smc	Chl		Jar
BRC_10_061	9	10	Car-Kpx	Car	Kpx		
BRC_10_061	10	11	Car-Kpx	Car	Kpx		
BRC_10_061	11	12	Chl-Smc	Chl	Smc		Jar
BRC_10_061	12	13	Chl-Smc	Chl	Smc		Jar
BRC_10_061	13	14	Chl-Smc	Chl	Smc		Jar
BRC_10_061	14	15	Chl-smc	Chl	smc		Jar
BRC_10_061	15	16	Car-Smc	Car	Smc		
BRC_10_061	16	17	Chl-III	Chl	III		Jar
BRC_10_061	17	18	Car-Kpx	Car	Kpx		Goe
BRC_10_062	0	1	Chl-Smc	Chl	Smc		Jar
BRC_10_062	1	2	Chl-Smc	Chl	Smc		Jar
BRC_10_062	2	3	Smc-Car-Chl	Smc	Car	Chl	Jar
BRC_10_062	3	4	Smc-Car-Chl	Smc	Car	Chl	Jar
BRC_10_062	4	5	Chl-Smc	Chl	Smc		
BRC_10_062	5	6	Chl-Smc-Car	Chl	Smc	Car	Jar

HOLE_ID	Depth_From	Depth_To	Assemblage Alteration	Min1_Interp	Min2_Interp	Min3_Interp	Ox_Inte
BRC_10_062	6	7	Chl-Smc	Chl	Smc		Jar
BRC_10_062	7	8	Car-Kpx	Car	Kpx		
BRC_10_062	8	9	Car-Kpx	Car	Kpx		
BRC_10_062	9	10	Car-Kpx	Car	Kpx		
BRC_10_062	10	11	Car-Chl-Smc	Car	Chl	Smc	Jar
BRC_10_062	11	12	Car	Car			
BRC_10_062	12	13	Car	Car			
BRC_10_062	13	14	Smc-Kpx	Smc	Kpx		Goe
BRC_10_062	14	15	Smc-Kpx	Smc	Kpx		Goe
BRC_10_062	15	16	Smc-Kpx	Smc	Kpx		Goe
BRC_10_062	16	17	Smc-Kpx	Smc	Kpx		Goe
BRC_10_062	17	18	Smc-Kpx	Smc	Kpx		Goe
BRC_10_063	0	1	Chl-Smc	Chl	Smc		Jar
BRC_10_063	1	2	Car-Kpx	Car	Kpx		
BRC_10_063	2	3	Chl-Smc	Chl	Smc		Jar
BRC_10_063	3	4	Chl-Smc-Car	Chl	Smc	Car	Jar
BRC_10_063	4	5	Chl-Smc-Car	Chl	Smc	Car	
BRC_10_063	5	6	Car-Smc	Car	Smc		Goe
BRC_10_063	6	7	Car-Kpx	Car	Kpx		Goe
BRC_10_063	7	8	Car-Kpx-Chl	Car	Kpx	Chl	Goe
BRC_10_063	8	9	Kpx-Smc	Kpx	Smc		Goe
BRC_10_063	9	10	Kpx-Smc	Kpx	Smc		Goe
BRC_10_063	10	11	Smc-Kpx	Smc	Kpx		Goe
BRC_10_063	11	12	Smc-Kpx	Smc	Kpx		Goe
BRC_10_063	12	13	Kpx-Smc	Kpx	Smc		Goe
BRC_10_063	13	14	Kpx-Smc	Kpx	Smc		Goe
BRC_10_063	14	15	Ill-Smc	Ill	Smc		Jar
BRC_10_063	15	16	Smc-Chl-Kpx	Smc	Chl	Kpx	Jar
BRC_10_063	16	17	Smc-Ill-Chl	Smc	Ill	Chl	Jar
BRC_10_063	17	18	Smc-Kpx	Smc	Kpx		Jar
BRC_10_064	0	1	Kpx-Smc	Kpx	Smc		Goe
BRC_10_064	1	2	Smc-Kpx	Smc	Kpx		
BRC_10_064	2	3	Kpx-Smc	Kpx	Smc		Goe
BRC_10_064	3	4	Smc-Kpx	Smc	Kpx		Goe
BRC_10_064	4	5	Kpx-Smc	Kpx	Smc		Goe
BRC_10_064	5	6	Smc-Kpx	Smc	Kpx		Goe
BRC_10_064	6	7	Kpx-Smc	Kpx	Smc		Jar
BRC_10_064	7	8	Smc-Kpx	Smc	Kpx		Jar
BRC_10_064	8	9	Smc-Ill	Smc	Ill		Jar
BRC_10_064	9	10	Smc-Ill	Smc	Ill		Jar
BRC_10_064	10	11	Smc-Ill	Smc	Ill		Jar
BRC_10_064	11	12	Smc-Ill	Smc	Ill		Jar
BRC_10_066	0	1	Smc-Chl-Car	Smc	Chl	Car	Jar
BRC_10_066	1	2	Smc-Chl-Car	Smc	Chl	Car	Jar
BRC_10_066	2	3	Car-Ill	Car	Ill		
BRC_10_066	3	4	Smc-Ill	Smc	Ill		
BRC_10_066	4	5	Car-Ill	Car	Ill		Goe
BRC_10_066	5	6	Car-Ill	Car	Ill		Goe
BRC_10_066	6	7	Car-Ill	Car	Ill		
BRC_10_066	7	8	Car-Smc	Car	Smc		Goe
BRC_10_066	8	9	Car	Car			Goe
BRC_10_066	9	10	Car	Car			
BRC_10_066	10	11	Car	Car			Goe
BRC_10_066	11	12	Smc-Ill	Smc	Ill		Jar
BRC_10_066	12	13	Smc-Car	Smc	Car		Goe
BRC_10_066	13	14	Car-Smc	Car	Smc		Goe

HOLE_ID	Depth_From	Depth_To	Assemblage Alteration	Min1_Interp	Min2_Interp	Min3_Interp	Ox_Inte
BRC_10_066	14	15	Car-Smc	Car	Smc		Goe
BRC_10_066	15	16	Smc-Chl	Smc	Chl		Jar
BRC_10_066	16	17	Smc-Chl	Smc	Chl		Jar
BRC_10_066	17	18	Smc-Chl	Smc	Chl		Jar
BRC_10_067	0	1	Car-Smc	Car	Smc		Goe
BRC_10_067	1	2	Smc-Car	Smc	Car		Goe
BRC_10_067	2	3	Smc-Car	Smc	Car		Goe
BRC_10_067	3	4	Car-Smc	Car	Smc		Hem
BRC_10_067	4	5	Car-Smc	Car	Smc		Hem
BRC_10_067	5	6	Ill-Car	Ill	Car		
BRC_10_067	6	7	Car-Smc	Car	Smc		Hem
BRC_10_067	7	8	Ill-Car	Ill	Car		
BRC_10_067	8	9	Car-Smc	Car	Smc		Hem
BRC_10_067	9	10	Ill-Car	Ill	Car		
BRC_10_067	10	11	Smc-Ill-Car	Smc	Ill	Car	Hem
BRC_10_067	11	12	Smc-Car	Smc	Car		Goe
BRC_10_067	12	13	Ill-Car	Ill	Car		
BRC_10_067	13	14	Kpx-Smc	Kpx	Smc		Jar
BRC_10_067	14	15	Smc-Car	Smc	Car		Goe
BRC_10_067	15	16	Ill-Smc	Ill	Smc		Goe
BRC_10_067	16	17	Smc-Ill	Smc	Ill		Hem
BRC_10_067	17	18	Smc-Car	Smc	Car		Goe
BRC_10_099	0	1	Smc-Kpx	Smc	Kpx		
BRC_10_099	1	2	Ill-Smc	Ill	Smc		Jar
BRC_10_099	2	3	Smc-Kpx	Smc	Kpx		Jar
BRC_10_099	3	4	Smc-Chl	Smc	Chl		
BRC_10_099	4	5	Smc-Chl	Smc	Chl		Jar
BRC_10_099	5	6	Smc-Ill	Smc	Ill		Jar
BRC_10_099	6	7	Kpx-Smc	Kpx	Smc		Jar
BRC_10_099	7	8	Kpx-Smc	Kpx	Smc		Jar
BRC_10_099	8	9	Chl-Smc	Chl	Smc		Jar
BRC_10_099	9	10	Smc-Kpx-Chl	Smc	Kpx	Chl	Jar
BRC_10_099	10	11	Smc-Ill	Smc	Ill		Jar
BRC_10_099	11	12	Kpx-Smc	Kpx	Smc		Jar
BRC_10_099	12	13	Kpx-Smc	Kpx	Smc		Jar
BRC_10_099	13	14	Smc-Ill	Smc	Ill		Jar
BRC_10_099	14	15	Smc-Ill	Smc	Ill		Jar
BRC_10_099	15	16	Smc-Chl	Smc	Chl		Jar
BRC_10_099	16	17	Kpx-Smc	Kpx	Smc		Jar
BRC_10_099	17	18	Smc-Kpx	Smc	Kpx		Jar
BRC_10_100	0	1	Smc-Chl	Smc	Chl		Jar
BRC_10_100	1	2	Smc-Kpx	Smc	Kpx		Jar
BRC_10_100	2	3	Kpx-Smc	Kpx	Smc		Jar
BRC_10_100	3	4	Kpx-Smc	Kpx	Smc		Jar
BRC_10_100	4	5	Kpx-Smc	Kpx	Smc		Jar
BRC_10_100	5	6	Kpx-Smc	Kpx	Smc		Goe
BRC_10_100	6	7	Kpx-Smc	Kpx	Smc		Goe
BRC_10_100	7	8	Smc-Kpx	Smc	Kpx		Goe
BRC_10_100	8	9	Smc-Kpx	Smc	Kpx		Goe
BRC_10_100	9	10	Smc-Kpx	Smc	Kpx		Jar
BRC_10_100	10	11	Smc-Kpx	Smc	Kpx		Jar
BRC_10_100	11	12	Smc-Kpx	Smc	Kpx		Jar
BRC_10_105	0	1	Chl-Smc	Chl	Smc		Jar
BRC_10_105	1	2	Chl-Smc	Chl	Smc		Jar
BRC_10_105	2	3	Chl-Smc	Chl	Smc		Jar
BRC_10_105	3	4	Chl-Smc	Chl	Smc		Jar

HOLE_ID	Depth_From	Depth_To	Assemblage Alteration	Min1_Interp	Min2_Interp	Min3_Interp	Ox_Inte
BRC_10_105	4	5	Chl-Smc	Chl	Smc		Jar
BRC_10_105	5	6	Car-III	Car	III		Jar
BRC_10_105	6	7	Smc-Car	Smc	Car		Jar
BRC_10_105	7	8	Smc-Car	Smc	Car		Jar
BRC_10_105	8	9	Car-Smc	Car	Smc		Goe
BRC_10_105	9	10	Smc-Car	Smc	Car		Goe
BRC_10_105	10	11	Smc-Car	Smc	Car		Hem
BRC_10_105	11	12	Smc-Car	Smc	Car		Hem
BRC_10_105	12	13	Smc-III	Smc	III		Hem
BRC_10_105	13	14	Smc-Car	Smc	Car		Hem
BRC_10_105	14	15	Car-Smc	Car	Smc		
BRC_10_105	15	16	Car-Smc	Car	Smc		Hem
BRC_10_105	16	17	III-Car	III	Car		Goe
BRC_10_105	17	18	Kpx-Smc	Kpx	Smc		Goe
BRC_10_106	0	1	Chl-Smc	Chl	Smc		Jar
BRC_10_106	1	2	Chl-Smc	Chl	Smc		Jar
BRC_10_106	2	3	Chl-Smc	Chl	Smc		Jar
BRC_10_106	3	4	Chl-Smc	Chl	Smc		Jar
BRC_10_106	4	5	III-Smc	III	Smc		
BRC_10_106	5	6	Chl-Smc	Chl	Smc		Jar
BRC_10_106	6	7	Smc-Chl	Smc	Chl		Jar
BRC_10_106	7	8	Smc-Chl	Smc	Chl		Jar
BRC_10_106	8	9	Smc-Chl	Smc	Chl		Jar
BRC_10_106	9	10	Smc-Chl	Smc	Chl		Jar
BRC_10_106	10	11	Smc-Chl	Smc	Chl		Goe
BRC_10_106	11	12	Smc-Chl	Smc	Chl		Jar
BRC_10_106	12	13	III-Smc	III	Smc		Hem
BRC_10_106	13	14	Car-Kpx	Car	Kpx		Jar
BRC_10_106	14	15	Smc-Car	Smc	Car		Goe
BRC_10_106	15	16	Smc-Car	Smc	Car		Hem
BRC_10_106	16	17	Smc-III	Smc	III		Hem
BRC_10_106	17	18	Smc-III	Smc	III		Hem
BRC_10_108	0	1	Chl-Smc	Chl	Smc		Jar
BRC_10_108	1	2	Smc-Car	Smc	Car		
BRC_10_108	2	3	Smc-Chl	Smc	Chl		Jar
BRC_10_108	3	4	III-Smc	III	Smc		
BRC_10_108	4	5	Smc-Chl	Smc	Chl		Jar
BRC_10_108	5	6	Smc-Chl	Smc	Chl		Jar
BRC_10_108	6	7	Car-Smc	Car	Smc		Goe
BRC_10_108	7	8	Car-Chl-Smc	Car	Chl	Smc	Goe
BRC_10_108	8	9	Smc-III-Chl	Smc	III	Chl	Hem
BRC_10_108	9	10	Smc-III-Chl	Smc	III	Chl	Hem
BRC_10_108	10	11	Smc-III	Smc	III		Hem
BRC_10_108	11	12	Smc-III-Chl	Smc	III	Chl	Jar
BRC_10_108	12	13	III-Car	III	Car		
BRC_10_108	13	14	Smc-Chl	Smc	Chl		Jar
BRC_10_108	14	15	Smc-Chl	Smc	Chl		Jar
BRC_10_108	15	16	Smc-III	Smc	III		Hem
BRC_10_108	16	17	Smc-III	Smc	III		Hem
BRC_10_108	17	18	Smc-Chl	Smc	Chl		Hem
BRC_10_118	0	1	Smc-III	Smc	III		Hem
BRC_10_118	1	2	Smc-III	Smc	III		Goe
BRC_10_118	2	3	Smc-III	Smc	III		Jar
BRC_10_118	3	4	III-Smc	III	Smc		Goe
BRC_10_118	4	5	Smc-III	Smc	III		Goe
BRC_10_118	5	6	Smc-Car	Smc	Car		

HOLE_ID	Depth_From	Depth_To	Assemblage Alteration	Min1_Interp	Min2_Interp	Min3_Interp	Ox_Inte
BRC_10_118	6	7	III-Car	III	Car		
BRC_10_118	7	8	Car-III	Car	III		Goe
BRC_10_118	8	9	Car-III	Car	III		
BRC_10_118	9	10	III-Car	III	Car		
BRC_10_118	10	11	Smc-III	Smc	III		
BRC_10_118	11	12	III-Smc	III	Smc		
BRC_10_118	12	13	III-Smc	III	Smc		Goe
BRC_10_118	13	14	Smc-Chl	Smc	Chl		Jar
BRC_10_118	14	15	Car-Smc	Car	Smc		Goe
BRC_10_118	15	16	Smc-III	Smc	III		Goe
BRC_10_118	16	17	Smc-III	Smc	III		
BRC_10_118	17	18	Car-Smc	Car	Smc		
BRC_10_119	0	1	Smc-III	Smc	III		Hem
BRC_10_119	1	2	Smc-Car	Smc	Car		Jar
BRC_10_119	2	3	Smc-Chl	Smc	Chl		Goe
BRC_10_119	3	4	Smc-III	Smc	III		Goe
BRC_10_119	4	5	Smc-III	Smc	III		Goe
BRC_10_119	5	6	Smc-III	Smc	III		Goe
BRC_10_119	6	7	Smc-Chl	Smc	Chl		Jar
BRC_10_119	7	8	Smc-III	Smc	III		Goe
BRC_10_119	8	9	Smc-III	Smc	III		Jar
BRC_10_119	9	10	Smc-Chl	Smc	Chl		Jar
BRC_10_119	10	11	Smc-III	Smc	III		Jar
BRC_10_119	11	12	Smc-III	Smc	III		Jar
BRC_10_119	12	13	Smc-III	Smc	III		Jar
BRC_10_119	13	14	Smc-III	Smc	III		Goe
BRC_10_119	14	15	Smc-Car	Smc	Car		Goe
BRC_10_119	15	16	III-Car	III	Car		Goe
BRC_10_119	16	17	III-Car	III	Car		
BRC_10_119	17	18	III-Smc	III	Smc		
BRC_10_120	0	1	Smc-Chl	Smc	Chl		Jar
BRC_10_120	1	2	Chl-Smc	Chl	Smc		Jar
BRC_10_120	2	3	Smc-Kpx-Chl	Smc	Kpx	Chl	Jar
BRC_10_120	3	4	Smc-Chl	Smc	Chl		Jar
BRC_10_120	4	5	Smc-Chl	Smc	Chl		Jar
BRC_10_120	5	6	Smc-Kpx	Smc	Kpx		Hem
BRC_10_120	6	7	Smc-Kpx	Smc	Kpx		Goe
BRC_10_120	7	8	Smc-Car	Smc	Car		
BRC_10_120	8	9	Smc-III	Smc	III		Goe
BRC_10_120	9	10	Smc-Car	Smc	Car		
BRC_10_120	10	11	Chl-Smc	Chl	Smc		Jar
BRC_10_120	11	12	Chl-Smc	Chl	Smc		Jar
BRC_10_120	12	13	Smc-Kpx	Smc	Kpx		Goe
BRC_10_120	13	14	Car-Smc-Chl	Car	Smc	Chl	Jar
BRC_10_120	14	15	Smc-Chl	Smc	Chl		Jar
BRC_10_120	15	16	Car-Smc	Car	Smc		
BRC_10_120	16	17	Smc-Chl	Smc	Chl		Jar
BRC_10_120	17	18	smc-Chl	smc	Chl		Jar
BRC_10_121	0	1	Car-Smc	Car	Smc		Jar
BRC_10_121	1	2	Car-Chl-Smc	Car	Chl	Smc	Jar
BRC_10_121	2	3	Chl-Smc	Chl	Smc		Jar
BRC_10_121	3	4	Chl-Smc	Chl	Smc		Jar
BRC_10_121	4	5	Chl-Smc	Chl	Smc		Jar
BRC_10_121	5	6	III-Chl	III	Chl		Jar
BRC_10_121	6	7	Chl-Smc	Chl	Smc		Jar
BRC_10_121	7	8	Smc-III	Smc	III		Jar

HOLE_ID	Depth_From	Depth_To	Assemblage Alteration	Min1_Interp	Min2_Interp	Min3_Interp	Ox_Inte
BRC_10_121	8	9	Smc-Kpx	Smc	Kpx		Jar
BRC_10_121	9	10	smc-III	smc	III		Jar
BRC_10_121	10	11	Chl-Smc	Chl	Smc		Jar
BRC_10_121	11	12	Smc-Chl	Smc	Chl		Jar
BRC_10_121	12	13	Smc-III-Chl	Smc	III	Chl	Jar
BRC_10_121	13	14	Smc-III	Smc	III		Jar
BRC_10_121	14	15	Car-Smc	Car	Smc		
BRC_10_121	15	16	Smc-Car	Smc	Car		
BRC_10_121	16	17	Smc-III	Smc	III		Hem
BRC_10_121	17	18	Smc-III	Smc	III		Hem
BRC_10_147	0	1	Smc-III	Smc	III		Jar
BRC_10_147	1	2	Smc-III	Smc	III		Jar
BRC_10_147	2	3	Smc-Chl	Smc	Chl		Jar
BRC_10_147	3	4	Smc-III	Smc	III		Jar
BRC_10_147	4	5	Smc-III	Smc	III		Jar
BRC_10_147	5	6	Smc-III	Smc	III		Jar
BRC_10_147	6	7	Smc-Chl	Smc	Chl		Jar
BRC_10_147	7	8	Smc-Car	Smc	Car		Jar
BRC_10_147	8	9	Smc-III	Smc	III		Jar
BRC_10_147	9	10	Smc-III	Smc	III		Jar
BRC_10_147	10	11	Smc-Chl	Smc	Chl		Jar
BRC_10_147	11	12	Smc-III-Car	Smc	III	Car	
BRC_10_147	12	13	Chl-Smc	Chl	Smc		Jar
BRC_10_147	13	14	Car-Smc	Car	Smc		Goe
BRC_10_147	14	15	Car-Smc	Car	Smc		
BRC_10_147	15	16	Car-Smc	Car	Smc		
BRC_10_147	16	17	Smc-III	Smc	III		
BRC_10_147	17	18	III-Car	III	Car		
BRC_10_148	0	1	Smc-Chl	Smc	Chl		Jar
BRC_10_148	1	2	Chl-Smc	Chl	Smc		Jar
BRC_10_148	2	3	Chl-Smc	Chl	Smc		Jar
BRC_10_148	3	4	smc-Chl	smc	Chl		Jar
BRC_10_148	4	5	Smc-Chl	Smc	Chl		Jar
BRC_10_148	5	6	Smc-III	Smc	III		
BRC_10_148	6	7	Smc-Car	Smc	Car		
BRC_10_148	7	8	Car-Smc	Car	Smc		
BRC_10_148	8	9	Car-Smc	Car	Smc		
BRC_10_148	9	10	Smc-III	Smc	III		
BRC_10_148	10	11	Smc-III	Smc	III		
BRC_10_148	11	12	Smc-III	Smc	III		
BRC_10_148	12	13	Car-Smc	Car	Smc		Goe
BRC_10_148	13	14	Car	Car			Goe
BRC_10_148	14	15	Smc-Car	Smc	Car		
BRC_10_148	15	16	Car-Smc	Car	Smc		Jar
BRC_10_148	16	17	Car-Smc-Chl	Car	Smc	Chl	Jar
BRC_10_148	17	18	Car-SmcChl	Car	Smc	Chl	Jar
BRC_10_149	0	1	Car-Smc	Car	Smc		Goe
BRC_10_149	1	2	Smc-Chl	Smc	Chl		Jar
BRC_10_149	2	3	Smc-Chl	Smc	Chl		
BRC_10_149	3	4	Car	Car			
BRC_10_149	4	5	Car-Smc	Car	Smc		Goe
BRC_10_149	5	6	Car	Car			Goe
BRC_10_149	6	7	Car	Car			Goe
BRC_10_149	7	8	Car	Car			Goe
BRC_10_149	8	9	Car-Smc	Car	Smc		Goe
BRC_10_149	9	10	Car	Car			

HOLE_ID	Depth_From	Depth_To	Assemblage Alteration	Min1_Interp	Min2_Interp	Min3_Interp	Ox_Inte
BRC_10_149	10	11	Smc-Car-Chl	Smc	Car	Chl	Jar
BRC_10_149	11	12	Car-Smc	Car	Smc		
BRC_10_149	12	13	Smc-Chl	Smc	Chl		Jar
BRC_10_149	13	14	Smc-Chl	Smc	Chl		Jar
BRC_10_149	14	15	Smc-Chl	Smc	Chl		Jar
BRC_10_149	15	16	Smc-Chl	Smc	Chl		Jar
BRC_10_149	16	17	Smc-Chl	Smc	Chl		Jar
BRC_10_149	17	18	Smc-Chl	Smc	Chl		Jar
BRC_10_150	0	1	Car-Smc	Car	Smc		Goe
BRC_10_150	1	2	Chl-Smc	Chl	Smc		
BRC_10_150	2	3	Ill-Smc	Ill	Smc		Goe
BRC_10_150	3	4	Smc-Ill	Smc	Ill		Goe
BRC_10_150	4	5	Smc-Ill	Smc	Ill		Goe
BRC_10_150	5	6	Smc-Ill-Chl	Smc	Ill	Chl	Jar
BRC_10_150	6	7	Smc-Chl	Smc	Chl		Jar
BRC_10_150	7	8	Smc-Chl	Smc	Chl		Jar
BRC_10_150	8	9	Smc-Chl	Smc	Chl		Jar
BRC_10_150	9	10	Smc-Chl	Smc	Chl		Jar
BRC_10_150	10	11	Smc-Ill	Smc	Ill		Jar
BRC_10_150	11	12	Smc-Chl	Smc	Chl		Jar
BRC_10_159	0	1	Car-Kpx	Car	Kpx		
BRC_10_159	1	2	Smc-Ill	Smc	Ill		Jar
BRC_10_159	2	3	Smc-Ill	Smc	Ill		Jar
BRC_10_159	3	4	Chl-Smc	Chl	Smc		Jar
BRC_10_159	4	5	Car-Smc-Chl	Car	Smc	Chl	Jar
BRC_10_159	5	6	Smc-Chl	Smc	Chl		Jar
BRC_10_159	6	7	Smc-Chl	Smc	Chl		Jar
BRC_10_159	7	8	Car-Kpx	Car	Kpx		
BRC_10_159	8	9	Car-Kpx	Car	Kpx		
BRC_10_159	9	10	Ill-Smc	Ill	Smc		
BRC_10_159	10	11	Smc-Ill	Smc	Ill		
BRC_10_159	11	12	Ill-Smc	Ill	Smc		
BRC_10_159	12	13	Smc-Car	Smc	Car		
BRC_10_159	13	14	Car-Ill	Car	Ill		
BRC_10_159	14	15	Car-Smc	Car	Smc		
BRC_10_159	15	16	Smc-Car	Smc	Car		
BRC_10_159	16	17	Smc-Car	Smc	Car		
BRC_10_159	17	18	Smc-Ill	Smc	Ill		
BRC_10_160	0	1	Smc-Kpx-Chl	Smc	Kpx	Chl	Jar
BRC_10_160	1	2	Car-Ill	Car	Ill		
BRC_10_160	2	3	Car-Ill	Car	Ill		
BRC_10_160	3	4	Car-Chl-Smc	Car	Chl	Smc	Jar
BRC_10_160	4	5	Smc-Ill	Smc	Ill		
BRC_10_160	5	6	Car-Smc	Car	Smc		
BRC_10_160	6	7	Car-Ill	Car	Ill		
BRC_10_160	7	8	Car-Smc	Car	Smc		
BRC_10_160	8	9	Smc-Ill-Car	Smc	Ill	Car	
BRC_10_160	9	10	Smc-Ill	Smc	Ill		
BRC_10_160	10	11	Smc-Ill	Smc	Ill		
BRC_10_160	11	12	Smc-Ill	Smc	Ill		
BRC_10_160	12	13	Smc-Ill	Smc	Ill		
BRC_10_160	13	14	Smc-Ill	Smc	Ill		
BRC_10_160	14	15	Smc-Ill	Smc	Ill		
BRC_10_160	15	16	Smc-Ill	Smc	Ill		
BRC_10_160	16	17	Smc-Ill	Smc	Ill		Goe
BRC_10_160	17	18	Smc-Ill	Smc	Ill		Jar

HOLE_ID	Depth_From	Depth_To	Assemblage Alteration	Min1_Interp	Min2_Interp	Min3_Interp	Ox_Inte
BRC_10_162	0	1	Smc-III	Smc	III		Goe
BRC_10_162	1	2	Smc-Chl	Smc	Chl		Goe
BRC_10_162	2	3	III-Smc	III	Smc		Goe
BRC_10_162	3	4	Smc-III	Smc	III		Goe
BRC_10_162	4	5	Smc-III	Smc	III		Goe
BRC_10_162	5	6	Smc-III	Smc	III		Goe
BRC_10_162	6	7	Smc-III	Smc	III		Goe
BRC_10_162	7	8	Smc-III	Smc	III		Goe
BRC_10_162	8	9	Smc-III	Smc	III		Goe
BRC_10_162	9	10	Smc-III	Smc	III		Goe
BRC_10_162	10	11	Smc-III	Smc	III		Goe
BRC_10_162	11	12	Smc-Kpx	Smc	Kpx		Goe
BRC_10_162	12	13	Smc-III	Smc	III		Goe
BRC_10_162	13	14	Smc-III-Chl	Smc	III	Chl	Jar
BRC_10_162	14	15	Smc-Chl	Smc	Chl		Jar
BRC_10_162	15	16	Chl-Smc	Chl	Smc		Jar
BRC_10_162	16	17	Smc-Chl	Smc	Chl		Jar
BRC_10_162	17	18	Chl-Smc	Chl	Smc		Jar
BRC_10_181	0	1	Smc-Kpx	Smc	Kpx		Goe
BRC_10_181	1	2	Smc-III	Smc	III		Goe
BRC_10_181	2	3	Smc-Kpx	Smc	Kpx		Goe
BRC_10_181	3	4	Smc-Kpx	Smc	Kpx		Goe
BRC_10_181	4	5	Smc-Kpx	Smc	Kpx		Goe
BRC_10_181	5	6	Smc-Kpx	Smc	Kpx		Jar
BRC_10_181	6	7	Chl-Smc	Chl	Smc		Jar
BRC_10_181	7	8	Smc-Kpx	Smc	Kpx		Jar
BRC_10_181	8	9	Smc-Chl	Smc	Chl		Jar
BRC_10_181	9	10	Chl-Smc	Chl	Smc		Goe
BRC_10_181	10	11	Chl-Smc	Chl	Smc		Jar
BRC_10_181	11	12	Smc-Car	Smc	Car		Jar
BRC_10_181	12	13	Chl-III	Chl	III		Jar
BRC_10_181	13	14	Car-Smc	Car	Smc		
BRC_10_181	14	15	Car-Smc	Car	Smc		Jar
BRC_10_181	15	16	Car-Smc	Car	Smc		Jar
BRC_10_181	16	17	Smc-Chl	Smc	Chl		Jar
BRC_10_181	17	18	Car-Smc	Car	Smc		Goe
BRC_10_182	0	1	Smc-III	Smc	III		Goe
BRC_10_182	1	2	Smc-Chl	Smc	Chl		Goe
BRC_10_182	2	3	Smc-Chl	Smc	Chl		Goe
BRC_10_182	3	4	Chl-III	Chl	III		Jar
BRC_10_182	4	5	Smc-Chl	Smc	Chl		
BRC_10_182	5	6	III-Car-Chl	III	Car	Chl	
BRC_10_182	6	7	Car-Smc	Car	Smc		
BRC_10_182	7	8	Car-Smc	Car	Smc		Jar
BRC_10_182	8	9	Smc-Car	Smc	Car		
BRC_10_182	9	10	Car-Kpx	Car	Kpx		Jar
BRC_10_182	10	11	Car-Kpx	Car	Kpx		Jar
BRC_10_182	11	12	Car-Smc	Car	Smc		Jar
BRC_10_182	12	13	Car-Smc	Car	Smc		
BRC_10_182	13	14	Car-Smc	Car	Smc		
BRC_10_182	14	15	Smc-III	Smc	III		
BRC_10_182	15	16	Smc-III	Smc	III		
BRC_10_182	16	17	Smc-III	Smc	III		
BRC_10_182	17	18	Smc-III	Smc	III		
BRC_10_186	0	1	Car-Kpx	Car	Kpx		
BRC_10_186	1	2	Car-III	Car	III		Jar

HOLE_ID	Depth_From	Depth_To	Assemblage Alteration	Min1_Interp	Min2_Interp	Min3_Interp	Ox_Inte
BRC_10_186	2	3	Smc-Chl	Smc	Chl		Jar
BRC_10_186	3	4	Chl-Smc	Chl	Smc		Jar
BRC_10_186	4	5	Car-Kpx	Car	Kpx		
BRC_10_186	5	6	Car-Smc	Car	Smc		Jar
BRC_10_186	6	7	Car-III	Car	III		
BRC_10_186	7	8	Car-III	Car	III		
BRC_10_186	8	9	Smc-Car	Smc	Car		
BRC_10_186	9	10	Car-Smc-Chl	Car	Smc	Chl	Goe
BRC_10_186	10	11	Smc-III	Smc	III		
BRC_10_186	11	12	Smc-Kpx	Smc	Kpx		
BRC_10_186	12	13	Smc-III	Smc	III		Goe
BRC_10_186	13	14	Smc-III	Smc	III		Goe
BRC_10_186	14	15	Smc-III	Smc	III		Goe
BRC_10_186	15	16	Smc-III	Smc	III		Goe
BRC_10_186	16	17	Smc-III	Smc	III		Goe
BRC_10_186	17	18	Smc-III	Smc	III		Goe
BRC_10_188	0	1	Smc-III	Smc	III		Goe
BRC_10_188	1	2	Smc-III	Smc	III		Goe
BRC_10_188	2	3	Smc-III	Smc	III		Goe
BRC_10_188	3	4	Smc-III	Smc	III		
BRC_10_188	4	5	Smc-Car	Smc	Car		Goe
BRC_10_188	5	6	Smc-Car	Smc	Car		Goe
BRC_10_188	6	7	Smc-III	Smc	III		Goe
BRC_10_188	7	8	Smc-III	Smc	III		Goe
BRC_10_188	8	9	Smc-Kpx	Smc	Kpx		Goe
BRC_10_188	9	10	Smc-III	Smc	III		Goe
BRC_10_188	10	11	Smc-III	Smc	III		Goe
BRC_10_188	11	12	Smc-Kpx	Smc	Kpx		Goe
BRC_10_188	12	13	Smc-Kpx	Smc	Kpx		Goe
BRC_10_188	13	14	Smc-Kpx	Smc	Kpx		Goe
BRC_10_188	14	15	Smc-Kpx	Smc	Kpx		
BRC_10_188	15	16	Kwx-Smc	Kwx	Smc		Goe
BRC_10_188	16	17	Kwx-Smc	Kwx	Smc		Goe
BRC_10_188	17	18	Kpx-Smc	Kpx	Smc		Goe
BRC_10_189	0	1	Smc-III	Smc	III		Goe
BRC_10_189	1	2	Smc-III	Smc	III		Goe
BRC_10_189	2	3	Smc-III	Smc	III		Goe
BRC_10_189	3	4	Smc-Kpx	Smc	Kpx		Goe
BRC_10_189	4	5	Smc-III	Smc	III		
BRC_10_189	5	6	Smc-Kpx	Smc	Kpx		Goe
BRC_10_189	6	7	Smc-Kpx	Smc	Kpx		Goe
BRC_10_189	7	8	Smc-Kpx	Smc	Kpx		Goe
BRC_10_189	8	9	Kpx-Smc	Kpx	Smc		
BRC_10_189	9	10	Kpx-Smc	Kpx	Smc		
BRC_10_189	10	11	Kpx-Smc	Kpx	Smc		Goe
BRC_10_189	11	12	Smc-Kpx	Smc	Kpx		Jar
BRC_10_192	0	1	Smc-Chl	Smc	Chl		Jar
BRC_10_192	1	2	Chl-Smc	Chl	Smc		Jar
BRC_10_192	2	3	Smc-Chl	Smc	Chl		Jar
BRC_10_192	3	4	Smc-Chl	Smc	Chl		Jar
BRC_10_192	4	5	Smc-Chl	Smc	Chl		Jar
BRC_10_192	5	6	Smc-Chl	Smc	Chl		Jar
BRC_10_192	6	7	Smc-Chl	Smc	Chl		Jar
BRC_10_192	7	8	Smc-III	Smc	III		Jar
BRC_10_192	8	9	Smc-Chl	Smc	Chl		Jar
BRC_10_192	9	10	Smc-Chl	Smc	Chl		Jar

HOLE_ID	Depth_From	Depth_To	Assemblage Alteration	Min1_Interp	Min2_Interp	Min3_Interp	Ox_Inte
BRC_10_192	10	11	Smc-Kpx	Smc	Kpx		Goe
BRC_10_192	11	12	Smc-Kpx	Smc	Kpx		Goe
BRC_10_192	12	13	Smc-III	Smc	III		Goe
BRC_10_193	0	1	Smc-Chl-Kpx	Smc	Chl	Kpx	Jar
BRC_10_193	1	2	Smc-Kpx	Smc	Kpx		Jar
BRC_10_193	2	3	Smc-Chl	Smc	Chl		Jar
BRC_10_193	3	4	Chl-Smc	Chl	Smc		Jar
BRC_10_193	4	5	Chl-Smc	Chl	Smc		Jar
BRC_10_193	5	6	Smc-Chl	Smc	Chl		Jar
BRC_10_193	6	7	Smc-Chl	Smc	Chl		Jar
BRC_10_193	7	8	Chl-Smc	Chl	Smc		Jar
BRC_10_193	8	9	Chl-III	Chl	III		
BRC_10_193	9	10	Smc-Chl	Smc	Chl		Jar
BRC_10_193	10	11	Chl-Smc	Chl	Smc		Jar
BRC_10_193	11	12	Smc-Chl	Smc	Chl		Jar
BRC_10_204	0	1	Smc-Kpx	Smc	Kpx		
BRC_10_204	1	2	Smc-Kpx	Smc	Kpx		
BRC_10_204	2	3	Smc-Kpx	Smc	Kpx		
BRC_10_204	3	4	Kpx-Smc	Kpx	Smc		Goe
BRC_10_204	4	5	Smc-Kpx	Smc	Kpx		Goe
BRC_10_204	5	6	Smc-Kpx	Smc	Kpx		Jar
BRC_10_204	6	7	Smc-Kpx	Smc	Kpx		Jar
BRC_10_204	7	8	Smc-Chl	Smc	Chl		Jar
BRC_10_204	8	9	Smc-Kpx-Chl	Smc	Kpx	Chl	Jar
BRC_10_209	0	1	Smc-Chl	Smc	Chl		Jar
BRC_10_209	1	2	Smc-Chl	Smc	Chl		Jar
BRC_10_209	2	3	Smc-III	Smc	III		Goe
BRC_10_209	3	4	Smc-III	Smc	III		Goe
BRC_10_209	4	5	Smc-III	Smc	III		
BRC_10_209	5	6	Car-Kpx	Car	Kpx		
BRC_10_209	6	7	Smc-Kpx	Smc	Kpx		Goe
BRC_10_209	7	8	Smc-III	Smc	III		Goe
BRC_10_209	8	9	Smc-III	Smc	III		Goe
BRC_10_209	9	10	Smc-III	Smc	III		Goe
BRC_10_209	10	11	Smc-Kpx	Smc	Kpx		Goe
BRC_10_209	11	12	Smc-Chl	Smc	Chl		Goe
BRC_10_209	12	13	Smc-Kpx	Smc	Kpx		Jar
BRC_10_209	13	14	Smc-Kpx-Chl	Smc	Kpx	Chl	Jar
BRC_10_209	14	15	Smc-III	Smc	III		Jar
BRC_10_209	15	16	Smc-Kpx	Smc	Kpx		Goe
BRC_10_209	16	17	Smc-Chl	Smc	Chl		Jar
BRC_10_209	17	18	Smc-Kpx	Smc	Kpx		Jar
BRC_10_210	0	1	Chl-Smc	Chl	Smc		Goe
BRC_10_210	1	2	Smc-III	Smc	III		Goe
BRC_10_210	2	3	Smc-III	Smc	III		Goe
BRC_10_210	3	4	Smc-III	Smc	III		Goe
BRC_10_210	4	5	Smc-III	Smc	III		Goe
BRC_10_210	5	6	Smc-III	Smc	III		Goe
BRC_10_210	6	7	Smc-Kpx	Smc	Kpx		Goe
BRC_10_210	7	8	Smc-Kpx	Smc	Kpx		Goe
BRC_10_210	8	9	Smc-III	Smc	III		Goe
BRC_10_210	9	10	Smc-Chl	Smc	Chl		Jar
BRC_10_210	10	11	Smc-Kpx	Smc	Kpx		Jar
BRC_10_210	11	12	Kpx-Smc	Kpx	Smc		Jar
BRC_10_210	12	13	Smc-Chl	Smc	Chl		Jar
BRC_10_210	13	14	Kpx-Smc	Kpx	Smc		Jar

HOLE_ID	Depth_From	Depth_To	Assemblage Alteration	Min1_Interp	Min2_Interp	Min3_Interp	Ox_Inte
BRC_10_210	14	15	Kpx-Smc	Kpx	Smc		Jar
BRC_10_210	15	16	Smc-III	Smc	III		Jar
BRC_10_210	16	17	Smc-Chl	Smc	Chl		Jar
BRC_10_210	17	18	Kpx-Smc	Kpx	Smc		Jar
BRC_10_211	0	1	Smc-III	Smc	III		Goe
BRC_10_211	1	2	Smc-Kpx	Smc	Kpx		Goe
BRC_10_211	2	3	Kpx-Smc	Kpx	Smc		Goe
BRC_10_211	3	4	Smc-Kpx	Smc	Kpx		Goe
BRC_10_211	4	5	Smc-Kpx	Smc	Kpx		Goe
BRC_10_211	5	6	Kpx-Smc	Kpx	Smc		Jar
BRC_10_211	6	7	Kpx-Smc	Kpx	Smc		Jar
BRC_10_211	7	8	Kpx-Smc	Kpx	Smc		Jar
BRC_10_211	8	9	Smc-III	Smc	III		Jar
BRC_10_211	9	10	Smc-Chl	Smc	Chl		Jar
BRC_10_211	10	11	Smc-Chl	Smc	Chl		Jar
BRC_10_211	11	12	Smc-Kpx	Smc	Kpx		Jar
BRC_10_211	12	13	Smc-Chl	Smc	Chl		Jar
BRC_10_211	13	14	Chl-Smc	Chl	Smc		
BRC_10_211	14	15	Smc-Kpx-Chl	Smc	Kpx	Chl	Jar
BRC_10_211	15	16	Smc-Chl	Smc	Chl		Jar
BRC_10_211	16	17	Smc-Kpx-Chl	Smc	Kpx	Chl	Jar
BRC_10_211	17	18	Kpx-Smc-Chl	Kpx	Smc	Chl	Jar
BRC_10_214	0	1	Chl-Smc	Chl	Smc		Jar
BRC_10_214	1	2	Chl-III	Chl	III		Jar
BRC_10_214	2	3	Chl-Smc	Chl	Smc		Jar
BRC_10_214	3	4	Chl-Smc	Chl	Smc		Jar
BRC_10_214	4	5	Chl-Smc	Chl	Smc		Jar
BRC_10_214	5	6	Chl-Smc	Chl	Smc		Jar
BRC_10_214	6	7	Smc-III-Chl	Smc	III	Chl	Jar
BRC_10_214	7	8	Smc-III-Chl	Smc	III	Chl	Jar
BRC_10_214	8	9	Smc-Chl	Smc	Chl		Jar
BRC_10_214	9	10	Smc-Chl	Smc	Chl		Jar
BRC_10_214	10	11	Chl-Smc	Chl	Smc		Jar
BRC_10_214	11	12	Chl-Smc	Chl	Smc		Jar
BRC_10_214	12	13	Car-Kpx	Car	Kpx		Jar
BRC_10_214	13	14	Car-Kpx	Car	Kpx		Jar
BRC_10_214	14	15	Chl-Smc	Chl	Smc		Jar
BRC_10_214	15	16	Smc-III	Smc	III		
BRC_10_214	16	17	Car-Kpx	Car	Kpx		
BRC_10_214	17	18	Car-Kpx	Car	Kpx		
BRC_10_237	0	1	Smc-III	Smc	III		
BRC_10_237	1	2	Smc-III	Smc	III		
BRC_10_237	2	3	Smc-III-Chl	Smc	III	Chl	
BRC_10_237	3	4	Smc-III	Smc	III		Jar
BRC_10_237	4	5	Smc-III	Smc	III		Jar
BRC_10_237	5	6	Chl-Smc	Chl	Smc		Jar
BRC_10_237	6	7	Chl-Smc	Chl	Smc		Jar
BRC_10_237	7	8	Smc-Chl	Smc	Chl		Jar
BRC_10_237	8	9	Smc-Chl	Smc	Chl		Jar
BRC_10_237	9	10	Chl-Smc	Chl	Smc		Jar
BRC_10_237	10	11	Smc-Chl	Smc	Chl		Jar
BRC_10_237	11	12	Smc-III-Chl	Smc	III	Chl	Jar
BRC_10_237	12	13	Smc-Chl	Smc	Chl		Jar
BRC_10_237	13	14	Smc-Chl	Smc	Chl		Jar
BRC_10_237	14	15	Smc-Chl	Smc	Chl		Goe
BRC_10_238	0	1	Smc-III	Smc	III		Goe

HOLE_ID	Depth_From	Depth_To	Assemblage Alteration	Min1_Interp	Min2_Interp	Min3_Interp	Ox_Inte
BRC_10_238	1	2	Smc-III	Smc	III		Goe
BRC_10_238	2	3	Smc-III	Smc	III		Goe
BRC_10_238	3	4	Smc-III	Smc	III		Goe
BRC_10_238	4	5	Car-Smc	Car	Smc		
BRC_10_238	5	6	Smc-Car	Smc	Car		
BRC_10_238	6	7	Smc-III	Smc	III		
BRC_10_238	7	8	Smc-III	Smc	III		
BRC_10_238	8	9	Smc-III	Smc	III		
BRC_10_238	9	10	Smc-III-Chl	Smc	III	Chl	
BRC_10_238	10	11	Smc-III	Smc	III		
BRC_10_238	11	12	Car-Smc	Car	Smc		
BRC_10_238	12	13	Smc-III	Smc	III		
BRC_10_238	13	14	Smc-III	Smc	III		
BRC_10_238	14	15	Smc-Chl	Smc	Chl		Jar
BRC_10_240	0	1	Smc-Chl	Smc	Chl		Jar
BRC_10_240	1	2	Smc-III	Smc	III		Goe
BRC_10_240	2	3	Car-Smc	Car	Smc		Goe
BRC_10_240	3	4	Car-Smc	Car	Smc		Goe
BRC_10_240	4	5	Smc-Car	Smc	Car		Goe
BRC_10_240	5	6	Car-Smc	Car	Smc		Goe
BRC_10_240	6	7	Car	Car			Goe
BRC_10_240	7	8	Car	Car			Goe
BRC_10_240	8	9	Car	Car			Goe
BRC_10_240	9	10	Car	Car			
BRC_10_240	10	11	Car	Car			
BRC_10_240	11	12	Smc-III-Chl	Smc	III	Chl	Jar
BRC_10_240	12	13	Smc-III-Chl	Smc	III	Chl	Jar
BRC_10_240	13	14	Car-Smc-Chl	Car	Smc	Chl	Jar
BRC_10_240	14	15	Smc-III-Kpx	Smc	III	Kpx	



KEMENTERIAN RISET TEKNOLOGI DAN PENDIDIKAN TINGGI
UNIVERSITAS HASANUDDIN
FAKULTAS TEKNIK
DEPARTEMEN TEKNIK PERAMBANGAN

PETA GEOLOGI

PIT XI, PT. TAMBANG TONDANO MUSAJAYA
KABUPATEN MINAHASA UTARA, SULAWESI UTARA



SKALA 1:4.000



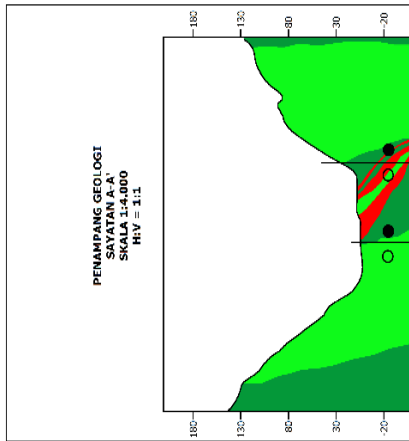
- Keterangan:**
- Volcanic Andesitic Fragmental (VAF)
 - Volcanic Basaltic Andesite (VBA)
 - Zona Liat kuarsa
 - Fault
 - Fracture/Join
 - Garis Kontur
 - Indeks Kontur
 - Sosok dan Pengambilan Sampel



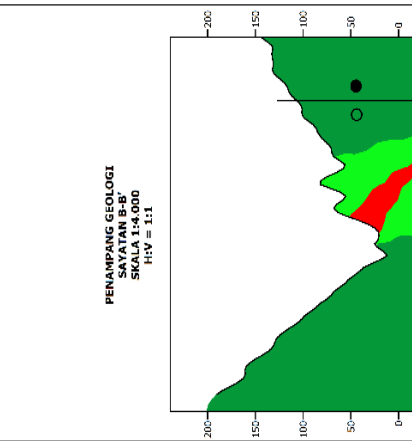
Oleh:
Aswan
NIM. D62115903

Pembimbing:
Dr. Ir. Irzal Nur, MT.
NIP. 19660409 199703 1 002

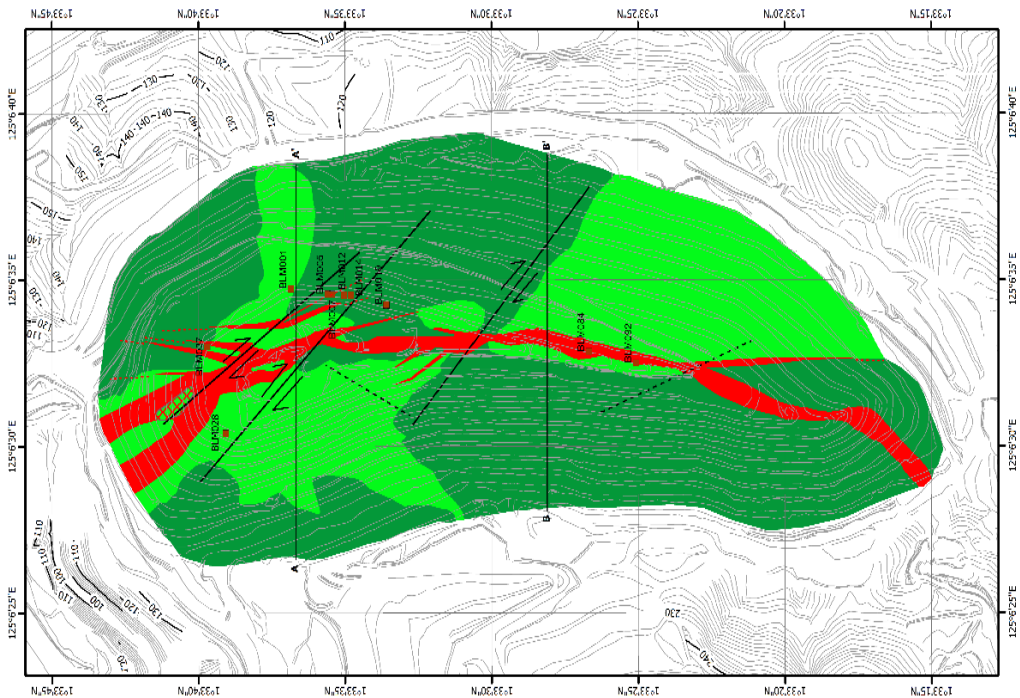
Asran Ilyas, ST, MT, Ph.D.
NIP. 19730314 200012 1 001



**PENAMPANG GEOLOGI
SAYATAN A-A'
SKALA 1:4.000
H/V = 1:1**



**PENAMPANG GEOLOGI
SAYATAN B-B'
SKALA 1:4.000
H/V = 1:1**

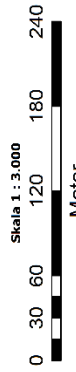




KEMENTERIAN RISET TEKNOLOGI DAN PENDIDIKAN TINGGI
UNIVERSITAS HASANUDDIN
FAKULTAS TEKNIK
DEPARTEMEN TEKNIK PERTAMBANGAN

PETA ZONASI ALTERASI HIDROTHERMAL

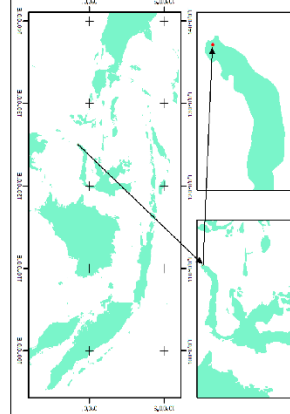
PIT 4, PT. TANBANG TONDANO MUGSAYA
KABUPATEN MIMAHASA UTARA, SULAWESI UTARA



Meter

OLEH:
ASWAN
D621 15 303

- Keterangan :**
- Fault
 - Fracture/Joint
 - Garis Kontur
 - Inklusi Kontur
- Zona Alterasi :**
- Zona Propilitik
 - Zona Argilik
 - Zona Urat Kuarsa



Dr. Ir. Irzal Nur., MT.
NIP. 19660409 199703 1 002

Pembimbing:

Asran Ilyas, ST, MT, Ph.D.
NIP. 19730314 200012 1 001

